

(56)

ბიოლოგიური  
სერია  
БИОЛОГИЧЕСКАЯ

1978 N 1.

თბილისი  
TBILISI - ვOLUME  
TOM VOL.

4

## СПИСОК РАЗДЕЛОВ БИОЛОГИИ, ПО КОТОРЫМ ПРИНИМАЮТСЯ СТАТЬИ

Теоретическая биология  
Физиология человека и животных (норм. и патол.)  
Морфология  
    Анатомия  
    Эмбриология и гистология  
    Цитология  
    Патологическая морфология  
Биохимия  
Фармакология  
Ботаника (экспер. и теорет.)  
Физиология растений  
Зоология (экспер. и теорет.)  
Энтомология  
Паразитология  
Гельминтология  
Палеобиология  
Биогеоценология  
Экология  
Микробиология  
Вирусология  
Иммунология  
Генетика  
Радиobiология  
Биофизика  
Молекулярная биология  
Бионика и биокибернетика



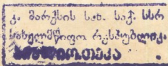
საქართველოს სსრ მეცნიერებათა აკადემიის გაცემ  
ИЗВЕСТИЯ АКАДЕМИИ НАУК ГРУЗИНСКОЙ ССР

# ბიოლოგიური სერია СЕРИЯ БИОЛОГИЧЕСКАЯ

ტომი 4, № 1  
Том 4, № 1

15901

გამოვლენობა „ვეცნიერება“ • თბილისი  
ИЗДАТЕЛЬСТВО „МЕЦНИЕРЕБА“ • ТБИЛИСИ • 1978



სარჩევაქციი პროცესი:

შთაგარი რედაქტორი ვ. თელურავა  
შთაგარი რედაქტორის მოადგილი თ. ონიანი  
სწავლული მდივანი გ. ბექაძე

ლ. გაბუნია, ხ. დურმიშიძე, გ. ზაალიშვილი, გ. თუმანიშვილი, ი. თუმანიშვილი,  
გ. კანდელაკი, ხ. კეცხოველი, ქ. ნადარეიშვილი, ბ. ქომიტანი, ბ. ყურაშვილი,  
ნ. ძძეშვილი, თ. ჭანიშვილი, შ. ჭანიშვილი, ბ. ჯავახიშვილი  
პასუნისმებელი მდივანი ხ. ლაბაძე

**РЕДАКЦИОННАЯ КОЛЛЕГИЯ:**

Главный редактор В. М. Окуджава  
Зам. главного редактора Т. Н. Онiani  
Ученый секретарь Г. Л. Бекая

Л. К. Габуния, Н. А. Джавахишвили, Н. Н. Дзидзишвили, С. В. Дурмишидзе,  
М. М. Заалишвили, Г. В. Канделаки, Н. И. Кецховели, П. А. Кометiani,  
Б. Е. Курашвили, К. Ш. Надарейшвили, И. И. Тумаджанов, Г. Д. Туманишвили,  
Т. Г. Чанишвили, Ш. Ф. Чанишвили  
Ответственный секретарь С. Р. Лабадзе

**EDITORIAL BOARD:**

Editor-in-Chief V. M. Okujava  
Associate Editor T. N. Oniani  
Editorial Secretary G. L. Bekaya  
Sh. F. Chanishvili, T. G. Chanishvili, N. A. Djavakhishvili, S. V. Durmishidze,  
N. N. Dzidzishvili, L. K. Gabunia, G. V. Kandelaki, N. N. Ketskhoveli,  
P. A. Kometiani, B. E. Kurashvili, K. Sh. Nadareishvili, I. I. Tumajanov,  
G. D. Tumanishvili, M. M. Zaalishvili  
Executive Secretary S. R. Labadze

© Известия АН ГССР  
Серия биологическая, 1978

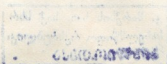
Технический редактор Н. А. Онанова  
Корректор Г. Н. Дугладзе

Сдано в набор 24.11.1977; Подписано к печати 23.2.1978; Формат  
бумаги 70×108<sup>1/16</sup>; Бумага № 1; Печатных л. 8.75; Уч.-издат. л. 7.79  
УЭ 09700 Тираж 1300 Заказ 4380

Цена 70 коп.

გამომცემლობა „მეცნიერება“, თბილისი, 380060, კუტუზოვის ქ., 19  
Издательство «Мецниереба», Тбилиси, 380060, ул. Кутузова, 19

საქ. სსრ მეცნ. აკადემიის სტამბა, თბილისი 380060, კუტუზოვის ქ., 19  
Типография «Мецниереба», Тбилиси, 380060, ул. Кутузова, 19



СОДЕРЖАНИЕ — ЗОБОВІШО — CONTENTS

- А. Э. Касимов. Вариабельность фоновой мультинейрональной активности в различных структурах головного мозга кроликов . . . . . 5  
А. E. Kasimov. Variability of background multiunit activity in different structures of the rabbit brain
- С. С. Ханайева. Электрофизиологическое изучение путей проведения колликулярных импульсов в коре больших полушарий головного мозга кошки . . . . . 12  
С. S. Khanaeva. Electrophysiological study of colliculo-cortical conduction pathways in the cat
- Ю. А. Хорунжева. Изменение пищевого поведения голубей под влиянием гидрокортизона . . . . . 24  
Ю. A. Khorunzheva. Effects of hydrocortisone injection on feeding behavior in pigeons
- Л. Б. Додидзе, У. А. Габуния, З. Г. Цагарели. Ультраструктура плоскоклеточного рака влагалищной части шейки матки . . . . . 31  
L. B. Dolidze, U. A. Gabunia, Z. G. Tsagareli. Ultrastructure of planocellular cancer of the vaginal portion of cervix uteri
- Ш. Г. Сичинава. Алиментарная связь кровососущих комаров Грузии с гомоиотермными и пойкилотермными животными в природе и в экспериментах . . . . . 38  
Sh. G. Sichinava. Alimentary connection of blood-feeding insects of Georgia with homoiothermal and poikilothermal animals in nature and experiments
- И. Г. Чиракадзе, Т. Г. Чанишвили. Изучение биологических особенностей фагов, выделенных из штаммов *S. typhimurium* . . . . . 48  
I. G. Chirakadze, T. G. Chanishvili. Study of biological peculiarities of phages isolated from the strains of *S. typhimurium*
- Л. Г. Ломидзе, Н. А. Гачечиладзе, М. М. Заалишвили. Влияние температуры и концентрации АТФ на суперпреципитацию и АТФазную активность натурального актомиозина (миозина В) карпа . . . . . 57  
L. G. Lomidze, N. A. Gachechiladze, M. M. Zaalishvili. The influence of temperature and ATP concentration on the superprecipitation and ATPase activity of carp natural actomyosin (myosin B)
- М. С. Иобадзе, К. М. Джандиери, П. В. Челидзе, Г. Д. Туманишвили. Действие ядерных факторов печени и почки крыс на количество ДНК в ядрах гомологичных тканей . . . . . 65  
M. S. Iobadze, K. M. Djandieli, P. V. Chelidze, G. D. Tumaniashvili. Effect of nuclear factors of liver and kidney of mice on the amount of DNA in nuclei of homologous tissues

## Краткие сообщения

ଶ୍ରୀମତୀ ପାତ୍ନୀ କଣ୍ଠାରୀ

## Short communications



Рецензии

ରୂପାନ୍ଧେବ

Review



## Некролог

ИЗВЕСТИЯ АКАДЕМИИ НАУК ГССР  
Серия биологическая, т. 4, № 1, 1978

УДК 612.822.3

ФИЗИОЛОГИЯ ЧЕЛОВЕКА И ЖИВОТНЫХ

**ВАРИАБЕЛЬНОСТЬ ФОНОВОЙ МУЛЬТИНЕЙРОНАЛЬНОЙ АКТИВНОСТИ В РАЗЛИЧНЫХ СТРУКТУРАХ ГОЛОВНОГО МОЗГА КРОЛИКОВ**

А. Э. Қасимов

*Институт физиологии им. А. И. Караева АН Азерб. ССР, Баку*

Поступила в редакцию 10.5.1977

Представлены данные о характере фоновых колебаний мультинейрональной активности в различных структурах головного мозга (амигдаля, латеральное преоптическое поле (ЛПО), гиппокамп). Наблюдения проводились на 22 кроликах в хронических условиях. В исследуемые структуры вживлялись никромовые провода диаметром 50 мкм в заводской изоляции, склеенные в пучок в количестве 6–8. Результаты наблюдений позволили выявить 5 основных типов мультинейрональной активности (МНА), характерных для нейрональных пулоз в всех изученных образованиях мозга в условиях фона. При этом фоновая МНА имела честойкий, вариабельный характер. Предполагается, что эта вариабельность обусловлена незначительными колебаниями функционального состояния животного, имеющими место в условиях фона. Анализ полученных данных позволяет считать паттерн МНА надежным показателем состояния активности нейрональных пулов.

Изучение фоновой мультинейрональной активности амигдалы, ЛПО и гиппокампа входило в нашу задачу постольку, поскольку нас в связи с данными, полученными Г. Г. Гасановым с сотр. [1, 2, 3, 9, 10, 11], а также сведениями, имеющимися в литературе [13, 14, 15], интересовало участие этих структур в формировании и динамике проекции питьевой мотивации.

При исследовании анализировалась фоновая активность нейрональных пулов, регистрируемая методом, который был предложен Олдзом с соавторами [16]. Принципиальное отличие этой методики от других способов регистрации мультинейрональной активности заключается в том, что здесь, вместо одного электрода с относительно большим диаметром позволяющим регистрировать импульсацию многих нейронов одновременно, используется пучок из нескольких таких электродов, что, в свою очередь, позволяет наблюдать за активностью близкорасположенных микроучастков исследуемой структуры, которые условно называют точками. Специальное изучение фоновой импульсации посредством аналогичной методики мы нашли лишь в работе У. Г. Гасanova и А. Г. Галашиной [4].

В настоящей работе представлены данные о характере фоновых изменений паттерна мультинейрональной активности, зарегистрированной в указанных структурах головного мозга кролика в хронических условиях.

**МЕТОДИКА**

Наблюдения проводились на 22 неиммобилизованных кроликах-самцах весом 2,5–3 кг, которые содержались в условиях свобод-

ного доступа к пище и воде при температуре воздуха 22—23°C. Для регистрации МНА в базолатеральной и центральной амигдале, ЛПО и дорсальном гиппокампе в эти образования по координатам стереотаксического атласа Фифковой и Маршала [12] вживлялись никромовые провода диаметром 50 мкм в заводской изоляции, скленные в пучок в количестве 6—8. Цифровое обозначение микроучастков (точек), расположенных под попечником каждого из электродов, соответствует маркировке гнезд штепсельного разъема, к которым подпаивались никромовые провода. Регистрация МНА осуществлялась с помощью усилителей УБП-1-02 и осциллографа СИ-18 с фсторегистратором ФОР-2. Параллельно производилась запись на магнитную ленту. Операция по вживлению электродов проводилась в стереотаксическом аппарате СЭЖ-2. Локализация пучков определялась впоследствии гистологическим контролем.

## РЕЗУЛЬТАТЫ И ИХ ОБСУЖДЕНИЕ

Следует отметить, что крайне редко МНА наблюдалась под всеми 6—8 вживленными электродами. Оказалось, что узоры МНА в близлежащих точках в условиях фона, как правило, отличаются друг от друга. На рис. 1 представлены нейронограммы трех точек амигдалы,

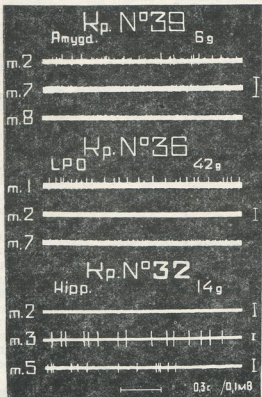


Рис. 1. Разнохарактерная МНА в трех близлежащих точках амигдалы, ЛПО и гиппокампа у различных кроликов (кр. 32, 36, 39); т. 1—8 — точки регистрации МНА; 6д, 14д — дни регистрации МНА после имплантации электродов

ЛПО и гиппокампа, зарегистрированные у различных кроликов на 6, 42 и 14-й день после имплантации электродов. Как видно из рисунка, паттерны активности соседних микроучастков одной и той же структуры существенно отличаются по своему компонентному составу, то есть по амплитуде спайков, имевших место в данном отрезке времени. Так, во второй точке амигдалы показана импульсация разнокалиберных спайков от 40 до 80 мкВ, в седьмой точке — средняя мультинейроп-

нальная активность в пределах 50 мкВ, а в восьмой — слабый нейроальбиноцитарный шум. Аналогичная картина имеет место в ЛПО и гиппокампе.

Дальнейшее изучение большого числа узоров МНА в указанных образованиях мозга позволило выявить 5 основных типов, по-видимому, наиболее характерных для такого метода регистрации нейроальных реакций: 1) слабый шум (в пределах 30—25 мкВ); 2) средний нейроальный шум со слабо выделяющимися на этом фоне спайками порядка 50 мкВ; 3) высокоамплитудный мультинейроальный шум, т. е. высокочастотная последовательность (около 100 и выше имп/с) разно-калиберных (с разницей в 20—30 мкВ) спайков с общим амплитудным уровнем выше 50 мкВ; 4) отчетливо выделяющиеся из нейроального

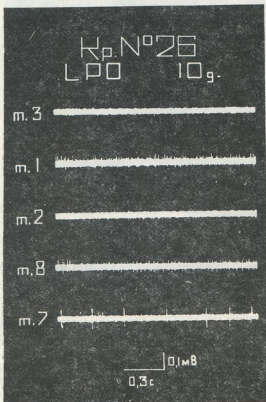


Рис. 2. Типы паттерна МНА в зоне отведения внеклеточных разрядов одного пучка электродов: в т. 3 — слабый мультинейроальный шум; в т. 1 — высокоамплитудный мультинейроальный шум; в т. 2 и 8 — типичная МНА; в т. 7 — паттерн одиночных разрядов

шума спайки различной амплитуды — паттерн типичной МНА; 5) паттерн одиночных разрядов. На фоне этих видов МНА может иметь место и «пачечная» активность. В некоторых случаях почти все указанные типы паттерна наблюдались в зоне отведения внеклеточных разрядов одного и того же пучка. На рис. 2 показана активность пяти точек ЛПО (кр. № 26), где электродами одного и того же пучка зарегистрированы 4 типа паттерна МНА.

Однако уже первые наблюдения показали, что фоновая МНА носит нестойкий, вариабельный характер. В наиболее общем виде эта изменчивость выражалась чередованием периодов наличия спайковой активности и ее исчезновения в том или ином микрорегионе, т. е. имела место картина, аналогичная той, которую наблюдали в слуховой коре у кошек У. Г. Гасанов и А. Г. Галашина [4]. Следует отметить, что указанная периодичность во всех случаях была неравномерной. Со вре-

менем и это придавало перепадам активности определенную стохастичность.

Вариабельность фоновой МНА выражалась не только сменой состояний активности и молчания данной точки. Изменчивым главным образом был сам характер импульсного потока, его компонентный со-

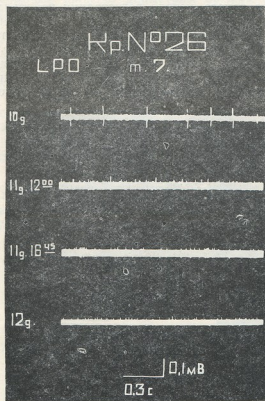


Рис. 3. Изменение узора МНА за 2 суток в т. 7 ЛПО, кр. № 26. Обозначения те же, что на рис. 1 и 2

став. Так, например, высокоамплитудный мультинейрснальный шум сменялся слабым или средним нейрональными шумами, или же после одиночных разрядов появлялась типичная МНА и т. д. При этом длительность того или иного паттерна активности варьировалась в пределах от нескольких часов до нескольких суток. На рис. 3 показано, как за двое суток изменялась активность под одним и тем же электродом — в седьмой точке ЛПО кролика № 26. Особое внимание обращает на себя смена узоров фоновой МНА, произшедшая за несколько часов на 11-й день имплантации электродов: в 12 ч имела место типичная МНА, а в 16 ч 45 мин исчезли более высокоамплитудные спайки и появилась пачечная импульсация.

И все же установить какую-либо закономерность в смене узоров фоновой МНА или выяснить причину появления и исчезновения различных спайков в зависимости от внешних условий и времени не удалось.

В работе Г. Г. Гасанова и Э. М. Ханукаева [2] показано, что миокринъекция раствора хлористого натрия в ЛПО вызывает у кроликов состояние питьевой мотивации. Исследование мультинейрональной активности базолатеральной части амигдалы при таком изменении функционального состояния животного позволило обнаружить в некоторых микрочастках этой структуры закономерное возникновение новой,

высокоамплитудной импульсации с высокой частотой следования спайков (рис. 4).

Из полученных нами данных вытекает: 1) узоры фоновой МНА в близлежащих микроучастках, как правило, существенно отличаются по своему характеру; 2) в фоне для различных образований мозга, в частности амигдалы, ЛПО и гиппокампа, характерно наличие одних

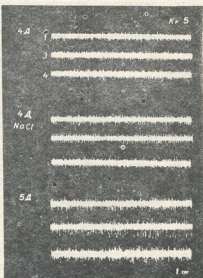


Рис. 4. Импульсация новых нейронов в одном (т. 3) из трех микроучастков базолатеральной части амигдалы после микроньекции раствора хлористого натрия в ЛПО: 1, 3, 4 — точки регистрации; три верхние — вейограммы — фон; средние — после микроньекции; нижние — на следующий день после микроньекции. Остальные обозначения те же, что на рис. 1 и 2

и тех же 5 основных типов МНА; 3) наряду с нестабильностью самого импульсного потока в данной точке, фоновая МНА флюктуирует в рамках указанных типов и эта флюктуация носит по времени (длительность узора МНА) широко вариабельный характер; 4) изменение функционального состояния животного приводит к появлению импульсации новых нейронов.

Таким образом, многодневные хронические исследования фоновой активности нейрональных пуллов в микроучастках различных образований мозга (амигдала, ЛПО и гиппокамп) позволили выявить факты, свидетельствующие о вариабельности как самих узоров фоновой МНА, так и их длительности.

Выше также было отмечено, что в наиболее общем виде изменчивость МНА выражалась периодичностью появления спайковой импульсации в той или иной точке. Поскольку аналогичная периодичность наблюдалась в деятельности корковых нейронов у кошек [4], а также отдельных нейронов гиппокампа, таламуса, гипоталамуса и других образований головного мозга крыс [16], то можно считать, что указанная периодичность представляет собой одно из характерных свойств нормальной деятельности нейронов высших отделов ЦНС.

Вместе с тем, мы полагаем, что вариабельность паттерна фоновой МНА, выраженная появлением и исчезновением различных спайков вследствие включения и выключения нейронов, расположенных в данном микроучастке, по-видимому, обусловлена теми незначительными фоновыми колебаниями функционального состояния организма, которые имеют место в результате воздействия множества энзо- и эндогенных факторов, находящихся вне контроля экспериментатора. Основанием для такого предположения служат факт возникновения импульсации новых нейронов в результате изменения функционального состояния животного микроньекцией хлористого натрия в ЛПО, а

также имеющиеся в литературе данные о генерации спайковой активности ранее «молчавшими» нейронами вследствие определенных воздействий на организм [5]. Следует отметить, что указанная периодичность деятельности нейронов также может быть вызвана фоновыми колебаниями функционального состояния.

Так как известно, что в связи с функциональным состоянием нейронных элементов возникают изменения и местного капиллярного кровообращения в мозге [7, 8], то определенным обоснованием для этого предположения могут служить и данные о разнохарактерном изменении микропотока крови в соседних участках коры при различных экспериментальных условиях [6].

Очевидно, поэтому и не представляется возможным установить закономерность в смене узоров фоновой МНА.

Резюмируя полученные факты и сравнивая их с литературными данными, можно сказать, что паттерн МНА является надежным показателем состояния активности нейрональных пулов, изменение деятельности которых, по-видимому, наиболее характерно проявляется в переключении генерации спайковой активности с одних элементов на другие в зависимости от незначительных колебаний функционального состояния организма.

## ЛИТЕРАТУРА

- Гасанов Г. Г. Эмоции и висцеральные функции (Матер. междунар. симп. «ЭЛМ»), Баку, 1974, 17.
- Гасанов Г. Г., Ханукаев Э. М. Изв. АН Азерб. ССР, сер. бiol. наук, 107—112, 1974.
- Гасанов Г. Г., Ханукаев Э. М., Касимов А. Э. Матер. VII Всесоюзной конфер. по электрофизиологии ЦНС, Каунас, 1976, 97.
- Гасанов У. Г., Галашина А. Г. Ж. высш. нервн. деят., 24, 793—799, 1974.
- Ливанов М. Н. В сб.: Проблемы современной нейрофизиологии, «Наука», М.-Л., 1965, 37—72.
- Митагвария Н. П., Меладзе В. Г., Латария Г. Д., Бегишвили К. Д. Сообщения АН Груз. ССР, 83, 717—729, 1976.
- Мchedlishvili Г. И. В кн.: Современные проблемы деятельности и строения ЦНС, «Мецнериба», Тбилиси, 1972, 159—186.
- Мchedlishvili Г. И., Антия Р. В., Митагвария Н. П., Амашукели Г. В. В кн.: Современные проблемы деятельности и строения ЦНС, «Мецнериба», Тбилиси, 1968, 235—250.
- Ханукаев Э. М., Касимов А. Э., Джрафова Н. М. Эмоции и висцеральные функции (Матер. междунар. симп. «ЭЛМ»), Баку, 1974, 114.
- Прибрам К. Языки мозга, «Прогресс», М., 1975, 92.
- Сомъен Дж. Кодирование сенсорной информации. «Мир», М., 1975, 244.
- Фифкова Е., Маршал Дж. В кн.: Электрофизиологические методы исследования, ИЛ., 1962, 384—426.
- Andersson B. Acta physiol. Scand., 28, 188—202, 1952.
- Fisher A. E., Cougy J. N. Science, 138, 691—693, 1962.
- Grossman S., Grossman L. Amer. J. Physiol., 205, 761—765, 1963.
- Olds J., Mink W. D., Best Ph. Electroenceph. Clin. Neurophysiol., 26, 144—158, 1969.

အေမြန်ဂုဏ်ကျင်ကျဉ်းလွှဲ အစိတ်ကျင်းမှုများ သုရေသနပါလ်ကျင်  
ဆိုင်ရွက် ဖုန်လျှော့ဝါဒ တာဆက် စွဲပေါင်း ၁၆၃၂၁၁၁၄၃၁  
စံရှုပ်ပြန်ခဲ့

၅. နှေ့ဂျာမြို့

ଶ୍ରୀରଥାନ୍ତିକ ପାଇଁ ପରିବହନ କରିବାକୁ ଅନୁରୋଧ କରିଛନ୍ତି ।

ՀԵՑՈՎ ՅԵ

ქრონიკული ცდებში შინაურ კურდლებზე ნუშისებრი ბირთვის, ლატე-  
რალური პრეოპტიური ველისა და ჰიმოგამბის ნეირონთა გუფის აქტივობის  
ერთდროული აღრიცხვით აღწერილია ფონური მულტინეირონული აქტივო-  
ბის 5 ძირითადი ტიპი. მაგვ ზროს აღნაშენულია, რომ ფონური მულტინეი-  
რონული აქტივობა ცვალებაზე და ვარიაბილური — მას ახასიათებს ფლუქ-  
ტუაცია, რაც გამოიხატება სხვადასხვა ტიპის სპაიების აღმოცენებასა და  
გაქრობაში.

შოლებული ფარტების ანალიზი და ლიტერატურის მონაცემები უსლებას გვაძლევს დავისკვნათ, რომ ფონოური მულტინირობული აქტივობის სურათი შეიძლება მივიჩნიოთ ნეირონულ ჯგუფთა სამშეღლ მაჩვენებლად.

ନେବାରୀଶ୍ଵରୀରୀ, କୁମ ଏହି ପ୍ରାଣେବାଦୋଷା ଗାତିରୀନ୍ଧବ୍ୟୁଲିଆ ଦିନିତାଦାଳ ନେବାରୀଶ୍ଵରୀରୀରୀ ମଧ୍ୟମାର୍ଗୋଦିଶରେ ଶୁଣିଲେ ହେବାକିମ୍ବାନ୍ଦିଲେ ହେବାକିମ୍ବାନ୍ଦିଲେ.

## VARIABILITY OF BACKGROUND MULTIUNIT ACTIVITY IN DIFFERENT STRUCTURES OF THE RABBIT BRAIN

A. E. KASIMOV

A. I. Karaev Institute of Physiology, Azerbaijan Academy of Sciences, Baku, USSR

## Summary

Study of the activity of neuronal pools in the amygdala, lateral pre-optic area and hippocampus in chronic experiments on 22 male rabbits has revealed five main patterns of background multiunit activity. The background pattern of the multiunit activity varied within wide ranges.

Analys's of the data obtained enables to consider the multiunit activity pattern as a reliable index of the state of neuronal pools. It is suggested that this variability is due mainly to slight fluctuations of the animal's background functional state.

УДК 612.826.5

ФИЗИОЛОГИЯ ЧЕЛОВЕКА И ЖИВОТНЫХ

ЭЛЕКТРОФИЗИОЛОГИЧЕСКОЕ ИЗУЧЕНИЕ ПУТЕЙ  
ПРОВЕДЕНИЯ КОЛЛИКУЛЯРНЫХ ИМПУЛЬСОВ В КОРУ  
БОЛЬШИХ ПОЛУШАРИЙ ГОЛОВНОГО МОЗГА КОШКИ

З. С. Ханаева

Институт физиологии им. И. С. Бериташвили АН ГССР, Тбилиси

Поступила в редакцию 10.5.1977

В острых опытах на кошках изучались особенности таламических и корковых ответов на раздражение передних бугров четверохолмия (ПБЧ) и влияние электролитического повреждения предполагаемых таламических реле на корковые эффекты одиночного электрического раздражения ПБЧ. Результаты опытов показали тесную связь ПБЧ со структурами таламуса: подушкой, заднелатеральным, вентролатеральным, медиодорсальным ядрами, средним центром и др.

После повреждения вышеперечисленных и некоторых других (парафасцикулярное, габенулярные ядра, наружное коленчатое тело) таламических ядер ответы коры на раздражение ПБЧ претерпевают сравнительно незначительные изменения.

Результаты опытов дают основание заключить, что помимо переключения в структурах таламуса существуют также другие, по-видимому, прямые пути проведения колликулярных импульсов в кору больших полушарий.

Вопрос о восходящих влияниях передних бугров четверохолмия (ПБЧ) до последнего времени изучался мало, поскольку основные колликулярные функции (содружественное отклонение глаз, поворот головы и туловища в сторону объекта, фиксация взора и др.) реализуются, главным образом, их нисходящими эfferентными связями (к окуломоторным и другим стволовым центрам, к мотонейронам верхнего отдела спинного мозга).

Из восходящих эfferентных колликулярных путей морфологически хорошо изучены проекции к структурам промежуточного мозга [15, 17, 19, 20, 23, 26, 30, 31, 41]. Прямых восходящих волокон к коре больших полушарий ПБЧ, согласно общепринятым мнению, не имеют [7, 8, 9, 19, 20, 23, 26, 30, 34].

В последние годы в исследованиях эволюции зрительного пути у позвоночных [7, 8, 9, 20, 26] восходящие проекции ПБЧ привлекли внимание не только как пути поступления колликулярных импульсов в таламические структуры, но и как возможный канал проведения их в кору. Так, Диамонд и Холл [20] полагают, что древним таламическим центром-приемником тектальных импульсов и таламическим каналом проведения последних в кору (главным образом, ко вторичному зрительному полю 18) является заднелатеральное ядро (ЗЛЯ) примитивных млекопитающих-прекурсор комплекса подушки (ПОД) высших. По мнению Карапяна с сотр. [8, 9] в колликуло-кортикальном проведении, помимо ПОД и ЗЛЯ, известную роль играет наружное коленчатое ядро (НКЯ).



тое тело (НКТ). Следует отметить, однако, что большая часть работ, послуживших основанием для представления о кортиколизации ретино-тектальной зрительной системы млекопитающих, проведена, главным образом, либо на домлекопитающих [1, 2, 8, 9], имеющих, как известно, примитивную кору, либо сводилась к изучению колликулярных связей с определенными структурами таламуса и проекций последних на кору [20, 26]. Хотя в отдельных работах приводятся факты в пользу коркового представительства ПБЧ [6, 11, 22], однако, до последнего времени ни корковая проекция ПБЧ, ни пути проведения колликулярных импульсов в кору не были, по существу, предметом специального изучения.

В предыдущих работах [11, 13] нами было показано, что у кошки импульсы из ПБЧ достигают ассоциативных зон коры и что они имеют отношение к поздним компонентам ее ответов. Полученные результаты дали основание предположить более обширные, чем принято считать, связи ПБЧ с корой, что подтвердилось затем в специально предпринятым изучении зон корковой проекции ПБЧ [14]. Было установлено, что зоны коркового представительства ПБЧ являются широкими и билатеральными. Ипсолатерально они включают всю супрасильвиеву извилину ( поля 5, 7, 21, 20), двигательную (передняя и задняя сигмовидная, коронарная извилины), слуховую (поле 22) и зрительную (поле 18 и в меньшей степени 17) коры. Латентные периоды (ЛП) ответов коры на колликулярное раздражение составляют  $6 \pm 2$  мс для средней супрасильвиевой извилины (ССИ) и  $10 \pm 2$  мс для прочих областей.

Как отмечалось, связи ПБЧ с таламическими структурами—каналами на роль реле колликулярных импульсов в кору (ПОД, ЗЛЯ, НКТ и др.) хорошо изучены морфологически [15, 17, 19, 20, 23, 26, 30, 31, 41]. Электрофизиологические данные имеются лишь о связях ПБЧ с ПОД [16] и, отчасти, с НКТ [27]. Существующий фактический материал о колликуло-таламических связях представляет достаточное основание для предположительного суждения о возможном пути колликуло-кортикального проведения; однако для окончательного решения вопроса следовало, во-первых, определить основные характеристики колликуло-таламических каналов проведения при раздражении ПБЧ и, во-вторых, установить эффект повреждения предполагаемых таламических реле — ядер. Ниже приводятся результаты таких опытов.

## МЕТОДИКА

Опыты проводились на наркотизированных (хлоралоза 50—70 мг/кг, нембутал 10—15 мг/кг), обездвиженных миорелаксантом кошках. В подкорковые структуры вводили стальные биполярные (диаметр 150—200 мк, межполюсное расстояние 0,5—1,0 мм) электроды, а также концентрические электроды (наружный диаметр 0,5 мм, константанового сердечника 40 мк; межполюсное расстояние 0,5—1,0 мм), вводимые стереотаксически [28]. Суммарная активность коры и подкорковых структур регистрировалась как моно-(индифферентный электрод в шейных мышцах или в лобной кости), так и биполярно. Корковые поля определялись согласно атласу [38]. Для раздражения использовался универсальный электростимулятор ЭСУ-1.

Повреждения подкорковых структур производились электролитически. В настоящей серии часть опытов была проведена на препаратах с билатеральным повреждением ретикулярной формации ствола на пре-колликулярном уровне для исключения ее активации при электрической стимуляции ПБЧ (за счет колликуло-ретикулярных волокон [15] и коллатералей ретикулярных аксонов, проходящих через тегментальную область в таламус [39]). По окончании опыта на срезах мозга определя-

лись локализация и объем производимых повреждений и точек отсевания и раздражения подкорковых структур.

## РЕЗУЛЬТАТЫ ОПЫТОВ

**Изучение связи ПБЧ с ПОД и ЗЛЯ и эффекты повреждения последних.** ПОД и ЗЛЯ привлекают особое внимание как на основании данных морфологии [15, 17, 19, 20, 23, 26, 30, 31, 41], так и потому, что зоны их корковой проекции (задний и отчасти средний отделы ССИ, часть краевой извилины — для ПОД; передний и средний отделы ССИ,

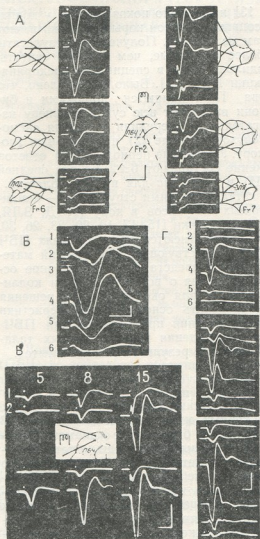


Рис. 1А. Вывозленные потенциалы различных отделов (в дорсо-вентральном направлении) ПОД (Fr. 6) и ЗЛЯ (Fr. 7) на одиночное ( $10\text{B}$ ;  $0,3\text{ мс}$ ) раздражение разных слоев ПБЧ. Здесь и на последующих рисунках регистрация моно极лярная, отклонение наверх — отрицательность. Нембутал  $10\text{--}15\text{ мг/кг}$ . Калибровка: здесь и на Б  $20\text{ мкВ}$ ,  $100\text{ мкВ}$ .

Б. Одновременно регистрируемые ответы верхнего отдела ПОД (1), переднего отдела КИ (2), переднего (3), среднего (4) и заднего (5) отделов ССИ и первичной зрительной коры (6) на одиночное ( $12\text{B}$ ;  $0,2\text{ мс}$ ) раздражение ПБЧ. Здесь, а также на В и Г хлорало-

за,  $60\text{ мг/кг}$ .

В. Ответы верхнего отдела ПОД (1) и переднего отдела ССИ (2) на одиночное ( $0,2\text{ мс}$ ) раздражение поверхностных и средних слоев ПБЧ при напряжении прямоугольного импульса  $5,8$  и  $15\text{B}$ . Калибровка здесь и на Г  $40\text{ мкВ}$ .

Г. Одновременно регистрируемые ответы верхнего отдела ПОД и разных областей КИ и ССИ (цифры соответствуют таковым рисунка Б) на одиночное ( $0,2\text{ мс}$ ) раздражение средних слоев ПБЧ при напряжении  $5,8$  и  $15\text{B}$ .

передний отдел краевой извилины — для ЗЛЯ [25]) значительно перекрываются с зонами коркового представительства ПБЧ (наши данные).

На рис. 1А показаны вызванные потенциалы (ВП) различных отделов ПОД (слева) и ЗЛЯ (справа) на одиночное электрическое раздражение (значительной интенсивности) разных слоев ПБЧ. Хорошо видно, что наибольшей амплитуды ответ (ЛП  $1,2\text{--}1,7\text{ мс}$ ) в ПОД и

ЗЛЯ возникает при раздражении поверхностных слоев ПБЧ. По мере углубления раздражающего электрода в ПБЧ амплитуда ВП снижается (особенно в ЗЛЯ). Кроме того, амплитуда ответа бывает наибольшей в дорсальных отделах ПОД и ЗЛЯ, падая вентральном направлении. Это хорошо видно на ответах при раздражении средних слоев ПБЧ: наибольшей амплитуды ВП с ЛП 2—4 мс возникает только в верхних отделах ПОД и ЗЛЯ. Раздражение глубоких колликулярных слоев оказывается неэффективным для вызова ВП в ПОД и ЗЛЯ. Следует отметить также, что зона ответов ПОД на раздражение ПБЧ является более обширной по сравнению с таковой ЗЛЯ.

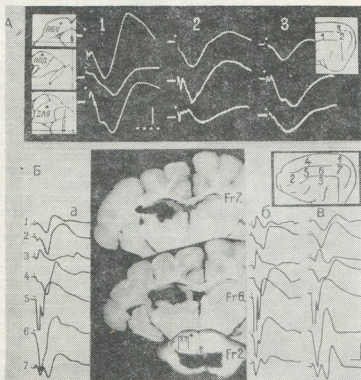


Рис. 2А. Ответы коры (цифры сверху — области, показанные справа на схеме мозга) на одиночное раздражение ПБЧ ( $10\text{В}$ ;  $0,3\text{ мс}$ ), ПОД ( $6\text{В}$ ;  $0,3\text{ мс}$ ) и ЗЛЯ ( $10\text{В}$ ;  $0,3\text{ мс}$ ) (в такой же последовательности сверху вниз — схемы мозга слева), зарегистрированные в одном опыте. Нембулат  $10\text{--}15\text{ мкг/кг}$ . Калибровка:  $2\text{ мс}$ ,  $200\text{ мкВ}$ .

Б. Ответы коры на одиночное ( $4\text{В}$ ;  $0,1\text{ мс}$ ) раздражение ПБЧ до (а), через  $15$  (б) и  $45$  (в) мин после повреждения ПОД и через  $15$  мин (в) после добавления повреждения ЗЛЯ. На фото срезов мозга Fr. 7 и 6 показано субтотальное повреждение ПОД и ЗЛЯ, а также частичное повреждение ЛД и центральной части НКТ. На нижнем срезе Fr. 2 точкой в ПБЧ показана локализация раздражающего электрода и двустороннее повреждение ретикулярной формации на субколликулярном уровне. Хлоралоза  $60\text{--}70\text{ мг/кг}$ . Калибровка:  $40\text{ мс}$ ,  $400\text{ мкВ}$

Судя по распределению ВП на одиночное колликулярное раздражение, можно заключить, что колликулярный выход от наиболее поверхностных и, в меньшей степени, от средних слоев ПБЧ связан с верхними и средними отделами ПОД и с верхними отделами ЗЛЯ. Эти результаты согласуются с морфологическими [15, 17, 20, 26, 41] и электрофизиологическими [16] данными о связях ПБЧ с ПОД и морфологическими данными о связях ПБЧ со ЗЛЯ [15, 17, 20, 26].



Одновременная регистрация (рис. 1Б, В, Г) ответов ПОД, ЗЛЯ и коры на колликулярную стимуляцию показала, что ЛП ВП коры значительно превышают таковые ответов таламических ядер (рис. 1Б). Пороги ответов зависят от локализации раздражающего электрода в ПБЧ. Как хорошо видно на рис. 1В, при раздражении поверхностных колликулярных слоев (верхние кривые) пороги ответов в ПОД и коре почти одинаковы (5В); при увеличении интенсивности раздражения ВП также увеличиваются почти одинаково, за исключением интенсивности в 15В, когда корковый ВП растет во много раз больше ВП в ПОД. Раздражение средних слоев ПБЧ (нижние кривые) оказывается более эффективным для активации коры: это видно по более низким порогам (5В) ВП и по более значительному возрастанию их амплитуды в связи с увеличением интенсивности раздражения ПБЧ (8 и 15В). Те же отношения обнаруживаются и в случае регистрации ответов (одновременно с корой) в ЗЛЯ.

Таково соотношение порогов ответов ПОД, ЗЛЯ и коры в фокусах их максимальной активности на стимуляцию разных слоев ПБЧ. Одновременно регистрируемые ответы ПОД, разных областей ССИ и краевой извилины (КИ) на раздражение ПБЧ показаны на рис. 1Г.

Судя по ЛП ответов ПОД, ЗЛЯ (1,2 — 1,7 мс) и коры (4—10 мс) на раздражение ПБЧ, следует заключить, что данные ядра могут быть релейными для колликулярных импульсов в эзне коры, которые являются проекционными для ПОД и ЗЛЯ. С этой точки зрения значительный интерес представляет сравнить корковые ответы на раздражение ПОД, ЗЛЯ и ПБЧ в одних и тех же условиях опыта (рис. 2А). Обращает на себя внимание почти одинаковая продолжительность ЛП ответов коры на раздражение всех трех структур.

Для окончательного решения вопроса о роли ПОД и ЗЛЯ в колликуло-кортикоальном проведении зарегистрировались ответы коры на раздражение ПБЧ до и после повреждения данных ядер. Результаты одного из таких опытов, в котором субтотальное повреждение ПОД и ЗЛЯ произведено друг за другом на одном и том же препарате, показаны на рис. 2Б. Хорошо видно, что уже через 15 мин после повреждения ПОД (б) ответы не отличаются существенно от исходных (а): отмечается лишь кратковременное их подавление в первичной зрительной коре и в среднем и в заднем отделах ССИ, которые через 45 мин (в) достигают своей первоначальной величины и конфигурации. В связи с добавлением повреждения ЗЛЯ (в) следует отметить некоторое падение амплитуды ВП в переднем отделе КИ. Учитывая незначитель-

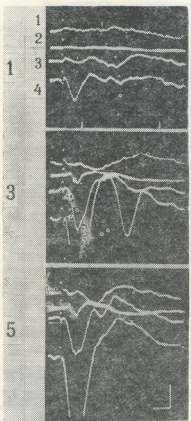


Рис. 3. Одновременно регистрируемые ответы СЦ(1), ВЛ(2), задней сигмовидной извилины (3) и переднего отдела ССИ (4) на одиночное (0,2 мс) раздражение ПБЧ при напряжении 1,3 и 5В. Хлоралоза 60 мг/кг. Калиброка: 20 мс, 200 мкВ

заны на рис. 2Б. Хорошо видно, что уже через 15 мин после повреждения ПОД (б) ответы не отличаются существенно от исходных (а): отмечается лишь кратковременное их подавление в первичной зрительной коре и в среднем и в заднем отделах ССИ, которые через 45 мин (в) достигают своей первоначальной величины и конфигурации. В связи с добавлением повреждения ЗЛЯ (в) следует отметить некоторое падение амплитуды ВП в переднем отделе КИ. Учитывая незначитель-

ные изменения колликулярно вызванных корковых ответов после повреждения ПОД и ЗЛЯ следует заключить, что основная часть колликулярных импульсов, видимо, достигает коры путями, минирующими ПОД и ЗЛЯ.

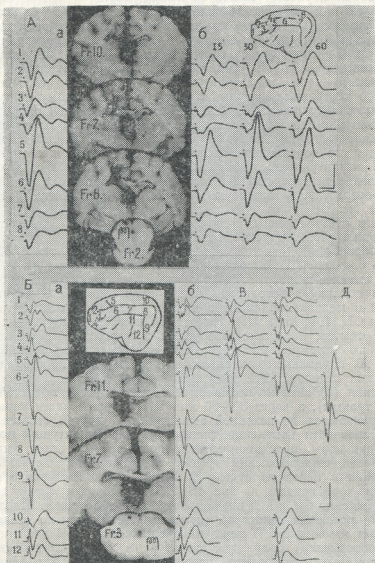


Рис. 4А. Ответы коры на одиночное (8В; 0,1 мс) раздражение ПБЧ до (а) и через 15, 30 и 60 мин (б) после таламического повреждения (фото фронтальных срезов 10, 7, 6), включающего: MD, Pt, PVA, NCM, PC, Hbl, Hbm, Pf, CM, от части LP, LD. Здесь и на Б: хлоралоза 60—70 мг/кг; калибровка: 40 мс, 400 мкВ.

Б. Ответы коры на одиночное (8В; 0,1 мс) раздражение ПБЧ до (а) и через 5(б), 15(в), 45(г) мин после повреждения в переднем отделе таламуса с субтотальным разрушением LD, AV, VL, CL (фото среза II) и через 5 (г) и 30(д) мин после добавления субтотального разрушения CM, MD (после Fr.7; здесь повреждением заданы также LD, медиальная часть LP, Hbl, Pf, CG).

**Изучение связи ПБЧ с другими ядрами таламуса и эффекты повреждения последних.** Кандидатами на роль реле колликулярных импульсов во фронтальные отделы коры являются срединный центр (СЦ), медиодорсальное (МД), вентролатеральное (ВЛ), парафасцикулярное (ПФ) ядра таламуса. В пользу возможного участия их в опосредовании корковых эффектов колликулярного раздражения свидетельствуют как морфологические данные о связи ПБЧ с указанными структурами [17, 19, 30, 31], так и значительное перекрытие зон корковой проекции данных ядер [18, 29] зонами проекции ПБЧ. Значительный интерес представляют связи ПБЧ с ВЛ, МД и латеральным дорсальным (ЛД) ядрами, поскольку их рассматривают гомологами круглого ядра домлокопитающих — основного таламического коллектора тектальных импульсов и их реле к конечному мозгу.

Низкоамплитудные ВП в СЦ, МД и ЛД на одиночное раздражение ПБЧ имеют сходные характеристики и представляют собой преимущественно положительное колебание (ЛП 10—15 мс). Потенциал ВЛ возникает в его дорсальных отделах в виде негативно-позитивного колебания (амплитуда около 100 мкВ, ЛП 10—15 мс), в средних отделах наблюдается реверсия ВП, который вентральных отделах несколько возрастает в амплитуде (до 250 мкВ), а ЛП укорачивается до 8—10 мс.

Пороги ответов данных ядер на раздражение ПБЧ выше таковых одновременно регистрируемых ответов коры (рис. 3). В целом, основными особенностями ответов данных ядер по сравнению с ВП коры являются большой ЛП, высокие пороги и низкая амплитуда.

Для выяснения роли этих структур в опосредовании корковых эффектов колликулярного раздражения производились обширные повреждения в медиальной части, а также в переднем отделе таламуса (включая СЦ, ПФ, МД, ВЛ). На рис. 4А показаны результаты одного из таких опытов, в котором разрушена практически вся группа ядер медиального таламуса ипсилатерально<sup>1</sup> и отчасти противоположной стороны. В каудальном направлении повреждение простипалось до ростральных отделов ПБЧ. Хорошо видно, что через 15 мин после повреждения (б) заметно подавляются ответы всех областей коры (эффект травмы), а через 30—60 мин ВП большей части коры почти восстанавливаются до исходной амплитуды. С другой стороны, некоторые особенности изменения (конфигурации, амплитуды) потенциалов в зонах коры, проекционных для повреждаемых ядер, указывает на некоторый специфический эффект такого вмешательства. Эффект повреждения в переднем отделе таламуса<sup>2</sup> на колликулярно вызванные ответы коры показан на рис. 4Б, б (здесь показан эффект добавления повреждения СЦ и МД после повреждения в переднем отделе таламуса). Не исключая некоторой (незначительной, судя по степени наблюдаемых изменений ВП коры на раздражение ПБЧ после повреждения данных ядер) роли этих структур в колликуло-кортикальном проведении, результаты опытов позволяют заключить, что данные таламические структуры не могут рассматриваться как основной канал проведения колликулярных импульсов в кору, в том числе и во фронтальные зоны последней.

**Изучение связи ПБЧ с НКТ и эффекты повреждения последнего.** В пользу участия НКТ в опосредовании корковых эффектов колликулярного раздражения свидетельствует значительное перекрытие зон корковой проекции НКТ (которые, как установлено [32], охватывают широкие зоны коры, помимо стриарной) и ПБЧ. Хотя морфологичес-

<sup>1</sup> Повреждение захватывало МД, СМ, РГ, НВ, НВн, РГ, PVA, NCM, PC, CG, часть LD, LP.

<sup>2</sup> Повреждение захватывало LD, AV, VL, CL.

кие данные о прямых связях ПБЧ с дорсальным ядром НКТ (ДНКТ) противоречивы, показан (морфологически) путь от ПБЧ к ДНКТ через вентральное ядро НКТ (ВНКТ) [15, 17, 19, 23, 30, 31].

Потенциал ДНКТ, возникающий на одиночное (большой интенсивности) раздражение ПБЧ (рис. 5А) имеет незначительную амплитуду и состоит из раннего (ЛП 0,5—2,0 мс, амплитуда 20—50 мкВ) и позднего (ЛП около 20 мс, амплитуда 50—100 мкВ) колебаний. Пороги ВП в ДНКТ значительно выше таковых одновременно регистрируемых ответов коры (рис. 5Б). При этом, пороги раннего компонента ответа ДНКТ превышают таковые позднего компонента. В анализе потенциала ДНКТ, возникающего на раздражение ПБЧ (особенно при больших напряжениях стимула), при которых проявляется ранний ком-

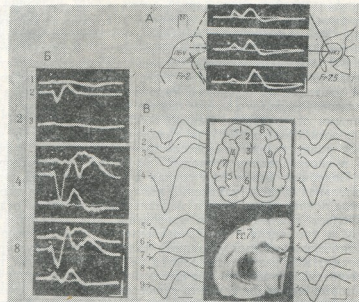


Рис. 5А. Ответы дорсального ядра наружного коленчатого тела на одиночное (8В; 1 мс) раздражение разных слоев ПБЧ. Здесь на Б нембутал, 10—15 мг/кг; калибровка: 20 мс, 100 мкВ.

Б. Одновременно регистрируемые ответы первичной зрительной коры (1), переднего отдела ССИ(2) и дорсального ядра НКТ(3) на одиночное (0,1 мс) раздражение ПБЧ при напряжении 2,4 и 8В.

В. Ответы коры на одиночное (10В; 0,1 мс) раздражение ПБЧ до (слева) и через 15 мин (справа) после тотальной коагулации области НКТ (Fr. 7, здесь повреждением захвачены также часть внутреннего коленчатого тела, LP, LD и латеральная часть МД). Хлорало-за, 60 мг/кг. Калибровка: 20 мс, 200 мкВ

понент), следует учитывать возможность активации ДНКТ через волокна зрительного тракта разветвленного типа, одна ветвь которых достигает ДНКТ, другая — ПБЧ [27, 36]. В пользу этого свидетельствуют как высокие пороги раннего компонента ответа ДНКТ, так и одинаковая продолжительность его ЛП с ЛП раннего ответа ПБЧ на раздражение НКТ [12, 27]. Это обстоятельство, а также малая амплитуда длиннолатентного компонента ответа ДНКТ на колликулярное раздражение позволяют заключить, что связи ПБЧ с ДНКТ являются незначительными, что согласуется с электрофизиологическими [27] и морфологическими [17, 31] данными. Возможная роль НКТ (включая как ДНКТ, так и ВНКТ) как звена колликуло-кортикального проведения



отпала после опытов с тотальным повреждением НКТ. Результаты одного из таких опытов, в котором полностью было повреждено НКТ (и отчасти внутреннее коленчатое тело) представлены на рис. 5В. Хорошо видно, что корковые эффекты колликулярного раздражения не терпевают сколько-нибудь существенных изменений после повреждения НКТ.

## ОБСУЖДЕНИЕ РЕЗУЛЬТАТОВ

Как показали опыты, ПБЧ тесно связаны со структурами промежуточного мозга. Судя по ЛП, порогам и амплитуде ВП, наиболее выраженными являются колликулярные связи с ПОД и несколько меньшими со ЗЛЯ, ВЛ, МД, СЦ, ЛД. Эти результаты подтверждают данные морфологических работ [15, 17, 19, 23].

Несколько неожиданными оказались результаты опытов, в которых изучалась релейная роль указанных структур в колликуло-кортикальном проведении. Для фронтальных отделов коры возможными кандидатами считаются СЦ, ПФ ВЛ [5]. Как отмечалось, особый интерес представляют ВЛ, МД, ЛД, которые, согласно сравнительно-анатомическим исследованиям [7, 19, 30], могут быть рассмотрены гомологами круглого ядра рептилий — основного таламического коллектора текто-импульсов. Результаты наших опытов свидетельствуют о связи ПБЧ с указанными структурами. Однако особенности ВП в ВЛ, МД, ЛД (высокие пороги, большой ЛП), по сравнению с ВП коры на колликулярную стимуляцию, делают маловероятным существенное значение этих структур в опосредовании корковых эффектов колликулярного раздражения. Подобный вывод был сделан в отношении СЦ. Это, а также незначительная степень изменений колликулярно вызванных ответов коры после повреждения ядер в медиальном и переднем отделах таламуса, позволяет заключить, что проведение колликулярных импульсов в кору, в том числе и во фронтальные зоны, осуществляется в основном путями, минирующими указанные таламические структуры.

Что касается НКТ, результаты опытов не дают основания предполагать наличие сколько-нибудь значительных колликуло-геникулярных связей, которые могли бы служить существенным звеном колликуло-кортикального проведения. В отношении ДНКТ к такому выводу приводят результаты опытов как с раздражением ПБЧ, так и с повреждением ДНКТ, а в отношении ВНКТ — опыты с повреждением последнего. Хотя этот факт противоречит тому, что показано о значении НКТ в текто-кортикальном проведении у домекопитающих [1, 2, 9], однако это согласуется с фактическими данными о связях ПБЧ с ДНКТ у млекопитающих [15, 17, 27, 30, 31]. В соответствии с этими последними данными результаты наших опытов свидетельствуют о крайне незначительных связях ПБЧ с ДНКТ.

Основные пути проведения колликулярных импульсов в кору связывают с ПОД и ЗЛЯ [7, 8, 9, 20, 26]. В пользу этого свидетельствуют данные о филогенетическом развитии зрительной системы млекопитающих [19, 30], данные морфологии о связях ПБЧ с ПОД и ЗЛЯ [15, 17, 19, 20 и др.], результаты электрофизиологического изучения колликуло-подушечных связей [16]. Наши опыты также свидетельствуют о связях ПБЧ с ПОД и ЗЛЯ. Из всех исследованных колликуло-таламических связей эти последние оказались наиболее значительными. Этот факт, а также значительная разница времени проведения колликулярных импульсов к ПОД, ЗЛЯ по сравнению с таковым к коре (1,2—1,7 мс и 4—10 мс, соответственно), значительные степени перекрытия зон корковой проекции ПБЧ, ПОД и ЗЛЯ, позволяли думать о решающей роли последних в колликуло-кортикальном проведении. Однако решающими для определения релейной роли ПОД и ЗЛЯ оказались

опыты с их повреждением. Результаты этих опытов являются достаточно четкими и они показывают, что колликулярные импульсы достигают коры, в том числе теменные и затылочные области, путями, минирующими в основном ПОД и ЗЛЯ. ВП коры на колликулярное раздражение после повреждения ПОД и ЗЛЯ меняются незначительно.

Результаты опытов показывают наличие тесной связи ПБЧ с широкими зонами коры с одной стороны, и со структурами промежуточного мозга — с другой. При этом, проведение колликулярных импульсов в кору не зависит существенно (как это предполагалось) от данных таламических образований.

Для изучения пути колликуло-кортикального проведения нами был применен также метод стрихинной нейронографии. Эти опыты (подробности будут представлены отдельным сообщением) показали, что после возникновения стрихинных спайков в ПБЧ через 2–6 мин они возникают в тех областях коры, которые установлены проекционными для ПБЧ в опытах с электрическим раздражением последнего [14]. Согласно данным о физиологическом действии стрихина и сущности метода стрихинной нейрографии [24, 42] результаты наших опытов с локальной стрихинизацией ПБЧ указывают на наличие прямых кортикопетальных колликулярных путей.

На основании настоящих результатов мы приходим к заключению, что из ПБЧ, наряду с путями, проходящими через разные таламические структуры (главным образом, ПОД, ЗЛЯ, ВЛ, СЦ) импульсы достигают кору и непосредственными колликуло-кортикальными путями. Эти последние идут к обширным областям коры: ко всей супрасильвийской извилине, двигательной, слуховой, зрительной (в основном ко вторичным полям и в меньшей степени к первичному полю) коре ипсилатерального полушария. Как видно (по фокусам максимальных ответов коры на колликулярную стимуляцию [14], по эффекту предшествующего раздражения и повреждения ПБЧ на периферически вызванный потенциал коры [11, 13]) основными зонами поступления колликулярных импульсов являются полисенсорные, ассоциативные области коры.

Следует отметить, что существование прямого пути от ПБЧ к зрительной коре предполагалось еще в ранних исследованиях Генщена (судя по схеме последнего, представленной в работе В. М. Бехтерева [3]), Бехтерева [3], Монакова [35]. В 1946 году предположение о существовании прямого пути по ПБЧ к зрительной коре было сделано Нарикашвили при объяснении происхождения ритмического характера зрительного последовательного образа [10]. Однако до сих пор достоверных морфологических данных в пользу таких путей не было получено. В работе Бирюкова [4] методом терминальной дегенерации обнаружены связи ПБЧ с корой. Однако отсутствие указания на способ достижения ПБЧ для повреждения, а также отсутствие контроля опытов не позволяют сделать окончательных выводов.

Функциональное значение колликулярного входа в кору можно предполагать, исходя из известных данных о зрительных функциях ПБЧ, связанных с дискриминацией яркости света, перемещения стимула в пространстве и др. [33, 40]. При этом, наряду с тем, что в ряде опытов показано весьма существенное значение колликулярного входа на зрительные ответы двигательной области коры [5, 22] и ССИ [11, 13, 37], в других исследованиях в связи с колликулярными повреждениями видимых изменений в зрительных реакциях нейронов ССИ не обнаружено [21].

#### ЛИТЕРАТУРА

1. Белехова М. Г. Нейрофизиология, 5, 147—155, 1973.
2. Белехова М. Г., Акулина М. М. Нейрофизиология, 2, 293—306, 1970.

3. Бехтерев В. М. Проводящие пути спинного и головного мозга, С.-Петербург, 1896, 390.
4. Бирюков Ю. Б. В кн.: Структура и функция нервной системы, «Медицина», М., 1965, 40—44.
5. Бюзэр П., Ришар Д. В кн.: Сенсорная организация движений, «Наука», Л., 1975, 41—52.
6. Загорулько Т. М., Хачатрян А. В. В кн.: Электрофизиологические исследования центральной нервной системы позвоночных, «Наука», М., 1970, 29—39.
7. Карамян А. И. Эволюция конечного мозга позвоночных, «Наука», Л., 1976, 256.
8. Карамян А. И., Белехова М. Г., Загорулько Т. М. Журн. эвол. физiol. и биох., VIII, 166—172, 1972.
9. Карамян А. И., Загорулько Т. М., Белехова М. Г., Веселкин Н. П., Косарева А. А. Нейрофизиология, 7, 12—20, 1975.
10. Нарикашили С. П. Зрительный последовательный образ Пуркинье и его изменения под влиянием непрямых раздражений, Докт. дисс. Л., 1946.
11. Ханаева З. С. Сообщ. АН ГССР, **73**, 177—180, 1974.
12. Ханаева З. С. Сообщ. АН ГССР, **79**, 173—176, 1975.
13. Ханаева З. С. Сообщ. АН ГССР, **83**, 457—460, 1976.
14. Ханаева З. С. Сообщ. АН ГССР, **85**, 429—432, 1977.
15. Altman J., Carpenter M. J. Comp. Neurol., **116**, 157—178, 1961.
16. Armengol V. V., Palestini M. Acta Neurol. Latinoamer., **14**, 17—27, 1968.
17. Benevento L. A., Fallon J. J. Comp. Neurol., **160**, 339—362, 1975.
18. Bowsher D. In: (eds) Purpura D., Yahr M., The Thalamus. New York—London, 1966, 99—108.
19. Clark Le Gros W. E. Brain, **55**, 406—469, 1932.
20. Diamond J. T., Hall W. C. Science, **164**, 251—262, 1969.
21. Dow B. M., Dubner R. J. Neurophysiol., **34**, 47—55, 1971.
22. Dubrovsky B., Garsia-Rill E. Exp. Neurol., **33**, 475—484, 1971.
23. Ebeson S. O. E. Brain, Behav. Evol., **3**, 178—194, 1970.
24. Frankenhausen B. J. Neurophysiol., **14**, 73—79, 1951.
25. Graybiel A. M. Brain Res., **49**, 229—244, 1973.
26. Harting J. K., Hall W. C., Diamond J. T. Brain Behav. Evol., **6**, 424—452, 1972.
27. Hayashi J., Sumitomo S., Iwama K. Jap. J. Physiol., **17**, 638—651, 1967.
28. Jasper H. H., Ajmone-Marsan. A Stereotaxic Atlas of the Diencephalon of the Cat. Nat. Res. Council of Canada, Ottawa, 1954.
29. Jones E. G., Leavitt R. J. J. Comp. Neurol., **154**, 349—377, 1974.
30. Kappers A., Huber G. K., Crosby E. C. In: The Comparative Anatomy of the Nervous System of Vertebrates, Including Man. New York. Hafner Publishing Company, 1960, 2, 865—1239.
31. Martin G. F. J. Comp. Neurol., **135**, 209—224, 1969.
32. Marti R., Benoit O., Laquier M. M. Arch. ital. biol., **107**, 723—742, 1969.
33. McIlwain J. T. Ann. Rev. Physiol., **34**, 291—314, 1972.
34. Meikle T. H., Sprague J. M. Intern. Rev. Neurobiol., **6**, 149—189, 1964.
35. Monakhov von C. Die Lokalisation in Grosshirn und der Abbau der Function durch korkkale Herde. Wiesbaden, 1914.
36. O'Leary J. L. J. Comp. Neurol., **73**, 405—430, 1940.
37. Orem J., Rhodes J. Brain Res., **28**, 511—525, 1971.
38. Reinoso-Suarez F. Topographischer Hirnatlas der Katze für experimental-physiologische Untersuchungen E. Merk A. C. Darmstadt, 1961.
39. Scheibein N. E., Scheibein A. B. In: (Eds) Purpura D., Yahr M. The Thalamus. New York—London, 1966, 13.
40. Sterling P., Wickelgreen B. J. Neurophysiol., **32**, 1—15, 1969.
41. Trojanowski J., Jacobson H. Brain Res., **97**, 144—150, 1975.
42. Wall P. D., Horwitz N. L. Neurophysiol., **14**, 257—263, 1951.

# კოლიკულო-კორტიკალური გამტარი გზების ელექტროფიზიოლოგიური შესავალა კატეგორი

ჭ. ხაჩავაძა

საქართველოს სსრ მეცნიერებათა ეკოლოგიის ი. ბერიტაშვილის სახელმის  
ფიზიოლოგიის ანსტრუმენტი, თბილისი

რეზიუ მე

ქლორალოზით ( $50-70$  მგ/კგ) და ნემბუტალით ( $10-15$  მგ/კგ) დანარქო-ზებულ და აგრეთვე „ლისტენონით“ დადაბლავებულ კატებში შესწავლილ იქნა ოთხგორაკის წინა ბორცვების ერთხელობრივი ელექტრული გალიზიანების სპასუხოდ თალამუსში და ქერქში აღმოცენებული პასუხების თავისებურებანი.

შესწავლილ იქნა აგრეთვე ამ ბორცვებს გალიზიანებით ქერქში აღმოცენებული პასუხები ზოგიერთი თალამური ბირთვის ელექტროლიზური დაზიანების შემდეგ, სახელმობრ, ბირთვებისა, რომლებიც, როგორც ვარაუდაბენ, კოლიკულური იმპულსების გადამტკველი უნდა იყვნენ. გამოიჩინა, რომ ოთხგორაკის წინა ბორცვები თალამუსის ისეთ სტრუქტურებთან არიან ფუნქციურად დაკავშირებული, როგორიცაა: ბალიში, უკანა ლატერალური, ვენტროლატერალური, მედიოდორისალური ბირთვები, შუათანა ცენტრი და სხვა. თალამუსის ამ ბირთვებისა და ზოგიერთი სხვა ბირთვის (ვარაფასციულური, ჰაენცულური, გარეთა დამუხლული სხეული) ცალ-ცალქე ან ერთობერის შეიყლებით დაზიანების შემდეგ ქერქის პასუხები წინა ოთხგორაკის გალიზიანებაზე უმნიშვნელოდ, მაგრამ მაინც იცვლება.

ცედების შედევრად შეიძლება დავასკვნათ, რომ კოლიკულური იმპულსები ქერქამდე მიაღწევენ არა მარტო თალამური გადამტკველი ბირთვების გავლით, არამედ პირდაპირი კოლიკულურ-კორტიკალური გზებითაც.

## ELECTROPHYSIOLOGICAL STUDY OF COLICULO-CORTICAL CONDUCTION PATHWAYS IN THE CAT

Z. S. KHANAEVA

I. S. Beritashvili Institute of Physiology, Georgian Academy of Sciences, Tbilisi, USSR

**S u m m a r y**

The peculiarities of thalamic and cortical responses to single electrical stimulation of the anterior colliculus (AC) were studied in the anesthetized (chloralose 50—70 mg/kg, nembutal 10—15 mg/kg) immobilized with «Listeron» cats. The cortical responses were studied also after electrolytic lesions of some thalamic nuclei (supposed to be the relay for collicular impulses). The experiments showed the existence of connections of the AC with such thalamic structures as pulvinar, lateralis posterior, ventralis lateralis, medialis dorsalis, centrum medianum and others. Following lesions of the above-mentioned and some other thalamic nuclei (parafascicular, habenular nuclei, lateral geniculate body, apart and one after another) the cortical responses evoked by AC stimulation were not changed significantly. The conclusion can be drawn that apart from the transmission through some thalamic structures, collicular impulses arrive in the cortex by direct colliculo-cortical pathways.

УДК 591.51+612.391

ФИЗИОЛОГИЯ ЧЕЛОВЕКА И ЖИВОТНЫХ

## ИЗМЕНЕНИЕ ПИЩЕВОГО ПОВЕДЕНИЯ ГОЛУБЕЙ ПОД ВЛИЯНИЕМ ГИДРОКОРТИЗОНА

Ю. А. Хорунжева

Институт физиологии им. А. И. Караева АН Азерб. ССР, Баку

Поступила в редакцию 10.5.1977

Исследовалось участие гипофизарно-надпочечниковой системы в формировании пищевого мотивированного поведения у голубей.

Выяснено, что гидрокортизон, как при однократном, так и при длительном введении, вызывает активацию пищевого поведения, сопровождающую при наличии мотивационно-значимого объекта (пищи) полной депривацией сна и нарушением суточного ритма как пищевой, так и питьевой активностей. Введение гормона на фоне суточной пищевой депривации при неограниченном предоставлении воды лишь несколько усиливало общедвигательную активность и незначительно увеличивало число подходов к пустой кормушке и поилке. Однако вышеописанных изменений в суточном ритме поведенческих показателей не отмечалось.

Предполагается, что гидрокортизон при внутримышечном введении, вовлекая мотивационную пищевую систему, вызывает активацию пищевого поведения.

Многочисленные экспериментальные данные и клинические наблюдения, показывающие, что нарушения желез внутренней секреции определенным образом влияют на аппетит, а гиперфагия или голодаание существенно перестраивают эндокринную систему, вызывая как торможение, так и возбуждение пищевой активности [8, 13, 15, 18, 19], позволяют думать, что наряду с центральными нервыми и нейрохимическими механизмами в формировании пищевого мотивированного поведения немалую роль играют и гормоны.

Ведущая же роль гипоталамуса, а также большое значение лимбических образований в контроле адренокортикофной функции гипофиза, с одной стороны [12, 14, 8], и непосредственное участие этих отделов головного мозга в формировании эмоционально-мотивационного поведения человека и высших животных [10, 11, 1, 2, 18, 7] с другой, является основой для предположения о тесных взаимоотношениях эмоционально-мотивационных факторов и системы гипофиз-кора надпочечников.

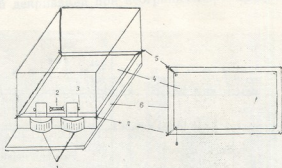
Исходя из вышеизложенного, в настоящей работе была поставлена цель изучить роль глюкокортикоидов в формировании пищевого мотивированного поведения.

### МЕТОДИКА

Исследования проводились на голубях в условиях свободного поведения, как при неограниченном доступе к пище и воде, так и при пищевой депривации. Общедвигательная, питьевая и пищевая активности регистрировались на специальной актографической установке, ко-

торая позволяла проводить одновременную регистрацию вышеуказанных показателей в течение суток (рис. 1). Для регистрации общедвигательной активности применялся метод контактного пола, а для регистрации пищевой и питьевой активностей использовались фотоэлем-

Рис. 1. Актографическая установка для регистрации общедвигательной, питьевой и пищевой активностей: 1 — кормушка; 2 — лампочки; 3 — фотосопротивление ФСД—I; 4 — подвижное дно; 5 — пружинки; 6 — контактная рамка; 7 — фиксатор; 8 — регулятор натяжения пружинки



менты. Запись всех трех показателей производилась на одной и той же ленте кимографа. Одновременно измерялось количество суточного потребления пищи и воды, а также ежедневно измерялся вес тела животного. Гидрокортизон вводился внутримышечно раз в сутки в дозе 0,1 мг на 100 г веса тела животного.

## РЕЗУЛЬТАТЫ И ИХ ОБСУЖДЕНИЕ

Анализ поведенческих реакций в условиях неограниченного доступа к пище и воде (рис. 2) показал, что голубь наиболее активен с 6 часов утра до 19 часов вечера и сравнительно неактивен в ночное время. При этом в структуре мотивационного поведения отсутствует элемент эмоционального возбуждения.

Анализ суточной актографической записи пищевого поведения голубя выявил четкую корреляцию суточной ритмики всех трех исследованных показателей активности животного с циклом сон — бодрствование.

Регистрация количества потребления пищи и воды, а также ежедневное измерение веса тела у интактных голубей в течение длительного времени показали, что в условиях свободного поведения норма потребления количества пищи и воды, а также вес тела животного колеблются около некоторой средней величины, которая является характерной для каждого подопытного животного. Иногда эти колебания могут быть значительными. Однако, несмотря на это, норма еды и питья, а также вес тела остаются относительно постоянными на протяжении всего исследуемого периода.

При пищевой депривации, по мере нарастания уровня потребности, мотивированное поведение эмоционально окрашивается, что выражается в активном поиске пищи, а также в появлении элементов агрессии. В актограмме (рис. 2) четко видно усиление общедвигательной активности, указывающее, по данным А. И. Караева и Ш. А. Рустамовой [4], на наличие голодной активации; в то же время резко снижается число подходов к пустой кормушке. Однако суточный ритм ни одной из регистрируемых активностей не нарушался, в ночное время голубь находился в состоянии покоя, как и при насыщении.

Введение гидрокортизона вызывало активацию пищевого поведения. Потребление пищи увеличивалось на 32,8%, потребление воды — на 9,4%, вес же тела голубя увеличивался на 3,3% (рис. 3). Причем,

как показала статистическая обработка, увеличение потребления пищи и воды у молодостоверно.

Прослеживая динамику изменения потребления пищи и воды, а также изменение веса тела в условиях неограниченного доступа к пище и воде при ежедневном введении гидрокортизона в течение двух-

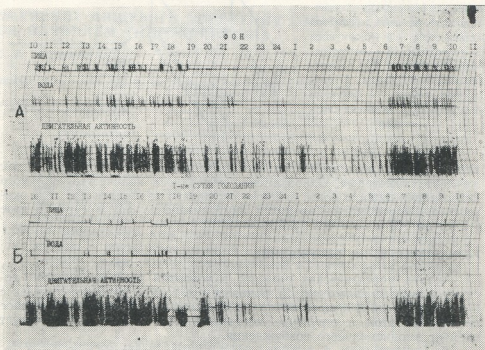


Рис. 2. Суточная актограмма пищевой, питьевой и общедвигательной активностей у интактных голубей: А — в условиях неограниченного доступа к пище и воде; Б — в условиях пищевой депривации

недельного периода, нами было выяснено, что и в этом случае действие гормона направлено на активацию пищевого поведения. Наибольший эффект отмечался в первые три дня введения гормона. Относительно исходных показателей это увеличение в среднем составило 40%. В дальнейшем наблюдается снижение этого эффекта. Очевидно, такое явление связано с развивающейся атрофией коры надпочечников, вызванной длительным введением гидрокортизона.

Актографический анализ показателей поведенческих реакций (рис. 4) в условиях неограниченного доступа к пище и воде при введении гидрокортизона показал, что гидрокортизон полностью изменяет фоновую актографическую картину. Увеличивается число подходов к кормушке и длительность нахождения голубя у нее. Причем, такая пищевая активация отмечается не только в дневные часы, но и ночью. Аналогичный эффект отмечается и в питьевой активности. Одновременно резко усиливается общедвигательная активность, сопровождаемая проявлением признаков эмоционального возбуждения и полной депривацией сна в ночное время.

Таким образом, как количественные показатели, так и актографические дают возможность предположить, что внутримышечное введение гидрокортизона вызывает активацию пищевого мотивированно-

го поведения, усиление же питьевой и общедвигательной активностей, очевидно, является лишь результатом усиления пищевой активности.

Для подтверждения нашего предположения была проведена дополнительная серия экспериментов, в которой гидрокортизон вводился на фоне суточной пищевой депривации при неограниченном представлении воды.

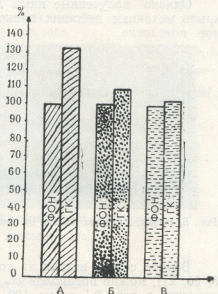


Рис. 3. Изменение потребления пищи и воды и веса тела голубя при внутримышечном введении гидрокортизона; А — потребление пищи; Б — потребление воды; В — вес тела

Полученные данные показали (рис. 5), что введение гидрокортизона на фоне суточной пищевой депривации существенных изменений не вызывает. Актографическая картина остается аналогичной фоновой при пищевой депривации, лишь несколько увеличивается число под-

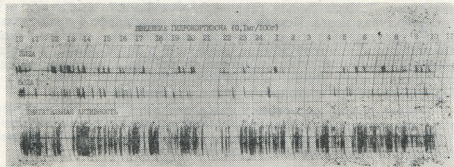


Рис. 4. Влияние гидрокортизона на пищевую, питьевую и общедвигательную активности в условиях неограниченного доступа к пище и воде

ходов к пустой кормушке и поилке, что указывает на усиление голодной активации. Факт же нарушения цикла сон—бодрствование, который отмечался у голубей при введении гидрокортизона в состоянии насыщения, в условиях пищевой депривации не отмечался. Очевидно, гормон эти изменения в поведении животного вызывает лишь при наличии мотивационно значимого объекта (пищи).

Полученные данные в условиях пищевой депривации еще раз указывают на то, что гидрокортизон направленно действует на активацию

пищевого поведения и что данный эффект является первичным, а не побочным фактором, сопровождающим активацию питьевого поведения или депривацию сна.

Исходя из вышеизложенного, можно предположить, что активация пищевого поведения при внутримышечном введении гидрокортизона, очевидно, связана с вовлечением мотивационной пищевой системы.

Однако полученные нами данные пока еще не позволяют раскрыть механизм действия данного гормона на пищевое мотивированное поведение.

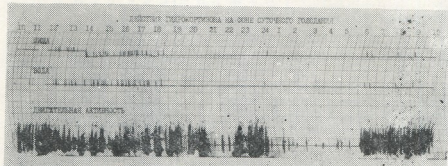


Рис. 5. Влияние гидрокортизона на пищевую, питьевую и общедвигательную активность в условиях пищевой депривации

Вместе с тем, исходя из собственных и литературных данных [3, 6, 20, 21], можно предположить, что гидрокортизон, введенный внутримышечно в дозе 0,1 мг на 100 г веса тела, оказывает возбуждающее действие на функциональное состояние ЦНС. Причем, очевидно, первоначально активируется «пейсмекерный» пищевой центр в гипоталамусе, так как по данным Н. М. Малышенко [5], гипоталамус, содержащий все виды адreno-, холино- и серотонинореактивных систем, обладает повышенной чувствительностью к стероидным гормонам, и пропицаемость ГЭБ здесь для гидрокортизона намного выше, чем в других структурах мозга. Исходя же из обширных морфо-функциональных связей гипоталамуса со структурами лимбической системы, можно предположить, что возбуждение, возникшее в гипоталамусе в ответ на действие стероидов, затем переходит на все звено лимбической системы, принимающие участие в формирование пищевого мотивированного поведения, что и приводит к пищевой активации.

Однако нельзя исключить и такое предположение, что гидрокортизон (как основной адаптивный гормон) влияет на обмен веществ через ферментные системы и, изменяя уровень метаболитов крови, вызывает возбуждение пищевых структур гипоталамуса [16, 17, 9].

## ЛИТЕРАТУРА

1. Анохин П. К., Судаков К. В. Успехи физiol. науки, 2, 3, 1971.
2. Гасанов Г. Г., Рубцова В. В. Изв. АН Азерб. ССР, серия биол. наук, 3, 173—181, 1970.
3. Егорова Л. И. Лечение глюокортикоидами и АКТГ, «Медицина», М., 1972.
4. Караваев А. И., Рустамова Ш. А. В сб.: Вопросы внутренней рецепции, Баку, X, 5—12, 1968.
5. Малышенко Н. М. Бюллетень экспер. биол. и мед., 7, 58—64, 1973.
6. Митюшов М. И., Богданов Т. С., Горина И. А., Емельянов Н. А., Ноздрачев А. Д., Подвигина Г. Г., Ракицкая В. В.

- Соколова Е. В., Федорова Л. Д., Шаляпина В. Г. Гормоны коры надпочечников и центральная нервная система. «Наука», Л., 1970.

  7. Оннани Т. Н., Нанешивили Т. Л. В сб.: Проблемы физиологии гипоталамуса, Киев, 5, 1968, 89.
  8. Сентаготай Я., Флеркоб., Меш Б., Халас Б. Гипоталамическая регуляция передней части гипофиза, Будапешт, 1965.
  9. Уголев А. М., Кассиль В. Г. В сб.: Сложные формы поведения, М.—Л., «Наука», 41—57, 1965.
  10. Anand B. K. Physiol. Behav., 41, 677—708, 1961.
  11. Anand B. K., Brobeck J. R. J. Biol. Med., 24, 123—140, 1951.
  12. Anand B. K., Dua S. J. Physiol., 127, 153—156, 1957.
  13. Andrik J., Bank J., Donhofer Sz. Arch. exptl. Pathol. und Pharm., 231, 1, 55—62, 1957.
  14. Endrőczi E., Lissák K. Acta Physiol. Hung., 17, 39—55, 1960.
  15. Han P. W., Lin C. H., Chu K. C., Mu J. I., Liu A. C. Amer. J. Physiol., 209, 3, 627—631, 1965.
  16. Kennedy G. C. Proc. Roy. Soc., B 140, 578—592, 1953.
  17. Mayer J. New England J., 249, 13—16, 1953.
  18. Petersson N. A., Chaikoff J. L. J. Neurochem., 10, 17—23, 1963.
  19. Petersson N. A., Chaikoff J. L. J. Neurochem., 12, 273—278, 1965.
  20. Reichlin S. Endocrinology, 60, 470—487, 1957.
  21. Sims E. A. H., Horton E. S. Amer. J. Clin. Nutr., 21, 1455—1470, 1968.

ପରିବାରକୁ ଆମେ ଯାଏଇବେଳେ କଥାକଥା କଥାକଥା କଥାକଥା କଥାକଥା କଥାକଥା

Digitized by srujanika@gmail.com

အောက်ပါကဏ္ဍအင်း၊ စာရွက် မြှောက်နောက်ပါတာ အောက်ဖြစ်ပါသည်။

፩፭፻፭፭

გამოიჩეკა, რომ მტრულებისთვის საკეცხისა და წყლის შეუზღუდავი რაოდნობით მიწოდებისას, ჰიდროკონსტიუნი წევევს კვებითი ქცევის გა-აქტივებას და, ამისთან ერთად, სრულ უძილობას, თან როგორც კვებითი, ისე წყლის სხის აქტივობის დღე-დამური რიტმის დარღვევას. ჰიდრონის შეფარანა 24-სათიანი კვებითი დეპრივაციის ფონზე აღლიერებს შიმშილს და არ იწ-ვევს დღე-დამური რიტმის აღნიშნულ დარღვევებს.

საერთაშორის, რომ ჰიდროკონსტიუნის კუნთებში შეყვანა ამოქმედებს კვებითი ქცევის გამახტივებელ მოტივაციურ სისტემას.

## EFFECTS OF HYDROCORTISONE INJECTION ON FEEDING BEHAVIOR IN PIGEONS

Yu. A. KHORUNZHEVA

A. I. Karaev Institute of Physiology, Azerbaijan Academy of Sciences, Baku, USSR  
Summary

The effects of intramuscular injection of hydrocortisone on both food and water consumption and on general motor activity were studied in freely behaving pigeons.



It appears that the injection of hydrocortisone induces an activation of feeding behavior accompanied by sleep-deprivation and disturbance of the circadian rhythm of eating and drinking in pigeons under *ad lib* food and water conditions. Hormone injection increases the natural hunger and does not produce any of the above disturbances of circadian rhythm on the background of one-day food deprivation.

It is suggested that intramuscular hydrocortisone injection involves the motivation system that activates feeding behavior.

УДК 616.36+618.19.6

ПАТОЛОГИЧЕСКАЯ МОРФОЛОГИЯ

## УЛЬТРАСТРУКТУРА ПЛОСКОКЛЕТОЧНОГО РАКА ВЛАГАЛИЩНОЙ ЧАСТИ ШЕЙКИ МАТКИ

Л. Б. Долидзе, У. А. Габуния, З. Г. Цагарели

Институт экспериментальной морфологии им. А. Н. Натишвили АН ГССР,  
Тбилиси

Поступила в редакцию 16.2.1977

Ультраструктурному исследованию подверглись 11 постоперационных случаев рака влагалищной части шейки матки. Среди прочих признаков следует отметить отсутствие десмосом с набором тонофибрill в низкодифференцированных раковых клетках и их наличие в видеrudиментарных образований в более дифференцированных раковых клетках. Предполагается, что это явление и обуславливает различную степень связи раковых клеток и возможность их отторжения от основного очага. Отмеченное объясняет факт большего метастазирования сравнительно низкодифференцированных форм рака шейки матки по сравнению с более дифференцированными формами. Отсутствие или слабое развитие десмосомные-тонофибрillных комплексов в раковых клетках говорит об утрате способности создавать специализированные структуры. Этот факт в спределенной мере указывает на степень зрелости раковых клеток вообще и дает возможность судить о степени зрелости раковых опухолей в целом.

Исследования на субмикроскопическом уровне позволяют значительно расширить представления о строении опухоли, об особенностях ультраструктуры отдельных ее клеточных компонентов и получить новые данные о характере структурно-функциональной перестройки, прошедшой в клетке в связи с злокачественным ростом. Со своей стороны, знание особенностей субмикроскопического строения опухолевых клеток различной дифференциации может представить в наше распоряжение сведения об ультраструктурном строении отдельных форм опухолей по признаку зрелости, что, безусловно, имеет определенное практическое значение.

Ультраструктурные особенности раковых опухолей шейки матки зарубежной литературе освещены довольно широко, хотя отечественных работ в этой области практически нет. В ряде работ [8, 3, 5, 6] сообщается, что паренхиматозные клетки шейки матки являются обладателями микроворсинок и межклеточных мостиков, в них отсутствуют [8] или укорочены [9] десмосомы и тонофибрillы, которые появляются лишь с повышением зрелости раковой опухоли [7, 4]. В противоположность этому Баумик и Митра [5] на определенном участке поверхности раковых клеток опухолей этой локализации обнаружили большое количество десмосом. Согласно литературным данным, оболочка ядер раковых клеток складчатая, наблюдаются инвагинации, отмечается конденсация ядерных гранул непосредственно под нуклеолеммой и вокруг увеличенных ядрышек [3, 6], нарастает шероховатость и вакуолизация эндоплазматического ретикулума, мелкие везикулы заполнены гомогенным веществом [9, 5, 8], митохондрии набухшие и вакуо-



лизированы, в большинстве случаев располагаются в клетках, лежащих у границ роста опухоли и имеют удлиненную форму [8, 9].

Интересно отметить, что в большинстве из вышеперечисленных работ не учтены гистологические формы опухоли, их дифференцировка и клеточный состав. Исключением является работа Баттлиса и Ло Стумбо [4], в которой также как и мы, изучили плоскоклеточные формы рака шейки матки с учетом вида клеток, создающих ту или иную гистологическую форму опухоли.

Нами изучены 11 постоперационных случаев плоскоклеточного рака влагалищной части шейки матки. Среди них выявлены следующие гистологические формы: 1. Низкодифференцированный рак, паренхима которого сплошь состоит из сравнительно мелких, округлых или овальной формы клеток типа базальных — базальноклеточный рак (4 случая). 2. Промежутоклеточный рак, паренхима которого состоит из клеток типа шиповатых и единичных клеток типа базальных — шиповатоклеточный рак (4 случая). 3. а) Плоскоклеточный неороговевающий рак, паренхима которого состоит из дифференцированных плоских неороговевающих клеток и б) плоскоклеточный ороговевающий рак, паренхима которого состоит из дифференцированных плоских, часто ороговевающих клеток. Кроме того, в обоих вышеуказанных видах по краям раковых ячеек определяются клетки типа шиповатых, а иногда и клетки типа базальных — плоскоклеточный рак (3 случая).

Опираясь на литературные данные [1, 2] и на результаты собственного исследования, можно полагать, что созревание раковых клеток типа базальных, шиповатых или плоских завершилось именно на уровне вышеназванного гомологичного вида клетки.

Кусочки, взятые из разных участков опухоли, помещались в 1%-ный раствор четырехокиси осмия. Материал после соответствующей обработки заливали в аралдит. Ультратонкие срезы получали на ультратоме Reichert OMU-2, окрашивали цитратом свинца.

Срезы изучались в электронном микроскопе Tesla BS-500. Увеличение составляло от 7000 до 12000. Для установления гистологической формы опухоли кусочки, заключенные в парафин, резались на ротационном микротоме и красились гематоксилином-эозином и пикрофуксином по ван Гизону.

Проведенные исследования показали, что паренхиматозные клетки рака, совокупность которых создает низкодифференцированный вариант плоскоклеточного рака влагалищной части шейки матки, характеризуются неправильными изъеденными контурами из-за фестонов и островков цитоплазмы. В них отсутствуют структуры, обеспечивающие межклеточные связи, т. е. полудесмосомы и десмосомы с набором тонофибрилл. Ядра этих клеток имеют крупные по сравнению с цитоплазмой размеры и неправильную форму, вследствие наличия глубоких цитоплазматических вмятин. Кариоплазма гомогенная или слегка зернистая с несколькими крупными и плотными ядрышками. Нуклеолемма иногда имеет вид концентрических кругов. Цитоплазма кажется шероховатой, поскольку заполнена расширенными цистернами и трубочками эндоплазматической сети, расположенными одна около другой и содержащими прозрачный или мелкозернистый материал. Имеются уплощенные цистерны в тесной связи с митохондриями. В раковых клетках много свободных рибосом, часто объединяющихся в полисомы. Комплекс Гольджи состоит из мелких пузырьков, расположенных около ядра. Между мембранными эндоплазматической сети разбросаны или сгруппированы многочисленные и объемистые митохондрии, преимущественно набухшие с очень светлым матриксом.

уменьшенными кристами. Наряду с ними встречаются митохондрии, которых матрикс темный и компактный, а кристы хорошо развиты. Привлекает внимание большое количество крупных лизосом с выраженным электронно-плотным содержимым. Часто встречаются мультивезикулярные тельца, округлые и объемистые фагосомы, содержащие аморфный дегрит, остатки митохондрий (рис. 1).



Рис. 1. Раковая клетка типа базальной: 1 — в цитоплазме клетки отчетливо прослеживаются расширенные цистерны эндоплазматической сети; 2 — многочисленные свободные рибосомы; 3 — уродливой формы ядро с инвагинациями цитоплазмы.  $\times 12\,000$

В клетках шиповатого типа, совокупность которых дает паренхиму промежуточного рака влагалищной части шейки матки, контуры изрезаны из-за присутствия зубчатых переплетений, что, несомненно, является последствием попытки установления тесной клеточной связи, несмотря на отсутствие десмосомных образований. Ядра округлой формы, однако довольно часто в отдельных клетках принимают весьма причудливые очертания. В гомогенной нуклеоплазме контурируются компактные ядрашки. Гранулярный эндоплазматический ретикулум развит сравнительно хорошо и представлен расширенными цистернами и везикулами. Свободные рибосомы чаще группируются в полисомы. Комплекс Гольджи главным образом состоит из мелких везикул и трубочек с неровными стенками. Полиморфные, часто набухшие митохондрии концентрируются преимущественно в какой-либо определенной зоне цитоплазмы. Хорошо просматриваются лизосомы как со средней, так и с высокой электронной плотностью, хотя их меньше, чем в низкодифференцированной раковой клетке (рис. 2).

Наиболее дифференцированные раковые клетки, образующие основную часть паренхимы плоскоклеточного как ороговевающего, так и неороговевающего рака шейки матки, уплощены и настолько плотно прилегают друг к другу, что межклеточные пространства почти не-

различимы. Но иногда эти пространства расширены, извилисты, что обусловлено существованием межклеточных отростков. В ряде случаев, в этих клетках обнаруживаются единичные десмосомоподобные структуры, а в цитоплазме выявляются независимые от десмосом тонофибрь.

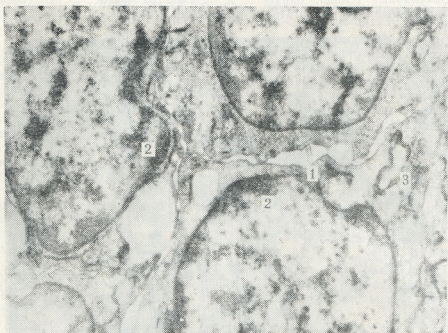


Рис. 2. Раковые клетки типа шиповатых: 1 — в межклеточных пространствах видны микроворсинки; 2 — ядра полиморфные, отмечается маргинация хроматина; 3 — митохондрии с просветленным матриксом.  $\times 12\,000$

риллы, находящиеся в тесной связи с ядерной оболочкой. Ядра округлой и овальной формы. Нуклеоплазма с различной электронной плотностью, с хорошо выраженной нуклеолеммой, отличается равномерностью расположения хроматина и компактными ядрышками. Цитоплазма богата свободными рибосомами. Эндоплазматический ретикулум обильный, шероховатый и в некоторых клетках занимает большую часть цитоплазмы. Чаще всего он представлен канальцами и везикулами. В подобных клетках, хотя и имеются уплощенные цистерны, они менее выражены, чем в вышеописанных клетках низкодифференцированного типа. Комплекс Гольджи представлен в виде пузырьков. Митохондрии в умеренном количестве, чаще всего неизмененные, имеют удлиненную форму, плотный матрикс и хорошо выраженные гребни. Лизосомы немногочисленны. Наблюдаются редкие фагосомные образования (рис. 3).

Следовательно, общие черты ультраструктурной организации, присущие паренхиматозным клеткам плоскоклеточного рака шейки матки, различной дифференциации — увеличение ядра и числа ядрышек, многочисленные инвагинации цитоплазмы и ядра, уменьшение или увеличение количества и упрощение структуры большинства цитоплазматических органелл, умножение числа свободных рибосом цитоплазмы и т. д. свойственны вообще для незрелых, эмбрионального типа клеток.

Характерным является необыкновенно мощное развитие эндоплазматической сети в низкодифференцированных раковых клетках по сравнению с высокодифференцированными раковыми клетками. Следует подчеркнуть вариабельность наличия и развития компонентов, обеспечивающих межклеточные связи, с чем вероятно и связаны изменения адгезивных свойств раковых клеток.



Рис. 3. Раковая клетка типа плоской: 1 — межклеточная связь осуществляется с помощью десмосомных образований; 2 — ядро овальной формы; 3 — митохондриальные кристы развиты слабо.  $\times 12\,000$

Большие размеры ядра опухолевых клеток и резкая осмиофильность, что, по-видимому, следует связать с увеличением числа хромосом вследствие полипloidии, встречаются почти во всех видах опухолевых клеток. Ультраструктурной основой усиления внутриклеточного белкового синтеза в цитоплазме следует признать нарастание количества свободных рибосом, главным компонентом которого является РНП. Значительное, а иногда колоссальное развитие эндоплазматического ретикулума, вероятно, объясняется образованием структурных белков для интенсивного размножения клеток, о чем говорят и данные ряда авторов [4, 3].

Как нами уже было отмечено выше, степень повреждения митохондрий уменьшается по мере нарастания зрелости раковых клеток, но аналогичные явления могут развиваться и при других патологических процессах, следовательно, поражения митохондрий не патогномоничны для раковых клеток, хотя могут иметь некоторое значение, если учесть, что они при различных воздействиях поражаются первыми [4, 8].

Как нами уже было отмечено, паренхиматозные клетки рака шейки матки практически лишены десмосом и тонофибрилл, обеспечивающих соединение между клетками. Отсутствие этих структур в низкодифференцированных раковых клетках и их наличие, хотя и в виде

рудиментарных образований, в более дифференцированных раковых клетках, вероятно, и обуславливает различную степень их связей и возможность отторжения раковых клеток от основного очага [7, 8, 9]. Отмеченное позволяет понять и объяснить факт большего метастазирования низкодифференцированных форм рака шейки матки по сравнению с более дифференцированными формами.

Хотелось бы подчеркнуть, что десмосомно-тонофибрillлярные комплексы имеют и другое значение. Они являются продуктом дифференциальной активности клеток. Их отсутствие или слабое развитие говорит об утрате способности создавать специализированные структуры, т. е. указывает на степень зрелости клеток вообще. Исходя из этого, наличие или отсутствие десмосомно-тонофибрillлярного комплекса в раковых клетках дает возможность в определенном смысле судить о степени зрелости раковой опухоли в целом, что, несомненно, наряду с научным интересом представляет большую практическую ценность.

## ЛИТЕРАТУРА

- Райхлин Н. Т. В кн.: Гистохимия и электронная микроскопия в клинической и экспериментальной онкологии. «Медицина», М., 1975. 17—49.
  - Саркисов Д. С. Архив патологии, XXXIV, 7, 3—14, 1972.
  - Ashwort C. T., Stemb ridge V. A., Luibel F. J. Acta Cytologica, 5, 5, 362—382, 1961.
  - Battaglia G. B., Lo Stumbo F. Minevra Ginecologica, 25, 3, 153—159, 1973.
  - Bhowmik D. K., Mitra A. Ind. J. Med. Res., LVI, 3, 282—287, 1968.
  - Luibel F. J., Sanders E., Ashwort C. T. Cancer Res., 20, 3, 357—361, 1960.
  - Moricard R., Cartier C. Цит. по Langley F. A., Crompton A. C. Epithelial Abnormalities of the Cervix Uteri, Springer-Verlag, Berlin, Heidelberg, New York, 1973, 10—85.
  - Von Haam E. Prensa médica Argentina, 58, 566—572, 1965.
  - Wiernic G., Bradbury S., Plant M. Brit. J. Cancer, 23, 6, 488—493, 1973.

ବ୍ୟ. ଅଗ୍ରଳ୍ପଦ, ପ୍ର. ଶୁକ୍ଲାନ୍ଦୀ, କେ. ଓପାରମଣି

ს ა გ ა რ თ ვ ე ლ ი ს ს ა რ მ ე ც ნ ი რ ე ბ ა თ ა ვ ა დ ე მ ი ს ა . ნ ა თ შ ვ ი ლ ი ს ს ა ხ ე ლ ი ბ ა ს ე ქ ს პ ე რ ი შ ე ნ ტ უ ლ ი მ თ რ დ ი ღ ა ლ ი ს ი ნ ს ტ უ ტ რ ი , თ ბ ი ლ ი ს ი დ

ՀԵՂՈՎՐԾՈՅ

ულტრასტრუქტურულად შესწავლილია საშვილოსნოს ყელის საშის წილის კიბოს 11 პოსტონერაციული შემთხვევა. სხვა ნიშნებთან ერთად ომონდიდა, რომ დაბალი ღიფერენციაციის მქონე კიბოს უგრედებში არ არის ტრინიფაზისტულების შემცველი დესონსმები, ხოლო ღიფერენციაციის უფრო მაღალ საჟენერაციულ შემდგომ კიბოს უგრედებში დესონსმები რულიმენტული ჭარბონაქმნების სახით გვხვდება. გამოთქმულია მოსაზრება, რომ ეს მოვლენა არის იმის მიზეზი, რომ კიბოს უგრედთა შორის კაშირი სხვადასხვა ხარისხისაა და ამიტომ ხდება ამ უგრედთა მოწყვეტა ძირითადი კერიდან. ყოველივე ეს გასააგებს ხდის, თუ რატომ ხდება უფრო ხშირი მეტასტაზირება დაბალი ღიფერენციაციის მქონე კიბოს ფორმებში მაღალდიფერენციიებულ 36



საქართველოს  
მეცნიერებათა  
აკადემიის  
უცნობესობის  
კომიტეტის  
უარსებობა  
ან სუსტი განვითარება  
მიგვანიშნებს, რომ ქო-  
ვილს დაყარგული აქვს  
სპეციალიზირებულ  
სტრუქტურათა  
წარმოქმნის  
უნარი. ეს ფაქტი საშუალებას  
გვაძლევს გარევეულად  
განვსაზღვროთ კიბოს  
უჯრედთა სიმწიფე საერთოდ  
და ვიმსჯელოთ მთლიანად  
სიმსიცნის სიმწიფის  
ხარისხზე.

## ULTRASTRUCTURE OF PLANCELLULAR CANCER OF THE VAGINAL PORTION OF CERVIX UTERI

L. B. DOLIDZE, U. A. GABUNIA, Z. G. TSAGARELI

A. N. Natishvili Institute of Experimental Morphology, Georgian Academy of Sciences,  
Tbilisi, USSR

### Summary

Eleven cases of postoperative cancer of the vaginal portion of the cervix uteri have been investigated with the aim to reveal their ultrastructure. Among other symptoms, the absence of desmosomes with a set of tonofibrils in the low-differentiated cancer cells and their presence as rudimentary formations in better differentiated cancer cells are particularly noteworthy. It is just this phenomenon that is surmised to condition various degree of tenacity of cancer cells and thereby to determine the possibility of their rejection from the main focus. The above observation throws light on and accounts for the fact that comparatively low-differentiated forms of cervical cancer enantiate more intensive metastasis than do better differentiated forms. The absence or weak development of the desmosome-tonofibril complexes in cancer cells testifies to the lack of ability to create specialized structures. This fact, to a certain extent, indicates the degree of maturity of cancer cells in general and enables us to judge the degree of maturity of cancer tumours as a whole.

УДК 616.936

ЭНТОМОЛОГИЯ

## АЛИМЕНТАРНАЯ СВЯЗЬ КРОВОСОСУЩИХ КОМАРОВ ГРУЗИИ С ГОМОЙОТЕРМНЫМИ И ПОЙКИЛОТЕРМНЫМИ ЖИВОТНЫМИ В ПРИРОДЕ И В ЭКСПЕРИМЕНТАХ

Ш. Г. Сичинава

НИИ медицинской паразитологии и тропической медицины им. С. С. Вирсальадзе  
МЗ ГССР, Тбилиси

Поступила в редакцию 10.I.1977

На основании литературных данных приведены материалы об эпидемиологической роли кровососущих комаров Грузии, распространенных и за ее пределами. В результате установления автором реакции преципитации источников питания этих насекомых в природе и в экспериментах оценено эпидемиологическое значение указанных кровососов в республике.

Резервуарами возбудителей инфекционных и инвазионных заболеваний являются главным образом позвоночные гомойотермные и пойкилотермные животные, а из непозвоночных — кровососущие членистоногие, при помощи которых осуществляется циркуляция возбудителей указанных заболеваний в природе.

Цель настоящей работы — показать, исходя из литературных данных, эпидемиологическую роль кровососущих комаров фауны Грузии, распространенных и в других республиках страны и за рубежом, где они служат доказанными или потенциальными переносчиками возбудителей инфекционных и инвазионных заболеваний человека и животных, и затем, на основе алиментарных связей массовых видов комаров с позвоночными хозяевами, установленных нами реакцией преципитации, оценить их возможную эпидемиологическую роль в республике.

Отдельные гипсометрические зоны (низменная, предгорная, горная) и разнообразные ландшафты Грузии (прибрежные террасы моря, заболоченности, долины рек, лесные массивы, полупустыни, степи, культурные ландшафты и др.) обуславливают своеобразный климат от влажных субтропиков (Западная Грузия) до умеренно континентального (Восточная Грузия). В этих зонах и ландшафтах имеются благоприятные экологические условия для размножения и распределения богатой фауны позвоночных животных, являющихся носителями возбудителей природно-очаговых заболеваний и прокормителями кровососущих членистоногих, в том числе и комаров.

В настоящее время в Грузии распространено 103 вида млекопитающих (*Mammalia*), 334 вида птиц (*Aves*), 42 — пресмыкающихся (*Reptilia*) и 12 — земноводных (*Amphibia*), которые характеризуются перекрыванием ареалов [19]. Из домашних животных широко разводится крупный и мелкий рогатый скот, свиньи, собаки, кошки. Число непарнокопытных сравнительно меньше. Из птиц много кур, гусей, уток, индеек и голубей.

С точки зрения носительства разных видов возбудителей вирусных, бактериальных и инвазионных заболеваний человека и животных, переносимых членистоногими, в том числе и комарами, особое внимание привлекают мелкие млекопитающие, домашние животные и птицы водно-околоводного комплекса, перелетные и кормящиеся главным образом на земле. Так, например, на западе Украины резервуаром арбовируса Олыка, кроме диких млекопитающих и птиц, предполагаются также домашние животные [5]. В приморской части дельты Волги у перелетных водоплавающих птиц при серологических исследованиях обнаружены в крови антитела к арбовирусам Синдбис и западнонильской лихорадки [4]. На Западной Украине у 13,8% перелетных птиц в крови выявлены также антитела к арбовирусам Западного Нила, Синдбис, западного лошадиного энцефаломиелита у Чикунгуня [12]. В Азербайджане ог желтой цапли выделен арбовирус Синдбис и установлено участие птиц водно-околоводных видов в циркуляции возбудителя указанного вируса и западнонильской лихорадки [1]. В Западной Сибири у овец и у многих диких млекопитающих обнаружены в крови антитела с арбовирусом омской геморрагической лихорадки [17]. В штате Мериленд (США) установлена естественная зараженность птиц и комаров *Cs. melanura*, обитающих в болотистом ландшафте, возбудителями арбовирусов восточного и западного энцефаломиелита лошадей [22].

Таким образом, гомойотермные и пойкилотермные животные, являясь резервуарами возбудителей трансмиссивных заболеваний, а также кровососущие членистоногие, особенно комары и клещи, при алиментарных связях с ними воспринимают и последующим кровососанием передают этих возбудителей людям и животным. Однако эпидемиологическая роль отдельных видов кровососущих насекомых определяется степенью восприимчивости и сохранения возбудителя заболевания, численностью переносчика, вкусовым предпочтением и способностью охоты [2, 18]. По данным А. В. Гуцевича [8] эффективными переносчиками могут быть те виды насекомых, в организме которых данный возбудитель размножается и которые передают его при последующем кровососании.

Из 31 известного вида кровососущих комаров фауны Грузинской ССР [10, 13] 5 видов *Anopheles* (*An. maculipennis*, *An. superpictus*, *An. plumbeus*, *An. claviger*, *An. hircanus*) являлись раньше в республике доказанными переносчиками возбудителей малярии человека, а 17 видов комаров (*A. c. caspius*, *A. c. dorsalis*, *A. cinereus*, *A. excrucians*, *A. geniculatus*, *A. sticticus*, *A. vexans*, *M. richiardii*, *C. modestus*, *C. pipiens*, *C. territans*, *C. thelleri* и указанные выше малярийные комары) в данное время являются в других частях СССР и за рубежом специфическими или механическими переносчиками возбудителей многих видов арбовирусных, бактериальных и инвазионных заболеваний человека и животных. Стальные виды комаров (*An. algeriensis*, *Aedes pulchritarsis*, *Culiseta longiareolata*, *Cs. annulata*, *Cs. morsitans*, *Cs. setifera*, *Culex hortensis*, *C. mimeticus*, *Uranotaenia unguiculata*, *Orthopodomyia pulchripalpis* и др.), распространенные в пределах Грузии, очевидно, играют определенную роль в циркуляции возбудителей указанных заболеваний в природе, но в этом отношении они почти не изучены.

Достаточно отметить, что общее число известных в мире арбовирусов и избранных вирусов позвоночных превышает 350 [6]. Из них 150 видов арбовирусов выделено только от кровососущих комаров. В настоящее время в СССР известна циркуляция 16 арбовирусных ин-



фекций в природе, многие из которых изолированы от комаров. Значительное количество многих видов кровососущих комаров, в том числе и комаров фауны Грузии, как хранителей и переносчиков инфекционных и инвазионных заболеваний, отмечено в сводных работах отечественных и зарубежных ученых [7, 9, 11, 20], поэтому из-за ограниченности объема статьи мы воздерживаемся от рассмотрения первичных литературных данных о большой эпидемиологической роли комаров Грузии за пределами нашей республики.

В Грузии исследования с целью выделения возбудителей арбовирусных, бактериальных и инвазионных заболеваний от позвоночных животных и членистоногих, в том числе и от комаров, не проводились. Однако в Абхазии при помощи реакции преципитации нами изучена алиментарная связь массовых видов комаров с прокормителями как в природе, так и в лабораторных условиях. Вышеизложенные литературные данные, а также полученные нами данные реакции преципитации о хозяевах-прокормителях комаров дают нам право на оценку возможной эпидемиологической роли этих кровососов.

## МАТЕРИАЛЫ И МЕТОДИКА

Для изучения круга хозяев-прокормителей комаров в природе, съеденных насекомыми крови самок этих насекомых собирали из искусственных и естественных убежищ в населенных пунктах и городах Абхазии. С целью выявления пищевых предпочтений использовались голодные самки комаров, выловленные в основном в указанных выше убежищах, а также выведенные из куколок, собранных в биотопах преимагинальных фаз, характерных для каждого вида. Собранных таким путем голодных самок разных видов подсчитывали и выпускали в лабораторию (температура воздуха 22–26°, относительная влажность 76–80%) площадью 20 м<sup>2</sup>, защищенную от вылета комаров. Сюда заранее были помещены прокормители: 1 теленок, 1 козленок, 4 поросенок, 4 крольчихи, 6 пыплят, 6 ежей обыкновенных, 6 черепах, 10 ящериц, 10 жаб.

Ящериц сажали в открытую стеклянную посуду, а остальных мелких животных — по отдельным видам в проволочные клетки с дощатым дном размером 50×50×40 см, с ячейками в 3–4 см, которые расставляли вокруг стен и посередине лаборатории вдалеке друг от друга. Теленка и козленка привязывали в противоположные по диагонали углы лаборатории. Опыты проводили в течение 12 часов (с 22 часов вечера до 10 часов утра), утром подсчитывали число напившихся крови комаров. Отмеченный методом было проведено кормление 10 массовых видов комаров в четырех повторностях.

Собранных в природе самок, находящихся на II—III стадии перенаривания крови по Селла, и особей, съеденных кровью на различных прокормителях в условиях эксперимента, по отдельным видам раздавливали между слоями фильтровальных бумаг и хранили в сухом виде для определения принадлежности крови реакцией преципитации по методике Д. Раиса и М. Барбера [21].

## РЕЗУЛЬТАТЫ ИССЛЕДОВАНИЙ

Для установления принадлежности крови реакцией преципитации были исследованы 6052 желудка массовых видов комаров, собранных в природных условиях (на воле) Абхазии. Выяснилось, что комары *Anopheles plumbeus*, *An. claviger*, *An. maculipennis*, *An. hyrcanus*, *Culiseta annulata*, *Cs. setivalva*, *Mansonia richiardii*, *Aedes caspius*, *A. vexans*, *A. 40*

*geniculatus*, *A. cinereus*, *Culex territans*, *C. hortensis*, *C. mimeticus*, *C. theileri*, *C. p. pipiens* и *C. p. molestus* в природе характеризуются широким кругом прокормителей. Выявлено, что самки *Anopheles*, *Aedes*, *Culiseta* и *M. richiardii* пытаются в основном на крупном и мелком рогатом скоте, свинье, человеке, а значительная их часть нападает также на птиц. *C. p. pipiens*, *C. territans* и *C. hortensis* предпочитают питаться на птицах, но у значительного числа этих комаров оказалась также кровь домашних копытных животных. Большое число двух последних видов питается и на ящерицах. *C. mimeticus* и *C. theileri* нападают преимущественно на домашних копытных и птиц, а самки *C. p. molestus* в городских условиях — на людей, птиц и собак [14].

Реакцией преципитации обнаружено также, что, как указывал В. Н. Беклемишев [3], кроме пищевого предпочтения, степень нападения комаров в природе на добычу зависит от количественного соотношения прокормителей, их размеров и доступности. Так, например, основными источниками питания 17 видов комаров оказались наиболее многочисленные и крупные домашние животные. Из крупных прокормителей человек, почти в два раза превышающий по численности всех домашних животных, занял в этом отношении третье место, что надо объяснить активной защитной способностью населения от нападения комаров и наличием большого числа других крупных прокормителей в виде

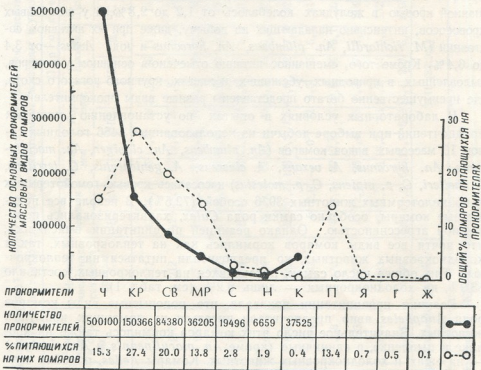


Рис. 1. Количественное соотношение основных прокормителей и числа питавшихся на них 17 видов кровососущих комаров по результатам реакции преципитации в природных условиях

Легендные обозначения: ч — человек, кр — крупный рогатый скот, сб — свинья, мр — мелкий рогатый скот, с — собаки, н — непарнокопытные, к — кошка, п — птица, я — ящерица, г — грызуны, ж — жаба.



домашних копытных животных, особенно в сельской местности. Число всех птиц в республике, по всей вероятности, во много раз больше, чем остальных прокормителей вместе взятых, но птицы как прокормители комаров занимают четвертое место, видимо потому, что они более подвижны и большинство из них менее доступно для нападения этих кровососов (см. рисунок). Однако на птицах прокармливается значительное число комаров и, по нашему мнению, предметом нападения этих кровососов в природе большей частью служат птицы водно-околоводного комплекса, кормящиеся на земле и гнездящиеся птицы, поскольку они более доступны для кровососания комаров. Из подопытных комаров на холоднокровных животных пытаются, в основном, некоторые сугубо экзофильные виды *Culex* и *Aedes*. Следует отметить, что в целом по республике 72,4% самок основного переносчика малярии *An. maculipennis* прокармливается на домашних животных и птицах, а 24,1% — на человеке. Однако в городах и поселках республики, где почти отсутствуют домашние животные, 88,9% этих комаров нападают на человека, что необходимо учитывать, особенно при завозе малярии извне. В природе из 17 видов комаров на домашних копытных прокармливается 63,1%, на человеке — 15,3%, на птицах — 13,4%, на плотоядных — 3,2% и на холоднокровных — 1,3% (см. рисунок). Смешанное питание удалось установить у 14 видов комаров, оно составило 3,2%, из них с кровью двух хозяев — 3,0%, а трех хозяев — 0,2%. Число комаров *Cs. annulata*, *An. maculipennis*, *An. claviger* и рода *Culex* со смешанной кровью в желудках колебалось от 1,2 до 2,8%, а у назойливых кровососов, интенсивно нападающих на добычу, даже при их активном состоянии (*M. richiardii*, *An. plumbeus*, *An. hyrcanus* и рода *Aedes*) — от 3,4 до 6,4%. Кроме того, смешанное питание отмечено в основном у комаров, выловленных в природных убежищах и хлевах крупного рогатого скота, где преимущественно богато представлены разные виды прокормителей.

В лабораторных условиях в опытах по установлению пищевых предпочтений при выборе добычи из использованных 5486 голодных самок 10 массовых видов комаров (*An. plumbeus*, *An. claviger*, *An. maculipennis*, *An. hyrcanus*, *A. vexans*, *A. cinereus*, *A. geniculatus*, *C. territans*, *C. theileri*, *C. p. pipiens*, *C. p. molestus*) насосались кровью гомоидермных и пойкилотермных животных 3976 особей (72,5%). В неволе все подопытные комары, особенно самки рода *Culex*, характеризовались пониженной агрессивностью. Однако реакцией преципитации выяснилось, что почти все виды комаров кормились как на теплокровных, так и холоднокровных животных, но предпочитали питаться на теплокровных. Так, общее число самок, пытающихся на теплокровных, составило 83,9%, на холоднокровных — лишь 6,2% (см. табл. 1).

Реакция преципитации показала, что подопытные виды комаров рода *Anopheles* явно предпочитали питаться на домашних копытных животных. Значительное число этих комаров кормилось также на кролике и цыпленке, а единичные (кроме *An. maculipennis* и *An. claviger*) — на ежах и холоднокровных животных. Комары *Aedes*, подобно самкам *Anopheles*, насасывались преимущественно кровью домашних копытных. Однако заметное число их питалось также кровью кролика, цыпленка, ежей и пойкилотермных животных. У большого числа особей *C. theileri* оказалась кровь домашних копытных животных и цыпленка, а у единичных — кровь ежей и черепах. Подавляющее большинство самок *C. p. pipiens* и *C. p. molestus* насосалось кровью цыпленка и теленка, у значительного числа выявлена также кровь поро-

Таблица 1  
ЗАРПЕЧЕНЫ  
ВОДНОГО ПРИРОДЫ

Выявленные различия пропорций видового предпочтения массовых видов комаров при питании их на различных гомологичных и псевдогомологичных кишечных в условиях эксперимента при выборе добывчи

Виды комаров	Число самок в опытах	Из них число насекомых кроме	Прокормители												Число комаров со смешанной кровью							
			Теленок		Кошка		Поросенок		Кролик		Цыпленок		Еж		Черепаха		Лягушка					
			ЧС	%	ЧС	%	ЧС	%	ЧС	%	ЧС	%	ЧС	%	ЧС	%	ЧС	%	ЧС	%		
<i>Ae. plumbeus</i>	375	317	113	35,7	46	14,3	68	21,3	36	11,4	14	4,4	3	0,9	2	0,6	1	0,3	—	0	34	10,7
<i>Ae. ciniger</i>	296	212	124	43,5	42	13,8	25	11,8	7	3,3	3	1,4	—	0	—	0	—	0	—	11	5,2	
<i>Ae. maculipennis</i>	468	372	165	44,4	9	25,5	76	20,4	8	2,2	4	1,3	—	0	—	0	—	0	—	23	6,2	
<i>Ae. kuganai</i>	353	291	118	40,0	66	22,7	26	8,9	17	5,8	15	5,2	5	1,7	4	1,4	3	1,0	—	0	37	12,7
<i>Ae. vexans</i>	605	534	229	42,9	64	12,0	94	17,6	37	6,9	21	3,9	11	2,1	7	1,3	9	1,7	—	0	62	11,6
<i>Ae. geniculatus</i>	412	324	86	26,5	63	19,5	46	15,1	28	11,7	23	7,1	7	2,2	12	3,7	8	2,5	—	0	38	11,7
<i>Ae. claviger</i>	878	743	225	30,3	148	19,9	126	17,0	52	7,0	32	4,3	18	2,4	21	2,8	17	2,3	1	0,1	103	13,9
<i>C. territor</i>	434	247	5	2,0	—	0	11	4,5	15	6,1	41	16,6	10	4,0	72	29,1	68	27,5	12	4,9	13	5,3
<i>C. thorelli</i>	328	175	67	38,3	22	12,6	36	20,6	16	9,1	20	11,4	3	1,7	2	1,1	—	0	—	0	9	5,2
<i>C. p. ripleyi</i>	723	378	47	12,4	28	7,4	35	9,3	17	4,5	214	56,6	4	1,1	4	1,1	1	0,2	—	0	28	7,4
<i>C. p. molestus</i>	614	383	85	22,2	41	10,7	66	17,2	24	6,3	132	34,5	2	0,5	2	0,5	—	0	—	0	31	8,1
Всего	5486	3976	1204	31,8	616	16,5	612	15,4	267	6,7	519	13,0	63	1,6	126	3,2	107	2,7	13	0,3	389	9,8
ЧС изменившихся кровей гомологичных и псевдогомологичных животных			3341 (63,9%)												246 (6,2%)							



Условное обозначение: ЧС—число самок



сенка, козленка и кролика, а у единичных — кровь ежей и <sup>холоднокровных</sup> животных. У основной части особей *C. territans* в желудках оказалось кровь пойкилотермных животных и птиц, а число самок, насосавшихся кровью домашних копытных животных, кролика и ежей, варьировало в незначительных пределах (см. табл. 1).

В экспериментах при выборе добычи количество подопытных комаров со смешанной кровью в желудках разных прокормителей составило 9,8%, из них с кровью двух хозяев — 9,0%, трех хозяев — 0,6%, четырех хозяев — 0,1%, пяти хозяев — 0,05%. При смешанном питании комары нападали почти на всех применявшимся в опытах хозяев-прокормителей, но и в этих случаях предпочитали теплокровных

Таблица 2

Полученные реакцией преципитации результаты смешанного питания массовых видов комаров на различных животных в условиях эксперимента при выборе добычи

Виды комаров	Число комаров со смешанной кровью	Из них с кровью				Животные, на которых самки питались повторно					
		2 хозяев	3 хозяев	4 хозяев	5 хозяев	телец	козленок	поросянок	кролик	цыплёнок	черепаха
<i>An. plumbeus</i>	34	30	3	1	—	26	15	17	12	3	—
<i>An. claviger</i>	11	11	—	—	—	8	6	5	3	—	—
<i>An. maculipennis</i>	23	22	1	—	—	16	15	11	4	1	—
<i>An. hyrcanus</i>	37	34	2	1	—	29	20	12	13	3	1
<i>A. vexans</i>	62	55	5	1	1	43	29	28	18	10	5
<i>A. geniculatus</i>	38	35	3	—	—	29	16	16	12	5	1
<i>A. cinereus</i>	103	93	7	2	1	75	49	42	31	14	7
<i>C. territans</i>	13	12	1	—	—	3	1	3	2	9	8
<i>C. theilleri</i>	9	9	—	—	—	5	4	4	3	2	—
<i>C. p. pipiens</i>	28	27	1	—	—	18	9	8	4	17	1
<i>C. p. molestus</i>	31	29	2	—	—	20	10	12	7	15	—
Всего:	389	357	25	5	2	272	174	158	109	79	23
											4

животных (см. табл. 1 и 2). Число комаров *An. claviger*, *An. maculipennis* и рода *Culex* со смешанной кровью в желудках составило 5,2—8,1%, а у более назойливых самок *An. plumbeus*, *An. hyrcanus* и рода *Aedes* — 10,7—13,9% (см. табл. 1). Примечательно, что в лаборатории при массовом нападении комаров на прокормителей при возможности выбора добычи животных (кролик, теленок, козленок, поросенок и др.) частыми потряхиваниями ушей и хвоста, а также вздрагиванием всего тела интенсивно отгоняли этих кровососов от себя. Подобные факты наблюдались нами и при кормлении этих же комаров на указанных прокормителях в лаборатории без выбора добычи [16].

Как в природе, так и в экспериментах, при выборе добычи в результате прерванного питания комаров, по всей вероятности для приема полной порции крови, самки совершают повторные нападения не



только на другие виды добычи, но и на тот или другой экземпляр данного вида прокормителей, от которого они были отвлечены, но реакцией преципитации из-за однородности крови подобные факты не устанавливаются. Результаты реакции преципитации показывают, что в опытах количество массовых видов комаров со смешанной кровью значительно больше, чем в природных условиях. По нашему мнению, это обстоятельство обусловлено большой концентрацией разных видов теплокровных и холоднокровных прокормителей в лаборатории и защитной реакцией животных, активно отгоняющих от себя напавших и частично насосавшихся крови комаров.

Указанные выше 10 массовых подопытных видов комаров в условиях эксперимента при отсутствии выбора добычи питались также на различных гомотермных и пойкилотермных хозяевах-прокормителях (еж, белая крыса, морская свинка, кролик, козленок, теленок, поросенок, человек, цыпленок, голубь, черепаха, ящерица, жаба). Однако число самок отдельных видов, питающихся на том или ином прокормителе, оказалось неодинаковым. Так, например, доля комаров *Anopheles* (*An. plumbeus*, *An. claviger*, *An. maculipennis*, *An. hyrcanus*) и *Aedes* (*A. vexans*, *A. cinereus*, *A. geniculatus*), напившихся крови, оказалась наибольшей при контакте их с домашними копытными животными и человеком. Самки *Culex* (*C. theileri*, *C. p. pipiens*, *C. p. molestus*) предпочитали питаться на птицах и домашних копытных, но особи *C. p. molestus* преимущественно нападали на человека, а подавляющее число самок *C. territans* напивалось крови пойкилотермных животных и птиц [15, 16].

Таким образом, в результате изучения реакций преципитации источников питания в природе кровососущих комаров и их пищевых предпочтений в экспериментах установлено преимущественное кормление отдельных видов комаров на определенных хозяевах. Однако все подопытные кровососущие комары являются полигематофагами, а их почти одновременное смешанное питание определяется как этологией отдельных видов комаров и хозяев-прокормителей, так и плотностью последних.

На основе отмеченных биологических особенностей кровососущие комары фауны Грузинской ССР при наличии в природе возбудителей инфекционных и инвазионных заболеваний, переносимых ими за пределы нашей республики, могут сыграть большую эпидемиологическую роль в сохранении и передаче этих заболеваний. Поэтому в Грузии с целью выделения от природной популяции комаров возбудителей арбовирусных, бактериальных и инвазионных болезней необходимо первым долгом исследовать сугубо массовые виды *Anopheles* (*An. maculipennis*, *An. plumbeus*, *An. claviger*), *Aedes* (*A. vexans*, *A. cinereus*, *A. caspius*, *A. geniculatus*), *Culex* (*C. pipiens*, *C. theileri*, *C. territans*) и *M. richiardii*, а также перелетных птиц водно-околоводного комплекса и млекопитающих. Такие исследования целесообразно проводить в болотистых местностях, в дельтах и долинах рек, лесных массивах, где обитает множество видов птиц и млекопитающих и где наблюдается высокая численность указанных кровососов.

#### ЛИТЕРАТУРА

1. Алешина Л. П., Гайдамович С. Я., Никифоров Л. П., Червонский В. И., Громушевский В. Л. Вопр. вирусологии, **16**, 221—225, 1971.
2. Беклемишев В. Н. Медицинская паразитология и паразитарные болезни, **10**, 1, 5—8, 1941.

3. Беклемишев В. Н. Экология малярийного комара, «Медгиз», М., 1944, 2—29.
4. Березин В. В., Чумаков М. П., Корасева П. С., Семенов Б. Ф. Вопр. вирусологии, 3, 336—341, 1967.
5. Виноград И. А., Гайдамович С. Я., Виговский А. И., Рогочий Е. Г., Обухова В. Р., Белецкая Г. В., Марушак О. Г. В сб.: Арбовирусы, «Медицина», М., 1974, 96—99.
6. Гайдамович С. Я. В сб.: Арбовирусы, «Медицина», М., 1974, 7—23.
7. Гуцевич А. В. Зоологический журнал, 43, 5, 1181—1183, 1964.
8. Гуцевич А. В. Паразитология, 1, 2, 161—170, 1967.
9. Детинова Т. С., Смелова В. А. Медицинская паразитология и паразитарные болезни, 42, 4, 455—471, 1973.
10. Зайцев Ф. А. Труды зоологического сектора Грузинского отделения Закавказского филиала АН СССР, Тбилиси, I, 1—26, 1934.
11. Сазонова О. Н. Кровососущие комары (*Diptera, Culicidae*), Переносчики возбудителей природноочаговых болезней, «Медицина», М., 1962, 9—63.
12. Сиденко В. П., Греков В. С. Орнитология, 11, 356—360, 1974.
13. Сичинава Ш. Г. Сборник трудов НИИМП и ТМ им. С. С. Вирсаладзе, 4 (19), 53—56, 1973.
14. Сичинава Ш. Г. Изв. АН ГССР, сер. биол., 2, 4, 344—351, 1976.
15. Сичинава Ш. Г. Сборник трудов НИИМП и ТМ им. С. С. Вирсаладзе, 1 (22), 89—92, 1976.
16. Сичинава Ш. Г. Медицинская паразитология и паразитарные болезни, 44, 6, 686—692, 1976.
17. Харитонов Н. Н. Перелетные птицы и их роль в распространении арбовирусов. Новосибирск, 1969, 317—321.
18. Чагин К. П., Кондратьев П. Я. Медицинская паразитодиагностика и паразитарные болезни, 12, 2, 34—44, 1943.
19. ჯანმარტინ სექართველოს ცხოველთა სიმყარო, თსუ, თბილისი, 1963, 3, 3—459.
20. Pratt H. D. Mosquito News, 24, 2, 91—103, 1964.
21. Rice J. B., Bargery M. A. J. Lab. Clin. Med., 20, 8, 876—883, 1935.
22. Williams J. E., Young O. P., Watts D. M. J. Med. Entomol., 11, 3, 352—354, 1974.

საქართველოს სისხლმდობი კოლოგიის აღიმნითარული კავშირი  
პომიოთირმულ და პოიკილოთირმულ ცხოველებთან გუნდაზი და  
მცხავრივინტენტი

#### უ. სიმინდა

საქართველოს სსრ კამინისტრობის დაცვის სამინისტროს ს. ვირსალაძის სახლობის სამეცნი-  
ცინო პარაზიტოლოგიისა და ტრონიკული მედიცინის ინსტიტუტი, თბილისი

#### რეზიუმე

ნაშრომში ლიტერატურული მონაცემების საფუძველზე, მოყვანილია მასა-  
ლები საქართველოს სისხლმწოვი კოლოების ეპიდემიოლოგიური როლის შე-  
სახებ, ეს კოლოები გავრცელებულია საქართველოს ფარგლებს გარეთაც-  
ავტორმა შეისწავლა ამ მწერების კვების წყარო როგორც ბუნებაში, ისე ექს-  
პერიმენტში, პრეციპიტაციის რეაქციის გამოყენებით. შეფასებულია მათი  
ეპიდემიოლოგიური მნიშვნელობა რესპუბლიკში.

# ALIMENTARY CONNECTION OF BLOOD-FEEDING MOSQUITOES OF GEORGIA WITH HOMOIOOTHERMAL AND POIKILOOTHERMAL ANIMALS IN NATURE AND EXPERIMENTS



Sh. G. SICHINAVA

S. Virsaladze Institute of Medical Parasitology and Tropical Medicine, Ministry of Health of the Georgian SSR, Tbilisi, USSR

## Summary

On the basis of the data available in the literature, an epidemiological role of blood-feeding mosquitoes widespread in Georgia as well as outside of it is discussed. By means of the precipitation reaction alimentary sources of these insects have been determined in nature and experiments, and their epidemiological importance has been estimated.

УДК 576.851.49:576.858.9

МИКРОБИОЛОГИЯ

## ИЗУЧЕНИЕ БИОЛОГИЧЕСКИХ ОСОБЕННОСТЕЙ ФАГОВ, ВЫДЕЛЕННЫХ ИЗ ШТАММОВ *S. TYPHIMURIUM*

И. Г. Чиракадзе, Т. Г. Чанишвили

Тбилисский научно-исследовательский институт вакцин и сывороток МЗ СССР

Поступила в редакцию 30.3.1977

Определена частота наличия фагов в штаммах *S. typhimurium*, выделенных в различных местах, которая составила 96% (в 926 из 965 штаммов). Изучение основных таксономических признаков бактериофагов позволило разделить выделенные фаги на 8 морфо-серологических групп. По специфике взаимодействия с клеткой хозяина фаги делятся на умеренные, вирулентные и умеренно вирулентные, что подтверждает широкое распространение в природе — наряду с истинной лизогенезой — явления псевдолизогении среди штаммов *S. typhimurium*.

Феномен лизогении, открытый в 1921 г. Борде и Чиука [9], Гильдемайстером [2], а позднее Бернетом и Мак Ки [10], широко распространен в природе и наблюдается среди различных микроорганизмов, в том числе у сальмонелл, и, в особенности, у *S. typhimurium*. Чрезвычайно высокий процент выделения фагов из штаммов может быть обусловлен не только истинной лизогенизацией клеток умеренными фагами, но также и явлением псевдолизогении, что описано рядом авторов для *E. coli*, *Sh. sonnei* и др. [4, 8, 12]. Как и истинная лизогения, псевдолизогения может влиять на биологические свойства клеток, вызывая различные изменения, в том числе развитие устойчивости к гомологичным и гетерологичным фагам. Образование фагоустойчивости, в свою очередь, обуславливает становление разнообразных лизотипических реакций, что является основой для внутривидовой дифференциации микроорганизмов с помощью метода фаготипирования.

Целью работы, наряду с изучением частоты выделения фагов из штаммов *S. typhimurium* и определением их основных таксономических признаков, являлось уточнение особенностей механизма взаимодействия вируса с клеткой.

### МАТЕРИАЛЫ И МЕТОДЫ

Штаммы *S. typhimurium* были подобраны с учетом их биологических особенностей (биохимические и серологические варианты), а также времени, места и источника выделения. Штаммы были выделены в различных городах и районах Советского Союза (1961—1975 гг.), в ПНР и ЧССР. В качестве эталонного штамма был использован *S. typhimurium* Q, отобранный по признаку высокой фагочувствительности и отсутствию индуцируемого фага. Применение единого для всех получаемых фагов штамма позволяло более наглядно сопоставлять результаты исследований.

Из 952 штаммов *S. typhimurium* было выделено 926 бактериофагов. Высвобождение фагов производилось в основном центрифугированием супернатанта на газон индикаторного штамма, инкубировали и в случае обнаружения фага либо отвивали из негативной колонии, либо — если фаг был нанесен в виде капли — вырезали зону лизиса с последующей элюцией и центрифугированием. Наличие фага было зафиксировано у 96% штаммов. Из 894 штаммов фаги были выделены прямо из культур, а 58 штаммов были подвергнуты воздействию УФ лучей, при этом наличие фагов удалось выявить у 39.

С целью группирования фаги *S. typhimurium* были изучены по основным таксономическим признакам:

1. Морфология негативных колоний (НК) — методом двухслойного агара [12].

2. Структура нуклеокапсида — с помощью электронного микроскопирования [3].

3. Серологические свойства [1].

4. Литический спектр.

У ряда отобранных фагов определялись также устойчивость к температуре, мочевине, УФ лучам, чувствительность к осмотическому шоку и фазы взаимодействия с клеткой (адсорбция, латентный период, средняя урожайность в расчете на 1 клетку).

## РЕЗУЛЬТАТЫ ИССЛЕДОВАНИЯ

**Морфология НК.** Ввиду вариабельности данного признака изучение характера НК проводилось в стандартных условиях. 926 выделенных фагов, отличались большим разнообразием по величине НК, форме, очертанию краев, наличию ореолов и др. и составили, в основном, 8 групп:

I группа (147 фагов) объединяет фаги с точечными мутными НК.

II группа (237 фагов) характеризуется НК размерами 0,2—0,4 мм, мутными по всей поверхности.

III группа (341 фаг) представлена фагами, образующими более крупные НК (1—2 мм), но имеющими в большинстве случаев мутный компактный центр.

IV группа (21 фаг) отличается от предыдущих большими размерами НК (2—3 мм), а также характерным для них ростом вторичной культуры в виде крупных зерен. Фаги II, III и IV групп характеризуются вариабельностью в отношении компактности и величины мутного центра, количества и величины ореолов, очертаний колоний и др.

Остальные группы фагов — V (103), VI (44), VII (18), VIII (15) характеризуются стабильным лизисом, НК — ясные, отличаются как по величине — от точечной (V группа) до 5—6 мм в диаметре (VIII группа), так по очертанию краев и др.

**Морфология фаговых частиц.** Изучение структуры 50 фагов показало, что все они имеют бинальный тип симметрии: обладают головкой и отростком, относятся к III (III<sub>a</sub> и III<sub>b</sub>), IV и V морфологическим типам по классификации Тихоненко А. С. [3].

Для головки фагов характерна гексагональная симметрия, с размерами от 450 до 750 Å по продольной и 450—675 Å по поперечной оси.

Основные различия выявлены в строении отростков. С учетом этих различий фаги разделены на 8 морфологических групп:

Морфологическая группа № 1 содержит 6 фагов, обладающих коротким — 100×150 Å — отростком без базальной пластинки. Фаги отнесены к III<sub>1</sub> морфологическому типу.



Для наиболее обширной морфологической группы № 2 (20 фагов) характерен короткий, величиной  $150-175 \times 175-200$  Å отросток, который заканчивается базальной пластинкой. Размеры головки — 500×550 Å (тип III<sub>2</sub>).

Фаги IV морфологического типа были разделены на 4 группы (№№ 3, 4, 5 и 6).

Группа № 3 — фаги с твердым негнувшимся отростком, длиной — 1000—1200 Å, шириной — 100—150 Å (7 фагов).

Группа № 4 — фаги с длиной отростка 900—1300 Å при ширине 100—150 Å. Отросток гибкий, более или менее изогнутый (8 фагов).

Группа № 5 — длина отростка фагов 1400—1500 Å, ширина — 130—150 Å; отросток изогнут (10 фагов).

Группа № 6 содержит один фаг L, имеющий гибкий изогнутый отросток с размерами 2500×175 Å.

Фаги V морфологического типа, составившие группы № 7 и № 8 (8 фагов) — обладают отростком сложного строения размером 1100×220 Å и головкой 600—700 Å (для группы № 7) и 750—650 Å (для группы № 8). Корреляции между структурой нуклеокапсида и морфологией НК не обнаружено.

**Серологические свойства.** По антигенному строению было изучено 122 фага, которые разделились на 8 групп и 8 подгрупп: Первая группа соответствует морфологическому типу III<sub>1</sub> — 6 фагов; вторая, соответствующая морфологическому типу III<sub>2</sub> — 41 фаг, подразделяется на две подгруппы — 2а и 2в; третья (14 фагов), четвертая (7), пятая (23) и шестая (1) группы по морфологии нуклеокапсида относятся к IV типу. Седьмая и восьмая серологические группы соответствуют V морфологическому типу (5 и 3 фага). Четвертая серологическая группа имеет подгруппы 4а, пятая — подгруппы а, б, с, д и ф.

На основании полученных данных все испытуемые фаги разделены на 8 морфо-серологических групп с подгруппами.

**Литический спектр фагов.** Проверенный на специально подобранным ряде эталонных штаммов *S. typhimurium*, а также в отношении гетерологичных культур рода *Enterobacteriaceae* и некоторых других, литический спектр фагов показал большое разнообразие, вплоть до индивидуальных особенностей отдельных фагов, но, в основном, оказался: узким (отдельные штаммы или их определенные группы), широким (более обширный круг хозяев, также в пределах данного серотипа) или очень широким (охватывающим не только большинство гомологичных, но и гетерологичных видов в пределах рода *Salmonella*).

Исходя из поставленной задачи — изучения особенностей взаимодействия вируса с клеткой и установления природы фагов — были отобраны 30 фагов из 8 основных морфо-серологических групп. При этом особое внимание было удалено признакам (ширина диапазона литического действия, морфология НК — мутная, ясная), позволяющим предварительно и ориентировочно распределить основное количество фагов на умеренные и вирулентные.

### Особенности взаимодействия фага с клеткой.

Для окончательного установления особенностей взаимодействия фага с бактериальной клеткой были применены следующие тесты:

- Способность лизогенизировать клетку;
- развитие фагоустойчивости;

в) репродукция на инактивированных УФ лучами клетках хозяина;  
г) производительность [2, 6, 7, 11].

На основе предварительного изучения взятые из разных морфо-серологических групп бактериофаги были ориентированно разделены на I, II и III группы. В I группу — умеренных — вошли фаги из морфо-серологических групп №№ 1, 2, и 5, обладающие негативными колониями с ясно выраженным ростом лизогенизированной культуры (или в виде мутного разной величины центра, или полностью покрытые вторичным ростом) и характеризующиеся лимитированным кругом хозяев.

Таблица 1

Общая характеристика фагов, отобранных для уточнения особенностей взаимодействия с клеткой и определение возможности индукции при помощи УФ лучей

Фаги	Морфо-серологическая группа	Тип морфологии нуклеокапсида	Серологическая группа	Литический спектр	Разведение АФС	К-во фага на 10 <sup>8</sup> клеток	
						до облучения УФ	после облучения УФ
187 P-220 T-60	№ 1	Ша	1	узкий	1 : 20	5 н/р $1,6 \times 10^1$ $2,7 \times 10^1$	$2 \times 10^3$ $2,6 \times 10^4$ $3,2 \times 10^4$
18 48 52 53 19 ш сан 40 АлVI 2848	№ 2	Шв	2	ограниченный	1 : 50	$4 \times 10^1$ $5,6 \times 10^1$ $3,5 \times 10^1$ $1,2 \times 10^1$ $2,2 \times 10^1$ очень узкий ограниченный широкий	$3,6 \times 10^4$ $2,8 \times 10^4$ $3,2 \times 10^3$ $4 \times 10^4$ $3 \times 10^5$ $3 \times 10^4$ $2,3 \times 10^5$ $6,4 \times 10^4$ $2 \times 10^3$
131 1752 M-190 A-219 A-240	№ 3	IV	3	ограниченный широкий	1 : 20 1 : 100	$3,1 \times 10^2$ $4,8 \times 10^2$ $9,6 \times 10^1$ $2 \times 10^1$ $6 \times 10^1$	$5,2 \times 10^1$ $2 \times 10^1$ 0 $2 \times 10^1$ 0
2198 148 25 8	№ 4	"	4	ограниченный очень широкий	1 : 20 1 : 100	$9,5 \times 10^1$ $6,3 \times 10^2$ $9,6 \times 10^1$ $3,1 \times 10^1$	0 $2 \times 10^1$ $3 \times 10^1$ $2 < 10^1$
АлП 607 Л-72	№ 5	"	5	ограниченный	1 : 50	$7,6 \times 10^1$ $2 \times 10^2$ $3,1 \times 10^1$	$4,5 \times 10^3$ $3,6 \times 10^4$ $2,5 \times 10^4$
Л	№ 6	"	6	"	1 : 100	$5,2 \times 10^1$	$1 \times 10^1$
550 И Е 490	№ 7	V	7	очень широкий широкий очень широкий	" " 1 : 200	$3 \times 10^2$ $8 \times 10^1$ 0	$0,1 \times 10^1$ 0 0
Лм	№ 8	"	8	ограниченный	1 : 100	$2 \times 10^1$	0



Фаги морфо-серологических групп №№ 7 и 8 были отнесены к вирулентным — ясная НК без роста вторичной культуры, широкий или очень широкий диапазон литического действия (II группа).

Фаги морфо-серологических групп №№ 3, 4, 6 занимали промежуточное положение и составили III группу; часть фагов, например, 131, 146, А-240, А-219, имела НК с ясным дном, фаги Л и Лм характеризовались мутной НК; по кругу хозяев данные фаги также несколько отличались от других — диапазон литического действия более ограничен, чем у фагов II группы, но более стабилен по сравнению с фагами I группы.

### a) Способность лизогенизировать бактериальные клетки.

Известно, что лизогенизация чувствительных бактериальных клеток умеренным фагом приводит к появлению у бактерий новых свойств — иммунитет и способность продуцировать данный фаг. Способность лизогенизировать является одним из главных показателей умеренной природы бактериофагов, а присутствие умеренного фага в клетке подтверждает истинную лизогенность штамма — носителя фага.

В табл. 1 приведены результаты некоторых опытов. Как видно из таблицы, I группа фагов (187, 220, 18, 48, III «сан», 19 и др.), заражая индикаторный штамм *S. typhimurium* Q, вызывала образование истинно лизогенных систем. Это явствует из того, что полученные фагоустойчивые клоны, обработанные безусловно нейтрализующей дозой специфической антифаговой сыворотки (АФС), показали наличие фага, а после индуцирования УФ лучами количество фага повышалось на 2, 3 и более порядков. Выделенные фаги по основным таксономическим признакам оказались идентичными лизогенизирующему фагу.

Фаги II группы (550, И, Е<sub>1</sub>) не проявляли способности лизогенизировать — ни в обработанных АФС центрифугатах, ни после их облучения наличие фага выявить не удалось.

Что касается фагов III группы, они образовывали фагоустойчивые клоны, которые после обработки АФС продолжали выделять фаги, хотя и в меньшем количестве. При облучении УФ лучами такие фаги, однако, не индуцировались, чем отличались от фагов I группы.

Данное явление можно объяснить образованием временных комплексов фаг-бактерия: фаги проникают в клетки и сохраняются внутри них и, хотя в хромосоме они не интегрированы, тем не менее действию АФС не подвержены. При распаде комплекса (для разных систем время распада разное) фаги в обработанных АФС центрифугатах не обнаруживаются. В некоторых случаях временные комплексы сохранялись в течение 18—24—48 часов.

### 6) Определение механизма развития фагоустойчивости.

Изучение механизма фагорезистентности, проведенное с помощью адсорбции, также показало разницу между тремя группами фагов: как следовало ожидать, фаги I группы, способные лизогенизировать бактериальные клетки, нормально адсорбировались на соответствующих фагоустойчивых клонах, однако репродуцироваться не могли.

В табл. 2 приводятся результаты изучения адсорбции и репродукции фагов разных групп на соответствующих фагоустойчивых клонах. Как видно из таблицы, константа скорости адсорбции фагов I группы в среднем равнялась  $5,4 \cdot 10^{-10} - 6,1 \cdot 10^{-10}$  мин<sup>-1</sup>, т. е. практически не отличалась от констант, полученных при адсорбции фагов на нелизогенизированном штамме-хозяине —  $3 \cdot 10^{-10} - 6 \cdot 10^{-10}$  мин<sup>-1</sup>. Следовательно, фагоустойчивость лизогенизированных клонов Q (187),

Q (52), Q (53), 3(18), 3(48) и др. не была вызвана отсутствием специфических фаговых рецепторов, а являлась следствием истинной лизогенизации бактериальной клетки. Интеграция лизогенизирующего фага в бактериальную хромосому и соответственные изменения генет-

Таблица 2

Адсорбция и репродукция *S. typhimurium* фагов на фагоустойчивых штаммах и производительность фагов разных групп

Фаги	Способность лизогенизироваться	Фагоустойчивые штаммы	Адсорбция (мл/мин <sup>-1</sup> )	Репродукция	Количество фага во времени			Контроль фага на индикаторном штамме
					2 ч	6 ч	18 ч	
187 P-220 T-60	+	Q (187)	$3,6 \times 10^{-9}$	0	38	30	21	500
	+	Q (220)	"	0	45	28	4	"
	+	Q (60)		0				
18	+	Q (18)	$2,6 \times 10^{-9}$	0	28	27	35	500
48	+	Q (48)	$4,6 \times 10^{-9}$	0	24	30	26	505
52	+	Q (52)	$5,8 \times 10^{-10}$	0	10	23		96
53	+	Q (53)	$5,2 \times 10^{-10}$	0	12	18	"	87
19	+	Q (19)	$6,1 \times 10^{-10}$	0	25	25	14	100
ш	+	Q (ш)	$5,8 \times 10^{-10}$	0	9	7	9	100
сан	+	Q (сан)	$5,4 \times 10^{-10}$	0	10	15	14	70
40	+	Q (40)	$9,4 \times 10^{-9}$	0				
АлVI	+	Q (VI)	$2,3 \times 10^{-10}$	0				
2848	+	Q (2848)	$1,1 \times 10^{-10}$	0				
131	—	Q/131	0	$1 \times 10^2$	71	84	80	476
1752	—	Q/1752	0	0	68	66	71	510
M-190	—	Q/190	0	0	80	80	70	500
A-219	—	Q/219	0	$2,4 \times 10^2$	105	100	96	462
A-240	—	Q/240	0	$1,0 \times 10^2$	110	98	101	482
2198	—	Q/2198	0	0	68	69	73	490
148	—	Q/148	0	0	105	100	93	470
25	—	Q/25	0	0	112		89	510
8	—	Q/8	0	0	113	"	73	505
АлП	+	Q (П)	$6,4 \times 10^{-10}$	0	21	22	23	480
607	+	Q (607)	$4,6 \times 10^{-9}$	0	20	21	3	50
Л-72	+	Q (72)	$3,5 \times 10^{-10}$	0				
Л	—	Q/Л	0	0	126	84	50	500
550	—	Q/550	0	0	200	$4 \times 10^3$	$1 \times 10^5$	
И	—	Q/И	0	0	82	$4 \times 10^2$	$1 \times 10^3$	490
E	—	Q/E	0	0	25	$1 \times 10^2$	$8 \times 10^3$	480
490	—	Q/490	0	0	105	$1 \times 10^3$	$1,2 \times 10^4$	530
Лм	—	Q/Лм	0	0	101	115		500

тических процессов клетки, обусловливающих под влиянием образовавшегося репрессора создание специфической невосприимчивости к инфицируемому фагу, т. е. иммунитета, также подтверждают умеренную природу фагов I группы. Из данных таблицы № 2 следует, что все остальные фаги, т. е. II и III группы, не обладали способностью адсорбироваться на соответствующих фагоустойчивых клонах.

Для фагов II группы отсутствие репликации на фагоустойчивых клонах заключается в изменении специфического рецепторного аппарата, что, в свою очередь, является результатом спонтанного мутационного процесса. Фаг же играет роль селективного фактора.

Фаги III группы не адсорбируются на фагорезистентных бактериях. Механизм фагоустойчивости в данном случае аналогичен таковому у фагов II группы. Тем не менее, в определенных случаях некоторые фаги, такие как 131, А-219, А-240, все же репродуцируются, образуя небольшое количество зрелых частиц. Это, видимо, объясняется частичной реверсией единичных мутантных клеток в фагосенсибильный дикий тип, на котором и происходит репродукция данных фагов.

### в) Репродукция на инактивированных УФ лучами клетках хозяина (производительность)

Установлено, что фаги I и III групп не способны репродуцироваться на инактивированных УФ лучами бактериях. Например, для фагов 187, 220, 18, 48, 52 и др. количество фаговых частиц после 18-часового инкубирования уменьшалось по сравнению с контролем на 3 порядка вследствие адсорбции без репродукции. В отличие от них, фаги II группы показали возможность репродукции на инактивированных УФ лучами клетках хозяина — по сравнению с контролем число фаговых частиц возрастало на 1—2 порядка.

## ОБСУЖДЕНИЕ

Выделенные фаги укладываются в схему, предложенную Т. Г. Чанишвили [5] для разделения умеренных и вирулентных дизентерийных фагов, и делятся на 3 группы:

1. **Умеренные фаги** — фаги, обладающие мутной НК, узким диапазоном литического действия, нестабильным характером лизиса, лизогенизирующие, индуцирующие, вызывающие развитие устойчивости клетки в результате образования иммунитета, не обладающие свойством автономной репликации и поэтому не способные размножаться на инактивированных УФ лучами клетках хозяина и вызывать лизис без размножения.

2. **Вирулентные фаги** — характеризуются прозрачной НК, широким или очень широким диапазоном литического действия, стабильным лизисом, не способны лизогенизировать; развитие устойчивости — результат потери клеткой фагового рецептора, что обусловлено спонтанным мутационным процессом. Фаги независимы от генома клетки-хозяина и, следовательно, способны к репродукции на клетках, инактивированных УФ лучами, и подавляют геном бактерии-хозяина.

3. **Умеренно-вирулентные фаги** имеют различные НК — прозрачную с чистым дном, или прозрачную с мутным центром, либо с ростом вторичной культуры в виде зерен. Диапазон литического действия — ограниченный или широкий. Фаги не способны вызывать истинную лизогенизацию клетки, но, в отличие от вирулентных, в ряде случаев образуют так называемые временные комплексы; зависят при репродукции от генома хозяина.

Таким образом, среди штаммов *S. typhimurium*, кроме широко распространенного явления истинной лизогении, наблюдается также псевдолизогения. При этом псевдолизогенные штаммы могут выделять как вирулентные, так и умеренно-вирулентные фаги, но механизмы их сохранения в популяции должны быть разными. Вирионы вирулентных фагов в популяции устойчивых к данному фагу микроорганизмов сохраняются, по-видимому, за счет репродукции на фагочувствительных



ревертантах. Умеренно-вирулентные же фаги могут сохраняться как за счет высокой частоты реверсии фагочувствительности у клеток хозяина, так и в результате образования длительных комплексов, когда фаг может находиться внутри клетки в течение определенного времени, не интегрируясь при этом в геном хозяина.

## ЛИТЕРАТУРА

1. Адамс М. Бактериофагия, ИЛ, М., 1961, 325—459.
2. Стент Г. Молекулярная биология вирусов бактерий, «Мир», М., 1955, 304—356.
3. Тихоненко А. С. Ультраструктура вирусов бактерий, «Наука», М., 1968, 29—83.
4. Чанишвили Т. Г., Чанишвили Л. Г. Журн. микробиол., 10, 120—124, 1973.
5. Чанишвили Т. Г. Труды Тбилисского государственного университета, 130, 67—75, 1968.
6. Anderson T. F. J. Bacteriol., 56, 403—410, 1948.
7. Benzer S., Jacob F. Ann. Inst. Pasteur., 84, 186—204, 1953.
8. Bertani G. Adv. in Virus Res., 5, 151—193, 1958.
9. Bordet I., Ciucă M. C. R. Soc. Biol., 84, 276—281, 1921.
10. Burnet F. M., McKie M. J. Path. Bact., 36, 299—306, 1933.
11. Fraser D. Virology, 3, 527—553, 1957.
12. Gratia A. Ann. Inst. Pasteur., 57, 652—694, 1936.

*S. typhimurium* — შტამიბილან გამოყოფილი ფაგების  
ბიოლოგიურ თავისებურებათა შესწავლა

ი. ჩირაკაძე, თ. ჭავჭავაძე

სსრ ჯანდაცვის სამინისტროს თბილისის ვაქცინებისა და შრატების  
სამეცნიერო-კვლევითი ინსტიტუტი

რეზიუმე

დადგნილია, რომ *S. typhimurium*-ის სხვადასხვა ადგილას გამოყოფილი 965 შტამიდან 926 (ე. ი. 96%) შეიცავს ბაქტერიოფაგს. შესწავლილია ამ ფაგების ძირითადი ტაქსონომიკური ნიშნები, რომელთა მიხედვით ისინი დაყოფილია 8 მორფო-სეროლოგიურ ჯგუფად. პატრონ-უჯრედთან ურთიერთ-ქმედების სპეციფიკის თვალსაზრისით შესწავლილი ფაგები იყოფა ზომიერ, ვიზუალურ და ზომიერ-ვიზუალურ ტაქცებად, რაც იმის მანიშნებელია, რომ ჰეშმარიტ ლიზოგენისთან ერთად ბუნებაში ფსევდოლიზოგენის მოვლენაც ფართოდ არის გაერცელებული.

## STUDY OF BIOLOGICAL PECULIARITIES OF PHAGES ISOLATED FROM THE STRAINS OF *S. TYPHIMURIUM*

I. G. CHIRAKADZE, T. G. CHANISHVILI

The Tbilisi Institute of Vaccines and Sera, Ministry of Health of the USSR

Summary

The frequency of the occurrence of phages *S. typhimurium* strains isolated from different places, amounting to 96% (926 out of 965 strains),

has been determined. The main taxonomic properties of the isolated phages, according to which they fall into 8 morpho-serological groups, were studied. According to the specificity of interaction with the host cell, phages may be subdivided into temperate, virulent and temperate-virulent. This indicates that among *S. typhimurium* strains, apart from genuine lysogeny, the phenomenon of pseudo-lysogeny is widely spread in nature.

УДК 547.96

БИОФИЗИКА

## ВЛИЯНИЕ ТЕМПЕРАТУРЫ И КОНЦЕНТРАЦИИ АТФ НА СУПЕРПРЕЦИПИТАЦИЮ И АТФАЗНУЮ АКТИВНОСТЬ НАТУРАЛЬНОГО АКТОМИОЗИНА (МИОЗИНА В) КАРПА

Л. Г. Ломидзе, Н. А. Гачечиладзе, М. М. Заалишвили

Институт физиологии им. И. С. Бериташвили АН ГССР, Тбилиси

Поступила в редакцию 3.2.1977

Изучена зависимость скоростей суперпреципитации и АТФазной реакции натурального актомиозина (миозина В) поперечнополосатой мышцы карпа от температуры и концентрации АТФ. Показано, что оптимумы скоростей суперпреципитации и АТФазной реакции находятся соответственно в интервалах температур 20—30°C и 25—30°C. Скорости суперпреципитации и АТФазной реакции возрастают с увеличением концентрации АТФ до  $10^{-3}$  М. Определены значения некоторых термодинамических параметров для АТФазной реакции миозина В: изменение стандартной свободной энергии  $\Delta F^\circ$ , стандартной энталпии  $\Delta H^\circ$ , стандартной энтропии  $\Delta S^\circ$  при разных температурах, а также вычислена энергия активации этого ферментативного процесса.

Известно, что возможность осуществления любой биохимической реакции определяется изменением свободной энергии. Процесс сокращения мышцы является эндергоническим и может быть осуществлен сопряженным с ним экзергоническим процессом. Такой является реакция расщепления АТФ. Энергия, аккумулированная в макроэргической фосфатной связи, должна перейти на молекулу актомиозина без дислокации, вызывая тем самым структурные изменения сократительного белка. При этом, термодинамические условия требуют переноса не только энергии, но и вещества, т. е. фосфорилирования сократимого белкового комплекса. Процессу фосфорилирования необходимы ионы магния [2].

Реакция расщепления АТФ сократительным белком мышцы — актомиозином является фермент-субстратной реакцией, которая следует кинетике Михаэлиса-Ментена [6, 7, 8, 9].

В данной работе мы задались целью изучить влияние температуры и концентрации АТФ на суперпреципитацию и АТФазную активность миозина В рыбы, а также изучить зависимость скорости АТФазной реакции миозина В от концентрации субстрата при разных температурах и охарактеризовать данную реакцию с энергетической точки зрения, в частности вычислить значения энергии активации, изменения свободной энергии, энталпии и энтропии для описанной ферментативной реакции.

### МЕТОДИКА

Миозин В получали по методу Сент-Дьердьи [4] из мышц рыбы. В отличие от миозина В кролика, миозин В из мышц рыбы получали 2-часовой экстракцией. Измерения производили при ионной силе 0,05.

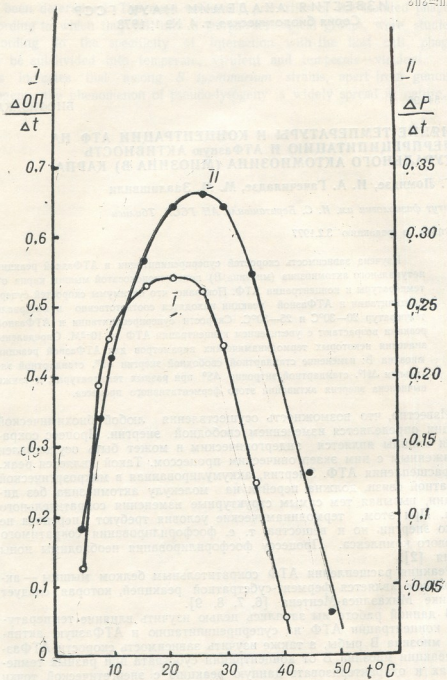


Рис. 1. Зависимость скоростей суперпреципитации (I) и АТФазной реакции (II) миозина В карпа от температуры. На оси абсцисс — значения температуры, на осях ординат — слева — скорость суперпреципитации  $\left( \frac{\Delta \text{OP}}{\Delta t} \right)$  в  $\lg I_0/I/c$ , справа — скоп.

рость АТФазной реакции ( $\frac{\Delta P}{\Delta t}$  в мкгР/с). Реакционная смесь (10 мл) содержала  $10^{-4}$  М  $MgCl_2$ ,  $10^{-1}$  М АТФ, 5 мг актомиозина, pH 7,5

Суспензию миозина В перед экспериментом гомогенизировали в стеклянном гомогенизаторе. В опытах использовали динатриевую соль АТФ (98%). Измерения производили на специальной установке [1].

### ПОЛУЧЕННЫЕ РЕЗУЛЬТАТЫ И ИХ ОБСУЖДЕНИЕ

На рис. 1 представлена зависимость скоростей суперпреципитации (I) и АТФазной реакции (II) миозина В карпа от температуры при постоянной концентрации  $Mg^{++}$ -АТФ ( $10^{-4} M$ ). Как видно из рисунка, скорость суперпреципитации, начиная с  $5^{\circ}C$  возрастает и достигает максимума в интервале  $15-25^{\circ}C$  ( $\frac{\Delta P}{\Delta t} = 0,52$ ). При последующем повышении температуры скорость суперпреципитации быстро падает и при  $42^{\circ}C$  доходит до нуля. Скорость АТФазной реакции, начиная с  $5^{\circ}C$ , также возрастает, но достигает максимального значения в интервале более высокой температуры  $30^{\circ}C$  ( $\frac{\Delta P}{\Delta t} = 0,33$ ), затем она постепенно

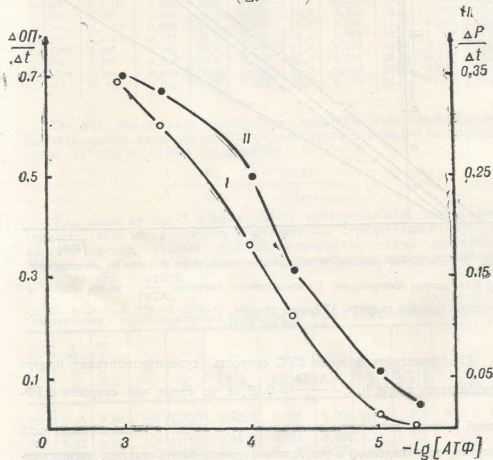


Рис. 2. Зависимость скоростей суперпреципитации (I) и АТФазной реакции (II) миозина В карпа от концентрации АТФ. Условия и обозначения см. на рис. 1

падает и при  $50^{\circ}C$  доходит до нуля. Несмотря на то, что при  $15^{\circ}C$  скорость АТФазной реакции отличается от максимального значения, су-

перпреципитация протекает с максимальной скоростью. Это, возможно, указывает на то, что для осуществления суперпреципитации вовсе не обязательно использование механохимической системой всей энергии, выделяемой при расщеплении АТФ.

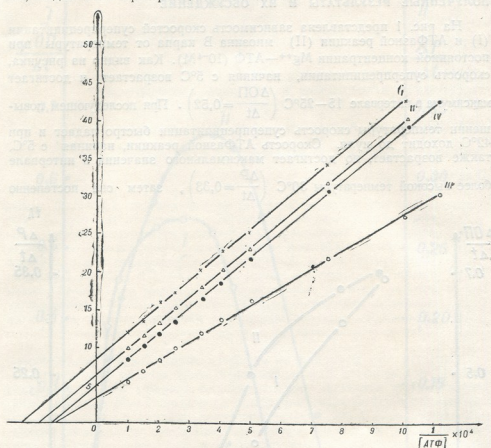


Рис. 3. Зависимость скорости АТФазной реакции миозина В карпа от концентрации АТФ при разных температурах. На оси абсцисс — значение  $\frac{1}{[ATF]}$ , на оси ординат — обратная величина скорости АТФазной реакции (1—9°C, 2—16°C, 3—21°C, 4—30°C). Условия см. на рис. 1

При температуре выше 25°C скорость суперпреципитации быстро уменьшается и при 40°C  $\frac{\Delta OP}{\Delta t} = 0,05$ , в то время как скорость АТФазной реакции достаточно высокая —  $\left(\frac{\Delta P}{\Delta t} = 0,22\right)$ . Таким образом, часть энергии, освобожденной в результате ферментативной реакции, диссириуется без выполнения механической работы.

На рис. 2 показана зависимость скоростей суперпреципитации и АТФазной реакции миозина В от концентрации субстрата. Из рисунка видно, что скорости суперпреципитации и АТФазной реакции возрастают с увеличением концентрации АТФ до  $10^{-3}$ М и соответственно дости-

гают при этом  $\frac{\Delta \text{ОП}}{\Delta t} = 0,7$  и  $\frac{\Delta \text{Р}}{\Delta t} = 0,35$ . При концентрации, большей, чем  $10^{-5}$  М, скорости существенно уменьшаются в результате растворения белка.

На рис. 3 представлена зависимость обратной величины скорости АТФазной реакции миозина В рыбы от обратной величины концентрации субстрата при разных температурах.

Таблица 1  
Зависимость скорости АТФазной реакции миозина В от концентрации субстрата

[АТФ] М	$\frac{1}{[\text{АТФ}]}$	T=281°K		T=289°K		T=293°K		T=303°K	
		V $\frac{\text{мкг}}{\text{с}}$	P $\frac{1}{\text{V}}$						
1·10 <sup>-4</sup>	1·10 <sup>4</sup>	0,098	9,0	0,100	10,0	0,187	5,5	0,125	8,1
7·10 <sup>-5</sup>	1,4·10 <sup>4</sup>	0,082	12,2	0,086	11,7	0,150	6,6	0,100	10,0
5·10 <sup>-5</sup>	2·10 <sup>4</sup>	0,060	16,6	0,080	13,0	0,120	8,1	0,0811	12,0
4·10 <sup>-5</sup>	2,5·10 <sup>4</sup>	0,056	17,8	0,064	15,6	0,090	11,1	0,080	12,0
3·10 <sup>-5</sup>	3,3·10 <sup>4</sup>	0,047	21,0	0,051	19,6	0,081	12,5	0,060	17,0
2,5·10 <sup>-5</sup>	4·10 <sup>4</sup>	0,042	24,0	0,047	21,3	0,055	18,0	0,055	18,0
2·10 <sup>-5</sup>	5·10 <sup>4</sup>	0,034	29,0	0,043	23,0	0,051	20,0	0,047	21,0
1·4·10 <sup>-5</sup>	7·10 <sup>4</sup>	0,030	33,0	0,038	26,0	0,045	22,0	0,030	33,0
1·10 <sup>-5</sup>	10·10 <sup>4</sup>	0,021	47,0	0,025	40,0	0,039	24,0	0,025	40,0

Так как эта реакция подчиняется кинетике Михаэлиса-Ментена [5], зависимость скорости данной ферментативной реакции от концентрации субстрата дается по формуле

$$\frac{1}{V} = \frac{K_m}{V_{\max}} \cdot \frac{1}{[s]} + \frac{1}{V_{\max}}. \quad (1)$$

Как видно из рис. 3 и формулы (1), означенная зависимость представляет собой прямую, которая отсекает на отрицательной части оси абсцисс отрезок, равный обратной величине константы Михаэлиса-Ментена  $K_m$ , а на оси ординат — обратную величину максимальной скорости данной реакции.

Таблица 2  
Кинетические и термодинамические параметры АТФазной реакции миозина В карпа

T°K	$\frac{1}{T} \times 10^{-3}$	$K \times 10^{-4}$ М	$K \times 10^4$	$\lg K$	$V_{\max} \frac{\text{мкг}}{\text{с}}$	$P \frac{1}{\text{V}}$	$V_0 \frac{\text{мкг}}{\text{с}}$	$P \frac{1}{\text{V}}$	$-\lg V_0$	$-\Delta F^\theta \frac{\text{Дж}}{\text{моль}}$	$\Delta S^\theta \frac{\text{Дж}}{\text{моль}}$	$-\Delta H^\theta \frac{\text{Дж}}{\text{моль}}$	$A \frac{\text{Дж}}{\text{Кель}}$
281	3,55	0,45	2,2	4,3617	0,11	0,098	1,008	5,68	2,2	5,06	2,6	2,3	6,5
289	3,46	0,55	1,8	4,2510	0,14	0,120	0,920	5,74	2,6	—	—	2,2	—
294	3,41	0,66	1,5	4,1769	0,33	0,187	0,750	5,77	—	—	—	2,2	—
303	3,30	0,66	1,5	4,1769	0,20	0,125	0,085	5,76	—	—	—	—	—

В табл. 1 и 2 даны величины скоростей, концентрации субстрата, констант Михаэлиса и максимальных скоростей при разных температурах.



Как видно из таблицы, при температуре 21°C, при которой скорость АТФазной реакции максимальна,  $K_m$  имеет максимальное значение. Исходя из определения  $K_m$ , это означает, что скорость АТФазной

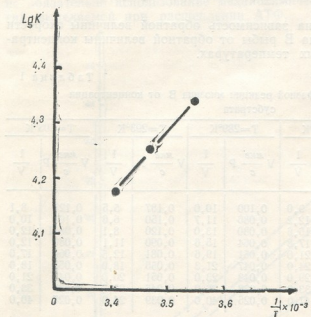


Рис. 4. Зависимость константы скорости АТФазной реакции миозина В карпа от температуры. На оси абсцисс —  $\frac{1}{T}$ , на оси ординат —  $\lg K$

реакции достигает половины максимального значения при более высокой концентрации субстрата, чем при других температурах.

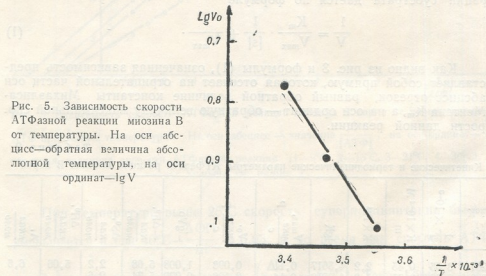


Рис. 5. Зависимость скорости АТФазной реакции миозина В от температуры. На оси абсцисс — обратная величина абсолютной температуры, на оси ординат —  $\lg V$

Исходя из соотношения константы равновесия реакции и константы Михаэлиса  $K = \frac{1}{K_m}$ , мы вычислили изменение стандартной свободной энергии при разных температурах по формуле

$$\Delta F^0 = -2,303 RT \lg K^0. \quad (2)$$

Полученные значения  $\Delta F^\circ$  показаны в табл. 2. Для вычисления изменения стандартной  $\Delta H^\circ$  по формуле

$$\Delta H^\circ = RT^2 \frac{d(\ln K^\circ)}{dT} \quad (3)$$

был построен график зависимости  $\ln K$  от обратной величины абсолютной температуры. Эта зависимость показана на рис. 4. Оказалось, что

$$\Delta H^\circ = -5,6 \frac{\text{ккал}}{\text{моль}}.$$

Для того, чтобы произошла та или иная реакция, молекулы реагентов должны получить определенную энергию для преодоления определенного энергетического барьера (3). Эта дополнительная энергия (энергия активации) дается по формуле

$$A = -2,3 R \frac{d(\ln V)}{d\left(\frac{1}{T}\right)}. \quad (4)$$

Энергия активации, вычисленная исходя из зависимости начальной скорости АТФазной реакции от обратной величины абсолютной температуры  $\ln V = f\left(\frac{1}{T}\right)$ , дана в табл. 2. Она равна  $A = 6,6 \frac{\text{ккал}}{\text{моль}}$  (см. также рис. 5). Значения изменения энтропии, вычисленные по формуле  $\Delta F = \Delta H - T\Delta S$ , приведены в табл. 2.

## ЛИТЕРАТУРА

- Гачечиладзе Н. А., Заалишвили М. М. Сообщения АН ГССР, **59**, 3, 693—696, 1970.
- Заалишвили М. М. Физико-химические основы мышечной деятельности, «Мецниреба», Тбилиси, 1971, 92—94.
- Мартин Р. Введение в биофизическую химию, «Мир», М., 1966, 23—30.
- Сент-Дьердьи А. О мышечной деятельности, «Медгиз», М., 1947, 98—100.
- Фичини Ж., Депезе Ж. К. Основы физической химии, «Мир», М., 1972, 153—156.
- Green J., Mommaerts W.F. H. M. J. Biol. Chem., **210**, 695—698, 1954.
- Nihei T., Topomura Y. J. Biochem. (Tokyo), **46**, 305—311, 1959.
- Topomura Y., Watanabe S. J. Biochem. (Tokyo) **4**, 403—410, 1953.
- Watanabe S., Topomura Y., Shiokawa H. J. Biochem. (Tokyo), **40**, 387—394, 1953.

თემპორატურისა და ატფ-ის კონცენტრაციის გავლენა გოგრის  
ნატურალური აქტომიოზის (მიოზის B) სუპერინციპიტაციასა  
და ატფაზურ აქტივობაზე

ლ. ლომიძე, გ. გაჩიჩილაძე, გ. ჭავჭავაძე

საქართველოს სსრ მეცნიერებათა აკადემიის ა. ბერიტაშვილის სახელმისამართის  
ფიზიოლოგიის ინსტიტუტი, თბილისი

რეზიუმე

შესწავლითა კობრის განივზოლიანი კუნთის ნატურალური აქტომიოზის  
(მიოზის B) სუპერინციპიტაციისა და ატფაზური რეაქციის სიჩქარეების

დამოკიდებულება ტემპერატურაზე და ატფ-ის კონცენტრაციაზე. ნაჩვენებოდა რომ სუპერპრეციპიტაციისა და ატფაზური რეაქციის სიჩქარეთა მეტსიმულური მოთავსებულია შესაბამისად ტემპერატურების ინტერვალში 20—30°C და 25—30°C. სუპერპრეციპიტაციის და ატფაზური რეაქციის სიჩქარეები იზრდება ატფ-ის კონცენტრაციის ზრდით  $10^{-3}$  M-მდე. გამოთვლილია მონიკინ B ატფ-აზური რეაქციისათვის ზოგიერთი თერმოდინამიკური პარამეტრების მნიშვნელობები: სტანდარტული თავისუფალი ენერგიის  $\Delta F^\circ$ , სტანდარტული ენტალპიის  $\Delta H^\circ$  და სტანდარტული ენტროპიის  $\Delta S^\circ$  ცვლილებები სხვადასხვა ტემპერატურაზე, აგრეთვე გამოთვლილია მათ ფერმენტულ პროცესისათვის აქტივურის ენერგია.

## THE INFLUENCE OF TEMPERATURE AND ATP CONCENTRATION ON THE SUPERPRECIPITATION AND ATPase ACTIVITY OF CARP NATURAL ACTOMYOSIN (MYOSIN B)

L. G. LOMIDZE, N. A. GACHECHILADZE, M. M. ZAALISHVILI

I. S. Beritashvili Institute of Physiology, Georgian Academy of Sciences, Tbilisi, USSR

### Summary

The dependence of the superprecipitation rate and the rate of ATPase reaction of natural actomyosin (myosin B) from carp striate muscle upon the temperature and ATP concentration was studied. The optimum rate of superprecipitation and ATPase reaction was shown to range 20—30°C and 25—30°C, respectively. The rate of superprecipitation and ATPase reaction increased with the increase of ATP concentration up to  $10^{-3}$  M. The values of some thermodynamic parameters for ATPase reaction of myosin B: change in standard free energy ( $\Delta F^\circ$ ), standard enthalpy ( $\Delta H^\circ$ ), standard entropy ( $\Delta S^\circ$ ) were determined at different temperatures and activation energy of this fermentative process was also calculated.

УДК 547.963.3

МОЛЕКУЛЯРНАЯ БИОЛОГИЯ

## ДЕЙСТВИЕ ЯДЕРНЫХ ФАКТОРОВ ПЕЧЕНИ И ПОЧКИ КРЫС НА КОЛИЧЕСТВО ДНК В ЯДРАХ ГОМОЛОГИЧНЫХ ТКАНЕЙ

М. С. Иобадзе, К. М. Джандиери, П. В. Челидзе, Г. Д. Туманишвили

Институт экспериментальной морфологии им. А. Н. Натишвили АН ГССР,  
Тбилиси

Поступила в редакцию 21.2.1977

Изучались количественные изменения ДНК в ядрах печени и почки в различные сроки после введения животным ядерной фракции гомологичных тканей. Параллельно проводили ультраструктурные исследования состояния ДНП-комплексов клеточных ядер.

На 24-й ч после однократного введения ядерной фракции в ядрах печени происходит разрушение 23% ДНК. При однократном введении ядерной фракции гомогената печени через 48 ч, так же как и после двукратного введения, наблюдается восстановление исходного количества ДНК. Эти изменения сопровождаются исчезновением компактных сегментов хроматина к 24 ч после введения ядерной фракции. К 48 ч опыта они вновь появляются.

Сходным образом реагирует на введение ядерной фракции почечная ткань, причем процент разрушения здесь достигает 43 и восстановление исходного количества ДНК происходит на 3-й день после однократного введения.

Полученные результаты указывают на существование лабильной формы ДНК в клетках печени и почки. Лабильная ДНК, по всей вероятности, локализуется в гетерохроматиновых участках хромосом.

За последнее время накопилось значительное количество данных, указывающих на то, что количество ДНК в ядрах клеток не является стабильным. Очевидно, в состав интерфазного хроматина входят и лабильные формы ДНК, разрушение которых может происходить, не вызывая при этом в клетках серьезных повреждений [6].

В опытах, проведенных на куриных зародышах и гомогенатах печени и почки крысы, были получены данные, указывающие на существование ядерного фактора, ускоряющего разрушение ДНК в ядрах соответствующих клеток [3, 5, 18]. Было установлено, что фактор, вызывающий разрушение ДНК, обнаруживает тканеспецифичность и экстрагируется из ядер 0,14 M NaCl [3].

Помимо этого, уже сообщалось, что действие ядерного фактора проявляется не только в опытах на зародышах и на выделенном хроматине [2], но и при воздействии на печень интактных крыс [6].

Целью настоящей работы являлись биохимические и ультраструктурные исследования количественных изменений ДНК, а также состояния ДНП-компонентов ядра в печени и в почке крыс при воздействии на последних ядерными факторами соответствующего органа. Кроме того, для выяснения вопроса о тканеспецифичности данного эффекта, исследовались количество и состояние ДНК в органах, негомологичных введенной ядерной фракции.

## МАТЕРИАЛ И МЕТОДИКА

Опыты проводились на белых беспородных крысах и мышах. Донорами служили крысы весом 200—250 г и мыши весом 16—18 г, а реципиентами — крысы весом 100—110 г и мыши 16—20 г. Крысам реципиентам подкожно вводили по 1 мл ядерной фракции гомогената печени и почки, мышам же 0,3 мл ядерной фракции гомогената печени. С целью получения ядерной фракции ядра выделялись по методу Берте и Де Дюва [10]. Осадок, содержащий ядра, разбавляли раствором 0,14 М NaCl в соотношении 1:2.

Для исследования соответствующего органа животные забивались декапитацией, печень и почки перфузировались 0,14 М NaCl, орган извлекали, высушивали на фильтре, после чего часть органа брали для электронно-микроскопических исследований, а в оставшейся его части проводили биохимические определения.

Для биохимических исследований ядра выделялись по методу Шово [11]. Ткань гомогенизировалась в 2,2 М сахарозе при отношении веса ткани к объему растворителя равном 1:9. Гомогенат фильтровали через четыре слоя марли и центрифугировали в течение 40 мин при факторе разделения 16000 g. Осадок ресуспензировали в 2,2 М сахарозе и вновь центрифугировали при 16000 g в течение 25 мин. Ядра ресуспензировали в 1 мл 0,25 М лимонной кислоты. Количество ДНК определяли по Цаневу и Маркову [8] в 0,5 мл суспензии. Для подсчета ядер в камере Горяева суспензия разбавлялась в десять раз лимонной кислотой.

Всего использованы 233 крысы и 10 мышей. Число животных, использованных в различных вариантах опытов, приведено в таблице.

В некоторых случаях проводили цитофотометрические измерения относительного количества ДНК в ядрах печени крыс. Для этого приготавливали мазки, которые окрашивали по Фельгену. Гидролиз проводили в 1N HCl в течение 5 мин при +60°C.

Ядра печени мышей цитофотометрически не исследовались, поскольку они были достаточно тщательно изучены ранее [7, 17, 18].

Для электронно-микроскопических исследований ткань измельчали в капле фиксатора на поверхности алюминиевого стакана, заполненного льдом. Фиксация проводилась в течение 2-х часов в 2,5%-ном растворе глютарового альдегида на 0,1 М фосфатном буфере, pH 7,4. После двукратного промывания в чистом буфере материал помещался для дофиксации на 2 ч в 1—2%-ный раствор четырехокиси осмия, подготовленный на том же буфере. Обе стадии фиксации проводили при 4°C. Обезвоженный в спиртах и ацетоне материал заливали в Эпон-812. Ультратонкие срезы толщиной 500—600 Å° приготавливали на ультратоме LKB-III.

Окрашивание проводили в процессе обезвоживания кусочков 2%-ным раствором уранилацетата в 70%-ном спирте. Повторное контрастирование ультратонких срезов цитратом свинца по методу Рейнольдса длилось 5—10 мин, после чего отсушенные сетки просматривали под электронным микроскопом «Tesla BS 500» при ускоряющем напряжении 60 кВ.

## РЕЗУЛЬТАТЫ

Результаты биохимического исследования приведены в таблице, из которой видно, что через 24 ч после введения крысам ядерной фракции гомогената печени среднее количество ДНК на ядро уменьшается на 23%, достигая  $5,2 \pm 0,6$  пкг на ядро, в то время как в печени интактных крыс эта величина равна  $6,8 \pm 0,5$  пкг. При однократном введении

нии ядерной фракции гомогената печени через 48 ч происходит восстановление среднего количества ДНК на ядро до  $6,3 \pm 0,5$  пкг.

При двукратном введении ядерной фракции гомогената печени, то есть через 48 ч, в печени крыс наблюдается повышение среднего количества ДНК на ядро до  $7,6 \pm 0,5$  пкг.

После семидневного введения количество ДНК на ядро понижается до  $3,8 \pm 0,5$ , оставаясь пониженным на 12-й день опыта ( $3,8 \pm 0,5$  пкг).

Аналогичный результат получен в экспериментах на почках. Среднее количество ДНК на ядро интактных крыс соответствует  $7,8 \pm 0,9$  пкг, тогда как после введения ядерной фракции гомогената гомологичного органа, среднее количество ДНК на ядро понижается до  $4,4 \pm 0,7$  пкг. При однократном введении почечной ядерной фракции через 48 ч количество ДНК на ядро остается пониженным ( $5,2 \pm 0,4$  пкг) и только на третий день достигает исходного значения ( $7,3 \pm 1,0$ ). При двукратном введении ядерной фракции гомогената почки среднее количество ДНК на ядро составляет  $4,5 \pm 0,4$  пкг. При трех- и четырехкратных инъекциях пониженное до  $5,2 \pm 0,5$  пкг количество ДНК сохраняется в течение всего опыта.

При введении крысам ядерной фракции гомогената почки в ядрах печени крыс не происходит сколько-нибудь заметного уменьшения количества ДНК. Аналогично этому, неизменным остается количество ДНК в ядрах почки крыс при введении им ядерной фракции печени (таблица).

Цитофотометрическое исследование показало, что в печени использованных нами крыс ядер, содержащих количество ДНК, равное 4с, еще очень мало, в противоположность более взрослым крысам (весом свыше 200 г), у которых обнаружено достаточное большое количество тетраплоидных ядер (см. например, [4]).

Введение ядерной фракции мышам также вызывало понижение количества ДНК в ядрах печени животных-реципиентов. Минимальное количество ДНК в этой серии опытов зарегистрировано после повторной инъекции, то есть на 48 ч опыта. Как видно из приведенных данных, количество ДНК в ядре печени интактной мыши приблизительно равно  $9,1 \pm 0,9$  пкг, и снижается до  $5,0 \pm 0,6$  пкг вследствие воздействия фракцией (приблизительно на 45% от исходной величины).

При анализе электроннограмм мы обнаружили, что после инъекции животным ядерной фракции наблюдается общее разрыхление и исчезновение зон компактного хроматина в ядрах обоих типов тканей.

На рис. 1, а показаны соответственно ядра печеночной и почечной клеток интактной крысы. Отчетливо выделяются плотные участки хроматина, сконденсированного на периферии ядра, на поверхности ядрышка, а также равномерно рассеянных в толще нуклеоплазмы. Диффузная часть внутриядерного материала имеет дисперсную текстуру, равномерно рассеяна и состоит из коротких фибрилл и гранул различного диаметра. В целом ДНП и РНП-компоненты нуклеоплазмы тонко структурированы и плотно упакованы. Ядрышко небольшое и имеет вид однородного по плотности компактного образования с нечетко выраженной нуклеолонемной организацией. На 24 ч после введения ядерной фракции морфологическая картина ядра резко меняется. Как в ядрах печени (рис. 2), так и в почке (рис. 2а) обращает на себя внимание исчезновение зон конденсации хроматина. Внутриядерный материал приобретает фибрillлярную структуру. Ввиду рыхлой упаковки нуклеогистоновых нитей создается впечатление, что весь объем ядра заполнен обрывками ДНП-фибрилл различной длины. Белковый

Действие ядерной фракции печени и почки на количество  
ДНК в печени и почке животных-реципиентов

Вариант опыта		Число живо-тных	Количество ДНК на ядро в пкг		Разность Оп-К в %	p				
			контроль	Опыт						
<b>КРЫСЫ</b>										
печень+печеночная ядерная фракция										
число инъекций	сроки проведения анализа									
1	через 24 ч	34	35	6,8±0,5	5,2±0,6	-23				
2	" 48 ч	12		7,2±0,5	+6	недост.				
7	" 168 ч	12		3,8±0,5	-44	<0,001				
12	" 336 ч	6		3,8±0,5	-44	<0,001				
1	" 48 ч	6		6,3±0,5	-7	недост.				
почка+почечная ядерная фракция										
число инъекций	сроки проведения анализа									
1	через 24 ч	8	9	7,8±0,9	4,4±0,7	-43				
1	" 48 ч	18		5,2±0,4	-33	<0,02				
1	" 72 ч	6		7,3±1,0	-6	недост.				
2	" 48 ч	6	18	7,4±0,8	4,5±0,4	-39				
3	" 72 ч	6		7,8±0,9	5,2±0,5	-33				
4	" 96 ч	6	6	6,1±0,5	5,2±0,5	-14				
почка+печеночная ядерная фракция										
число инъекций	сроки проведения анализа									
1	через 24 ч	6	24	6,5±0,8	7,0±0,4	+8				
печень+почечная ядерная фракция										
число инъекций	сроки проведения анализа									
1	через 24 ч	3	12	6,2±0,8	6,1±0,4	-2				
<b>МЫШИ</b>										
печень+печеночная ядерная фракция										
число инъекций	сроки проведения анализа									
1	через 48 ч	5	5	9,1±0,9	5,0±0,6	-45				
						0,005				

матрикс ядра просветлен и на этом фоне выделяются нити хроматина. В области ядерной оболочки хроматин имеет рыхлую фибрillлярную структуру. Из-за крайне рыхлой упаковки ДНП фибриллы и просветления основной субстанции, в которую погружены интерфазные

хромосомы, ядра кажутся обесструктуренными. От поверхности ядрышка отходят диффузные хроматиновые тяжи, анастомозирующие между собой. Ядрышко, как правило, рыхлое, с четко выраженными



Рис. 1. Ядро гепатоцита крысы (контроль: хорошо развит конденсированный хроматин, расположенный по периферии, а также в толще нуклеоплазмы).

$\times 10000$

нуклеолонемами. Гранулярный компонент выражен слабо. Но встречаются и плотные фибриллярные ядрышки. Во всех случаях ядерная оболочка хорошо сохранена, ширина перинуклеарного пространства

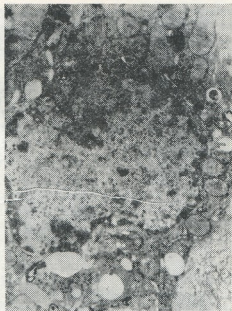


Рис. 1а. Ядро почечной клетки (контроль: компактный хроматин хорошо развит).  $\times 8000$

такая же как в контроле и составляет  $400-600 \text{ \AA}$ , что указывает на оптимальные условия фиксации.

Не обнаруживается сколько-нибудь заметных признаков набухания перинуклеарных цистерн. Следовательно, полученное нами раз-

рыхление хроматина нельзя рассматривать как артефакт, вызванный низкой ионной силой фиксирующих сред.

Такая своеобразная морфологическая картина ДНП-материала характерна для значительной части ядер печени на 24-й ч после вве-

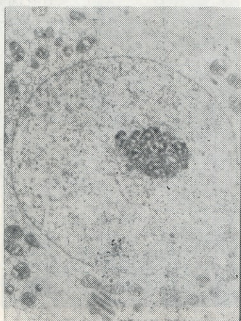


Рис. 2. Ядро гепатоцита крысы на 24 ч после введения ядерной фракции гомогената печени крысы: конденсированный хроматин исчезает.  $\times 8000$

дения животным ядерной фракции. В почечной ткани это явление носит очаговый характер.

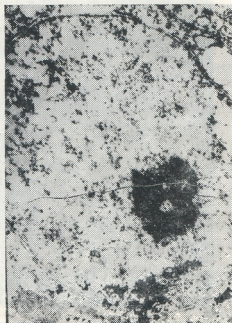


Рис. 2а. Ядро почечной клетки на 24 ч после введения ядерной фракции гомогената почки: наблюдается исчезновение конденсированного хроматина и фрагментация фибрилл ДНП.  $\times 16000$

На 48-й ч после двукратного введения ядерной фракции исходное состояние ядер гепатоцитов подопытных животных почти полностью восстанавливается (рис. 3). Вновь обнаруживаются плотные

глыбки хроматина, которые конденсируются на внутреннем листке ядерной оболочки. Содержимое ядра мелко структурировано и плотно упаковано. Следовательно, морфологическая картина нуклеоплазмы на этом сроке почти ничем не отличается от контроля.

В экспериментах, с помощью которых мы пытались определить степень специфичности факторов ядерного происхождения, сходные явления нами обнаружены не были.

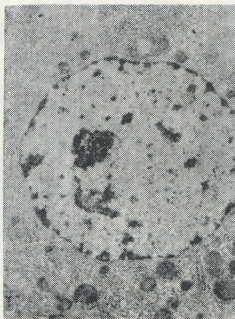


Рис. 3. Ядро гепатоцита крысы на 48 ч после введения ядерной фракции гомогената печени крысы: участки конденсации хроматина вновь появляются.  $\times 10000$

На рис. 4 показано ядро печеночной клетки на 24-й ч после введения ядерной фракции гомогената почки. Структура хроматина ничем не отличается от таковой у интактных животных. Равным образом, в почке мы не обнаружили характерного очагового характера действия ядерного фактора гомогената печени. На рис. 4а, где показан периферический компактный хроматин, обнаружить какие-либо признаки понижения степени его плотности не удается. Плотность гетерохроматиновых сегментов так значительна, что в них не удается различить фибрillлярной структуризации.

#### ОБСУЖДЕНИЕ

Полученные нами значения количества ДНК на ядро клетки печени существенно меньше, чем это следует из определения некоторых других авторов [1, 12]. По всей вероятности, это объясняется тем, что при подобных определениях используют крыс большого возраста, чем это делали мы. Например, Фишер, Халбрюк и Ирвин [12] использовали в своих опытах крыс весом 275—400 г. В наших же опытах вес животных, подвергшихся воздействию клеточными фракциями, не превышал 110 г. Как показали цитофотометрические исследования, в печени крыс возраста, соответствующего указанному весу, еще очень мало тетраплоидных ядер, что и отражается на среднем количестве ДНК на ядро. Характерно, что в ядрах мышиных гепатоцитов, представляющих собой смешанную популяцию клеток, содержащую значительную долю тетраплоидных ядер, среднее количество ДНК на ядро соответ-



ственno выше ( $9,1 \pm 0,9$  пкг) и приближается к таковому, найденному другими авторами для крыс [1, 12].

Результаты наших опытов указывают на то, что вследствие воздействия ядерной фракцией гомологичного органа (печень или почка)

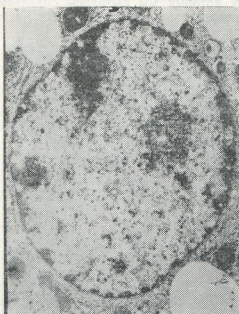


Рис. 4. Ядро гепатоцита крысы на 24 ч после введения ядерной фракции гомогената почки крысы: морфология ядра ничем не отличается от таковой в контрольных печеночных клетках.

$\times 10000$

происходит частичное разрушение ДНК хроматина. Поскольку уменьшение количества ДНК подтверждается и биохимическими определениями, объяснить его изменением состояния хроматина, как это мож-

Рис. 4а. Ядро почечной клетки на 24 ч после введения ядерной фракции гомогената печени: картина ядра не отличается от

контроля.  $\times 15000$



но было заключить на основании цитофотометрических данных [13], не представляется возможным.



Согласно точке зрения некоторых авторов [13], биохимические определения, проведенные с применением специфических окрасок, также могут привести к аналогичным ошибкам, во избежание чего мы прибегли к спектрофотометрическим определениям в УФ части спектра. Исчезновение из ядра гетерохроматина также не может быть истолковано как следствие эухроматинизации, имевшей место в исследованиях Литтая [15] в результате экстракции из ядер НІ фракции гистонов.

Детальный анализ электроннограмм, а также их сопоставление с данными опытов, в которых деконденсация хроматина происходила непосредственно перед повышением функциональной нагрузки хромосом [16], также говорят в пользу частичного разрушения ДНК под влиянием ядерных факторов. Действительно, в ядрах после введения ядерной фракции наблюдается фрагментация фибрилл ДНП, вследствие чего незначительные сгустки хроматина разбросаны островками по всему ядру и между ними часто не удается обнаружить связи, чего никогда не наблюдается при функциональной деконденсации хроматина.

Как показывают наши исследования, разрушенная часть ДНК вновь восстанавливается, что совпадает с появлением на электроннограммах зон конденсации хроматина. В предыдущих работах было показано, что в печени мышей через 48 ч после введения ядерной фракции начинается непрограммированный синтез ДНК [6], за счет которого, по-видимому, происходит возмещение утраты клетками части ДНК хроматина.

Данные, изложенные в настоящей работе, подтверждают высказанное ранее предположение о существовании в ядрах особой формы ДНК, которая легко может разрушаться и вновь синтезироваться. Разрушение этой части ДНК не ведет к гибели клеток. Однако ее быстрое восстановление свидетельствует о том, что ее отсутствие небезразлично для клеток. Принимая во внимание свойство упомянутой ДНК, мы назвали ее «лабильной ДНК». Соответственно, часть хроматина, с которой ассоциирована «лабильная ДНК», была названа «лабильным хроматином» [6].

Согласно результатам наших исследований, «лабильный хроматин» представляет собой гетерохроматин, располагающийся, по всей вероятности, в теломерных и окологядрышковых участках хромосом.

Следовательно, лишь часть гетерохроматиновых сегментов несет в себе «лабильную ДНК», поскольку в разное время спирализуются разные сегменты хромосомы, находящиеся до этого в дисперсном состоянии. Однако нет оснований отождествлять «лабильную ДНК» со вставками сателлитной ДНК, которые по имеющимся в литературе данным [14] локализованы именно в тех участках, в которых на нашем материале наблюдается интенсивная фрагментация фибрилл ДНП.

Точный молекулярный механизм деградации ДНК в ядрах и ее восстановления в настоящее время не известен. Вероятно, в этих процес сах немаловажную роль играет ядерный фактор, способствующий разрушению ДНК хроматина ДНК-азами [2]. Тканеспецифичный характер действия ядерных факторов дает все основания предполагать, что «лабильная ДНК» играет немаловажную роль в регулировании работы генома клетки.

## ЛИТЕРАТУРА

1. Дэвидсон Д. Ж. Биохимия нуклеиновых кислот, «Мир», М., 1976.
2. Джандиери К. М., Туманишвили Г. Д., Дзидзигури Д. В., Авалишвили Н. Г., Мгвделадзе Н. Д. ДАН СССР, 211, 2, 474—476, 1973.



3. Джандиери К. М., Туманишвили Г. Д. В сб.: Вопросы биофизики и теоретической биологии, З, Тбилиси, 1971, 45.
4. Туманишвили Г. Д. Цитология, XVIII, 4, 419—429, 1976.
5. Туманишвили Г. Д., Саламатина Н. В. В сб.: Вопросы биофизики и теоретической биологии, 2, Тбилиси, 1969, 89.
6. Туманишвили Г. Д., Кахидзе И. Г., Челидзе П. В. Архив анат. гист. эмбриол., 69, 11, 1975.
7. Туманишвили Г. Д. Цитология, XV, 6, 635—641, 1973.
8. Цанев Р. Г., Марков Г. Г. Биохимия, 25, 1, 151—159, 1960.
9. Appleton T. C., Pele S. K., Tagabit M. H. J. Cell Sci., 5, 45—55, 1969.
10. Berthet C. D., de Duve. Biochem. J., 50, 1, 174,—175, 1951.
11. Chauvaus, Muller V., Rouiller C. Exptl. Cell Res., 11, 317—321, 1956.
12. Fisher R. F., Holbrook D. J., Irvin I. J. Cell Biol., 17, 2, 231—236, 1963.
13. Fontaine J. C., Swartz F. J. J. Cell. physiol., 80, 281—290, 1972.
14. Jacob J., Gilles K., Macleod D., Jones K. W. J. Cell Sci., 14, 253—261, 1974.
15. Littau V. C., Allfrey V. G., Frenster J. H., Mirsky A. E. Proc. Nat. Acad. Sci. USA, 52, 93—100, 1964.
16. Tokujas K., Madden S. C., Zeldis L. J. J. Cell. Biol., 39, 630—660, 1968.
17. Tumanishvili G. D., Salamatina N. V., Vepkhvadze L. K. Ann. d'embryol. et de morphogenese, 5, 3, 181—190, 1972.
18. Tumanishvili G. D., Vepkhvadze L. K., Salamatina N. V. Ann. Embryol. Morphogen. Suppl., 1, 275, 1969.

ვირთაგვისა და თაგვის ღვიძლისა და თირკმლის პიროვული ფაქტორების გავლენა ჰომოლოგიური ძსოვილის უჯრედების გზით ვიზუალური დნბ-ს რაოდენობაზე

8. იოანაშვილი, გ. ჯანელიშვილი, პ. ვალიშვილი, გ. თუმანიშვილი

საქართველოს სსრ შეცნერებათა აკადემიის ა. ნაიმუშილის სახელობის ექსპერიმენტული მორ-ფოლოგიის ინსტიტუტი, თბილისი

#### რეზიუმე

ცხოველებში ჰომოლოგიური ქსოვილის ბირთვული ფრაქციის სხვადასხვა ვალებში შეცვანისას შეისწავლებოდა ღვიძლის და თირკმლის ბირთვების დნბ-ს რაოდენობრივი ცვლილებები.

პარალელურად მიმდინარეობდა ბირთვების დნბ-ს კომპლექსის მდგომარეობის ულტრასტრუქტურული გამოკვლევა.

ღვიძლის ბირთვებში ბირთვული ფრაქციის ერთგრადი შეცვანისას 24 საათის შემდეგ ადგილი ძევს დნბ-ს დაშლას 23%-ით; 48 საათის შემდეგ ისევე როგორც ორჯერადი შეცვანისას, ხდება დნბ-ს საწყისი რაოდენობის ალგენა.

გარდა ამ ცვლილებებისა, ბირთვული ფრაქციის შეცვანისას 24 საათის შემდეგ ხდება ქრომატინის კომპაქტური სეგმენტების გაქრობა. ორჯერადი შეცვანისას ისინი კვლავ წარმოიქმნებიან.

ანალოგიურად რეაგირებს ბირთვული ფრაქციის შეცვანაზე თირკმლის ქსოვილი, სადაც დნბ-ს დაშლა აღწევს 43%. დნბ-ს საწყისი რაოდენობის ალგენა ხდება ერთგრადი შეცვანიდან მესამე დღეს.

მიღებული შედეგები მიუთითებს ღვიძლისა და თირკმლის უჯრედებში ლაბილური ფორმის დნბ-ს არსებობაზე. შესაძლოა, რომ ლაბილური დნბ ლოკალიზებულია ქრომოსომის პეტეროქრომატინულ უბნებში.

## ACTION OF THE NUCLEAR FACTORS OF THE RAT LIVER AND KIDNEY ON THE DNA CONTENT IN THE NUCLEI OF HOMOLOGOUS TISSUE

34436320  
303-2010333

M. S. JOBADZE, K. M. JANDIERI, P. V. CHELIDZE, G. D. TUMANISHVILI

A. N. Natishvili Institute of Experimental Morphology, Georgian Academy of Sciences,  
Tbilisi, USSR

## Summary

The quantitative changes of DNA and ultrastructure of DNP complexes in the nuclei of liver and kidney at different periods following the injection of nuclear fraction of homologous tissue were studied.

24 hours after a single injection of nuclear fraction in the liver nuclei DNA content was shown to decrease by 23%. 48 hours after a single or bi-injection of nuclear fraction of liver homogenate restoration of DNA content to the initial level was observed. These changes were accompanied by disappearance of compact segments of heterochromatin 24 hours after the injection of nuclear fraction, while in 48 hours they reappeared.

A similar effect was observed in the kidney after the injection of nuclear fraction, but destruction increased to 43% and complete restoration of DNA occurred only on the 3rd day after a single injection of nuclear fraction.

The results indicate the existence in the liver and the kidney cells of labile form of DNA which is probably located in the heterochromatin regions of interphase chromosomes.

УДК 612.82+577.15

КРАТКИЕ СООБЩЕНИЯ

## КИНЕТИЧЕСКИЕ СВОЙСТВА ГЛУТАМИНАЗЫ КЛЕТОК ГЛИИ КОРЫ ГОЛОВНОГО МОЗГА КРОЛИКА

Р. Г. Ахалкаци, Н. Г. Алексидзе, М. Г. Гамбашидзе, Н. И. Долидзе

Кафедра биохимии Тбилисского государственного университета

Поступила в редакцию 14.9.1976

Была предпринята попытка изучения кинетических свойств глутаминазы клеток глии. Известно, что глутаминазе принадлежит важная роль в регуляции образования аммиака, углеводного обмена и в равновесии системы глутамин-глутаминовая кислота [5, 7, 10].

В качестве объекта был взят головной мозг кролика. Обогащенные фракции глиальных клеток коры головного мозга получали по методу Роуза [9], модифицированному нами [1]. Об активности «глутаминазы I», стимулируемой фосфатом, судили по количеству освободившегося аммиака, которое определяли методом прямой несоллеризации [3]. Концентрацию белка определяли по Лоури и др. [8].

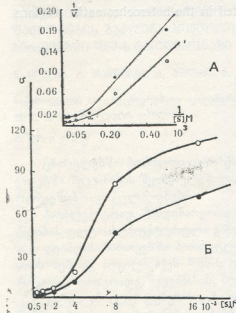


Рис. 1. Активность глутаминазы клеток глии (белые кружки) и гомогената (черные кружки) коры головного мозга кролика в зависимости от концентрации субстрата

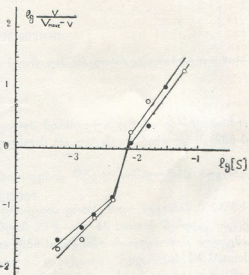


Рис. 2. Определение степени кооперативности кинетики глутаминазы клеток глии (белые кружки) и гомогената (черные кружки) коры головного мозга кролика графическим методом Хилла

В первой серии опытов исследовали активность глутаминазы клеток глии и гомогената коры головного мозга в зависимости от времени инкубации и концентрации белка в пробе. Установлено, что при кон-



центрации субстрата 20 мМ и белка 1 мг глутаминаазная активность клеток глии и гомогената ткани сохраняют линейную зависимость от времени инкубации. Линейная зависимость обнаруживалась и при изменении концентрации белка от 0,5 до 2 мг на пробу.

Исследования зависимости глутаминаазной активности от концентрации субстрата показали, что экспериментальная кривая в координатах  $v - [S]$  принимает изогнутую, S-образную форму (рис. 1Б). При этом значения величины  $K_m$  для глутаминазы как в гомогенате клеток глии ( $V_{max} = 108$ ), так и в гомогенате коры ( $V_{max} = 50$ ) практически не отличаются и составили соответственно  $6 \cdot 10^{-3}$  М и  $5,6 \cdot 10^{-3}$  М. В первом приближении эти данные указывают на то, что глутаминаза глии и нейронов не должна отличаться по кинетическим показателям.

Особого внимания заслуживает анализ сигмоидальной кривой зависимости скорости реакции от концентрации субстрата. S-образный характер кинетической кривой указывает на аллостеричность исследуемого фермента. К такому же заключению пришли и другие авторы на основе исследований глутаминаазной активности почек кроликов [6] и микроорганизмов [2]. Для подтверждения аллостеричности глутаминазы клеток глии нами был проанализирован характер S-образной кривой путем построения графиков по методу двойных обратных величин Лайнувиера и Бэрка [4]. Как видно из рис. 1А, в координатах

$\frac{1}{V}$  и  $\frac{1}{S}$  вновь проявляется вогнутый характер кривой, что является еще одним доказательством кооперативной кинетики глутаминазы. Для расчета степени кооперативности мы воспользовались графическим ме-

тодом Хилла. Построение графика зависимости  $\lg \frac{V}{V_{max}-V}$  от  $\lg [S]$  позволил нам установить, что степень кооперативности для глутаминазы больше единицы ( $n > 1$ ). В гомогенате она равна 3,4, а в клетках глии — 4,0 (рис. 2).

Таким образом, исходя из приведенных выше экспериментальных данных, можно заключить, что глутаминаза нейронов и клеток глии, стимулируемая фосфатом, не отличается по кинетическим свойствам и является аллостерическим ферментом.

## ЛИТЕРАТУРА

1. Алексидзе Н. Г., Ахалкаци Р. Г., Балавадзе М. В., Долидзе Н. И. Сообщения АН ГССР, 75, 701—703, 1974.
2. Коваленко Н. А., Козлов Е. А., Герасимова А. В., Мардашев С. Р. Биохимия, 36, 1198—1204, 1971.
3. Мардашев С. Р., Николаева А. Я., Евсеев А. П., Еременко В. В. Биохимия, 32, 1093—1099, 1967.
4. Ткемаладзе Г. Ш., Квеситадзе Г. И. Практическая энзимология, «Мецниреба», Тбилиси, 1975.
5. Хольцер Г. В сб.: Регуляция клеточного обмена, ИЛ, М., 1962, 324—329.
6. Катипима N., Katsipima T., Tomono I., Matsuda Y. Adv. Enzym. Regul., 6, 227—233, 1968.
7. Krebs H. A. Biochem. J., 29, 1951—1959, 1935.
8. Lowry O. H., Rosenbrough N. T., Farr G., Randall R. J. Biol. Chem., 193, 265, 1951.
9. Rose S. P. R. Biochem. J., 102, 33—48, 1967.
10. Waelsch H. Adv. in protein Chem., 6, 301—310, 1951.

შინაგანი კურდღლის თავის ტვინის ძირის გლიცერი  
უჯრედის გლუტამინაზას გინეტიკური თვისებები

6. ახალქაცი, 6. ალექსიძე, 8. ღაგაშვილ, 6. ფოლიძე

თბილისის სახელმწიფო უნივერსიტეტის ბიოქიმიის კაფედრა

### რეზიუმე

დახსასიათებულია შინაგანი კურდღლის თავის ტვინის ქერქის გლიცერიუჯრედებისა და ქსოვილური ჰომოგენატის გლუტამინაზას კინეტიკური თვისებები.

გამოიჩვა, რომ როცა გლუტამინის კონცენტრაცია უდრის  $20 \text{ mM}/\text{ml}$  და ცილი  $1 \text{ mg}/\text{ml}$ , გლუტამინაზური აქტივობა  $80 \text{ min}$ -ის განმავლობაში ხასიათდება თანაბარი ინტენსივობით. მიქეალის-მენთენის კონსტანტის მიხედვით ქსოვილური ჰომოგენატისა და გლიცერიუჯრედების გლუტამინაზა კინეტიკური თვისებებით ერთმეორისაგან არ განსხვავდება. შებრუნებული ორმაგი სიდიდეებისა და კოოპერატიულობის ხარისხის გამოთვლით გაირკვა, რომ გლიცერიუჯრების გლუტამინაზა ალოსტერულ ფერზენტს წარმოადგენს.

### KINETIC PROPERTIES OF GLUTAMINASE OF GLIAL CELLS IN THE RABBIT CEREBRAL CORTEX

R. G. AKHALKATSI, N. G. ALEKSIDZE, M. G. GAMBASHIDZE, N. I. DOLIDZE  
Chair of Biochemistry, Tbilisi State University, USSR

#### Summary

Some kinetic properties of glutaminase of the glial cells and homogenate of the rabbit cerebral cortex are described. The glutaminase activity during 80 minutes, at the concentration of glutamin  $20 \text{ mM}/\text{ml}$  and protein  $1 \text{ mg}$ , was shown to retain the linear dependence.

As judged by the values of  $K_m$ , glutaminase of the homogenate and the glial cells of the cerebral cortex do not differ from each other by their kinetic properties.

Using the method of the reverse double values and by the calculation of the degree of cooperation glutaminase of the glial cells appeared to be an allosteric enzyme.

კურდღლის გლუტამინაზას კინეტიკური თვისებები და გლიცერიუჯრების გლუტამინაზას კინეტიკური თვისებები შედგენ არ არის. გლუტამინის კონცენტრაცია  $20 \text{ mM}/\text{ml}$  და ცილი  $1 \text{ mg}/\text{ml}$  მდგრადი არის გლუტამინაზური აქტივობის განმავლობაში. მიქეალის-მენთენის კონსტანტის მიხედვით გლუტამინაზა კინეტიკური თვისებებით ერთმეორისაგან არ განსხვავდება. შებრუნებული ორმაგი სიდიდეებისა და კოოპერატიულობის ხარისხის გამოთვლით გაირკვა, რომ გლიცერიუჯრების გლუტამინაზა ალოსტერულ ფერზენტს წარმოადგენს.

კურდღლის გლუტამინაზას კინეტიკური თვისებები და გლიცერიუჯრების გლუტამინაზას კინეტიკური თვისებები შედგენ არ არის. გლუტამინის კონცენტრაცია  $20 \text{ mM}/\text{ml}$  და ცილი  $1 \text{ mg}/\text{ml}$  მდგრადი არ არის გლუტამინაზური აქტივობის განმავლობაში. მიქეალის-მენთენის კონსტანტის მიხედვით გლუტამინაზა კინეტიკური თვისებებით ერთმეორისაგან არ განსხვავდება. შებრუნებული ორმაგი სიდიდეებისა და კოოპერატიულობის ხარისხის გამოთვლით გაირკვა, რომ გლიცერიუჯრების გლუტამინაზა ალოსტერულ ფერზენტს წარმოადგენს.

УДК 581.143.6

КРАТКИЕ СООБЩЕНИЯ

**КУЛЬТУРА ТКАНЕЙ ЮККИ СЛАВНОЙ — JUCCA GLORIOSA**

А. Б. Месхи, М. К. Гогоберидзе, К. П. Кацитадзе

Институт биохимии растений АН ГССР, Тбилиси

Поступила в редакцию 24.2.1977

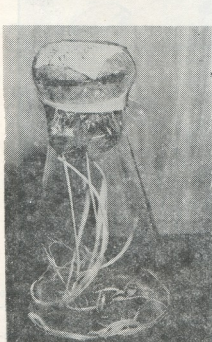
Выращивание больших масс тканей и клеток *in vitro* высших лекарственных растений, имеющих ограниченный ареал естественного распространения, имеет определенный интерес.

Работами ряда авторов доказано, что дедифференцированные ткани растений сохраняют способность биосинтеза вторичных продуктов метаболизма, характерную для данного вида (1—4).

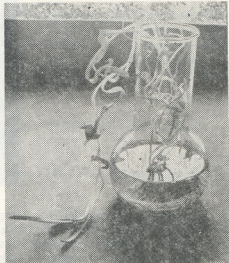
Целью эксперимента являлось получение культуры синтезирующей стероидные сапогенины (тигогенин). Эксперимент проводился на культуре тканей юкки славной.

Стерилизация растительного материала (сегменты листьев, стебля, корней и цветочных бутона) производилась 0,1%-ной суплемой.

Впоследствии материал многократно промывался стерильной дистиллированной водой. Для получения первичного каллуса стерильный растительный материал был посажен на агаризированную



a



b

Рис. 1а, б. Органогенез и реконструкция целого растения из каллюса цветка юкки славной

среду Мурасиге и Скуга с разными добавками из группы стимуляторов (АНУК, ИУК, 2,4Д).

Исходя из количества добавляемых веществ, опыты были разделяны на несколько вариантов — каждый в десятикратном повторении. В

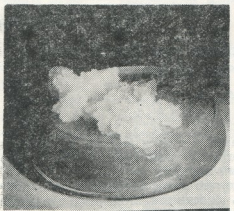


Рис. 2. Культура ткани юкки славной

погибали. Лишь первичный каллус из цветков (бутонов) юкки славной оказался способным к размножению на полной среде Мурасиге и Скуга



Рис. 3. Структура клеток неорганизованной растущей ткани юкки славной ( $16 \times 20$ )

с аденином на фоне 2,4Д в концентрации 0,025—0,05 мг/г. В отличие от других видов данного рода, известных из литературы [5, 6], тканевая культура юкки славной была получена из весенних цветков.

Обильный органогенез и ризогенез в культуре ткани юкки славной заставил нас изменять состав сред и искать оптимальную концентрацию рост-стимулирующих веществ для тушения вторичной дифференциации клеток. В культуре тканей из зародышевых узлов возникали корни и другие органы растения юкки, при этом часто происходила реконструкция самого растения (рис. 1а, б). Однако обильный органогенез и ризогенез дает возможность проследить образова-

ние каллусных тканей из разных органов вновь возникшего растения в колбе.

Полнейшая дедифференциация тканей юкки славной была достигнута резким изменением концентрации рост-стимулирующих веществ. Как было сказано, получение первичного каллуса происходило на средах содержащих 0,5—1 мг/л 2,4Д. Каллусный рост, т. е. обильное деление происходило впоследствии на средах, содержащих 2,4Д в концентрации 0,025—0,05 мг/е, а полученная дедифференциация, т. е. перестройка рост-регулирующего аппарата клетки, происходила в условиях высоких концентраций уже другого вещества рост-стимулирующей природы (при концентрации  $\alpha$ -нафтилуксусной кислоты 10—15 мг/л). Тканевая культура юкки славной (цветочный бутон) нормально растет на полной среде Мурасиге и Скуга с добавлением 10—15 мг/л  $\alpha$ -нафтилуксусной кислоты (рис. 2).

Каллусная ткань юкки славной светло-кремового цвета, ткань мягкая и хорошо давится, клетки окрашиваются нормально. Клетки в давленных препаратах просматриваются в отдельности, они паренхимного типа. Форма клеток в основном округлая, с четко выраженным контуром. В цитоплазме не прослеживаются вакуоли, она гомогенна и красится слабо. Клетки содержат по одному крупному ядру с четко выраженными гранулярными структурами с одним ядрышком. В них наблюдаются крахмальные включения (рис. 3).

По предварительным данным каллусная ткань юкки сохраняет способность синтеза вторичных продуктов метаболизма — стероидных сапогенинов.

## ЛИТЕРАТУРА

- Бутенко Р. Г. Рост, развитие и устойчивость растений, Иркутск, 1969, 12—23.
  - Волосович А. Г. В кн.: Культура изолированных органов тканей и клеток растений, «Наука», М., 1971, 234—240.
  - Волошина Д. А., Головкина Г. И. Сб. научн. работ Всесоюзного института лекарственных растений, 1975, 7, 158—160.
  - West F. R., Mika E. S. Bot. Gaz., 119, 50—54, 1957.
  - Staba E. S. Phamac. Sci., 51, 249—254, 1932.
  - Stoness J., Sabatka J. J., Oberst J. J., Rosenberg H. The journal of natural products, 37, 3, 504—505, 1974.

იუკა შესანიშვნავის *JUCCA GLORIOSA*-ს ასოცილთა კულტურა

ඩ. මහේදා, ඩ. සම්බන්ධවරුව, ඩ. ගාලුතාපු

საქართველოს სსრ მეცნიერებათა აკადემიის მცენარეთა ბიოქიმიის ინსტიტუტი, თბილისი რეზიდუალი

შიღებულია მცენარე იუკა შესანიშნავის ყვავილის ქსოვილთა კულტურა. პირველადი კალუსური ქსოვილი წარმოიშობა სინთეზურ საკვება არეში, 2,4 D-ს 0,5—1 მგ/ლ კონცენტრაციის ვარიანტში. ქსოვილის შემდგომი ზრდა მიმდინარეობს ამავე ნაერთის 0,025—0,05 მგ/ლ კონცენტრაციის შემთხვევაში; ხოლო ქსოვილის სრული დედიუქრენცირება ორგანონერზების ნიშნების გაქრობით ხდება როცა საკვება არეში α—ნაფტილ მძარმავას კონცენტრაცია იყო 10—15 მგ/ლ. მიღებულ კალუსური ქსოვილი ინარჩუნებს სტერილულ საპოვნი-ნების სინთეზის უნარს.

## TISSUE CULTURE OF *JUCCA GLORIOSA*

A. B. MESKHI, M. K. GOGOBERIDZE, K. P. KATSITADZE

Institute of Plant Biochemistry, Georgian Academy of Sciences, Tbilisi, USSR

## Summary

The tissue culture from the flowers of *Jucca gloriosa* has been obtained. Callus was formed on a solid medium of Murashige and Skoog. By addition of 2.4 dichlore-phenoxy-acetic acid in the concentration of 0.5–1 mg/l, callus culture was grown at the concentration of 0.025–0.05 mg/l of the same compound, while organogenesis was suppressed by 10–15 mg/l of  $\alpha$ -naphthyl-acetic acid. Callus culture from *Jucca gloriosa* retains the ability for the synthesis of steroid sapogenin.

УДК 598.1

КРАТКИЕ СООБЩЕНИЯ

ДИНАМИКА ПОПУЛЯЦИИ КАВКАЗСКОЙ ЯЩЕРИЦЫ  
(*LACERTA C. CAUCASICA* MÉHELY)

Т. А. Мусхелишвили, В. А. Негмединов

Институт зоологии АН ГССР, Тбилиси

Поступила в редакцию 4.I.1977

Скальные ящерицы, к каковым относится кавказская ящерица, представляют собой хорошую модель для изучения ряда вопросов общебиологического характера, таких как изменчивость, формообразование, полиплоидия, партеногенез и т. д. Доступность и многочисленность особей в популяциях дают возможность проведения исследования на популяционном уровне. При этом, в отличие от других объектов популяционных исследований — мышевидных грызунов, на ящерицах можно использовать крайне простую методику мечения — отрезание пальцев в различных комбинациях и манипулирование с живым материалом с последующим выпуском его в природу.

Поскольку работы с применением метода мечения в Грузии почти не проводились (исключение составляет статья одного из авторов, посвященная стройной змееголовке [2]), мы решили провести исследования одного из видов скальных ящериц — с целью изучения динамики популяции.

Работа проводилась в течение 1974—76 гг. на двух стационарах — в окрестностях с. Млета (южный склон Главного Кавказского хребта) и с. Казбеги (северный склон того же хребта).

Плотность популяций ящериц очень неоднородна, что в значительной мере связано с микроклиматом биотопов и наличием подходящих убежищ. В составе популяции прослеживается определенная закономерность. На обоих стационарах в июне в популяции кавказской ящерицы различаются половозрелые самцы и самки размером 41—68 мм и молодые — размером 26—40 мм. В свою очередь группа молодых представлена перезимовавшими одну зиму молодняком длиной 26—34 мм и дважды перезимовавшими размером 41—50 мм. Между этими группами разумеется должны быть и переходные по размерам особи, которые нам просто не попались. Дважды перезимовавшие, очевидно, уже включаются в размножение (во всяком случае самцы), поскольку на эту возможность указывает гистологическая картина семенников. В августе в популяции появляются сеголетки.

По данным Хонякиной [5], в Дагестане размеры сеголеток кавказской ящерицы составляют 22—27 мм. В августе часть из них достигает 31 мм, в возрасте одного года — 39—45 мм и в возрасте двух лет — 51 мм. По нашим данным, в августе размер сеголеток равен 25—27 мм, вес 370—420 мг. В июне следующего года (по данным мечения) они вырастают до 35—40 мм, однако в июне же попадаются особи длиной 26,5 мм. Такое различие в размерах между особями одного возраста объясняется тем, что из одной кладки часто выплывают сеголетки

неодинакового размера. Поэтому сплошь и рядом сеголетки не отыскиваются или даже превосходят по длине молодых перезимовавших.

В августе популяция ящериц от таковой в июне отличается прежде всего наличием в ней сеголеток, а также тем, что к этому времени молодые прошлого года вырастают до 37—46 мм, а дважды перезимовавшие достигают в длину уже 47—52 мм (см. рис. 1). В конце сентября сеголетки достигают длины 26—30 мм, а однолетки 38—49 мм. Описанная картина наблюдается на обоих стационарах.

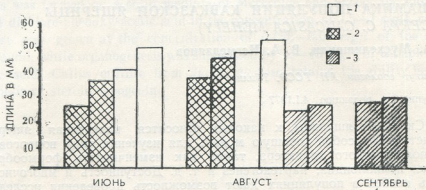


Рис. 1. Динамика возрастного состава; 1 — перезимовавшие дважды; 2 — перезимовавшие один раз; 3 — сеголетки

Соотношение полов в популяции кавказской ящерицы на обоих стационарах почти одинаковое —  $\frac{\text{самцы}}{\text{самки}} = 0,8$ . Следовательно, самки численно преобладают над самцами.

Самки крупнее самцов: средняя длина их равна 57,2, а самцов 55,9 мм, вес соответственно — 3,321 г и 3,130 г.

Сергеев [4], изучавший состав популяции крымского подвида скальной ящерицы, рассчитал приблизительную смертность по отдельным возрастам. Для этого разность между количеством молодых и числом отложенных яиц принималась за отход яиц и сеголеток в период от первого до второго лета их жизни. Пользуясь методикой Сергеева, можно рассчитать приблизительный отход яиц и смертность молодых на протяжении первой зимовки. На стационаре в Казбеги в июне-июле 1974 г. было добыто половозрелых 74 самки и 54 самца, из них впервые в размножении участвовало 20 особей. Самки в предшествующем году в общей сложности отложили около 270 яиц — 100% (исходя из пяти яиц на одну самку:  $74 - 20 = 54 \times 5 = 270$ ). Поскольку молодых прошлогоднего выплода было всего 15 особей, нетрудно подсчитать, что отход яиц и отсев молодняка за первую зиму составил около 94%. Аналогичная картина повторилась и в следующем году: в выборке от 24 мая на 20 самок пришлось 14 самцов, среди них прошлогодних оказалось две, а дважды перезимовавших — три особи (два самца и одна самка). Следовательно, исходя из вышесказанного расчета, отход за зиму должен составить 98%. Цифра явно завышена, поскольку объем выборки по сравнению с предшествующим годом меньше, однако общая тенденция здесь налицо.

На стационаре в с. Млета в июле-августе добыто 125 особей — 46 самцов и 79 самок. Из них впервые в размножении участвовало 20 особей. Столько же было молодых прошлого года. Следовательно, отход и здесь составил около 94%. Однако в следующем году мы на этом же месте наблюдали несколько иную картину: в мае—июле из 63 особей было 38 самцов и 25 самок (т. е. на этот раз самцов оказалось больше).

ше), из них 5 вторично перезимовавших; молодых же перезимовавших — 36 особей. Следовательно, если произвести расчет, отсев за зиму не превысил 65%. Таким образом, процент смертности за зиму подвержен определенным колебаниям и в среднем приближается к 90%. Как видно, наиболее трудными в жизни ящериц являются первые две

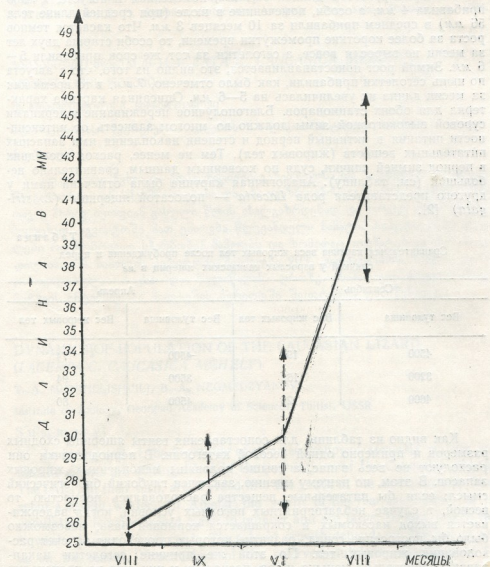


Рис. 2. Рост ящериц в первый год жизни

зимовки. По данным Даревского [1] отход за зиму яиц и молодых *L. armeniaca* составил 86%, у *L. valentini* — 73%, тогда как по Сергееву [4] у *L. s. lindholmi* в Крыму он составляет лишь 59%. Согласно этим же авторам, до второй весны доживает 5—12% особей от числа отложенных яиц. У кавказской ящерицы процент выживаемости находится тоже где-то в этих пределах.

Промеры меченных особей показали, что темпы роста ящериц зависят как от возраста, так и от времени года (см. рис. 2). Темпы роста



замедляются после двух лет, а также в период зимовки. Например, сеголетки, замеренные в августе, до июня следующего года выросли на 7 мм (за десять месяцев), годовалые в сентябре следующего года прибавили 9 мм (за 11 месяцев). Следовательно, до двух лет ящерицы прибавляют в длину примерно 30 мм. Однако в дальнейшем темп снижается. Например, особь длиной 59,1 мм, помеченная в августе, к маю прибавила 4 мм, а особи, помеченные в июле (при средней длине тела 56 мм) в среднем прибавили за 10 месяцев 3 мм. Что касается темпов роста за более короткие промежутки времени, то особи старше двух лет за месяц не выросли вовсе, а сеголетки за тот же срок прибавили 5—6 мм. Зимой рост приостанавливается, это видно из того, что с августа по июнь сеголетки прибавили, как было отмечено, 7 мм, в то время как за месяц длина их увеличилась на 5—6 мм. Описанная картина характерна для обоих стационаров. Благополучное переживание ящерицами сухой высокогорной зимы должно во многом зависеть от интенсивности питания в активный период и степени накопления ими запасных питательных веществ (жировых тел). Тем не менее, расход последних в период зимней спячки, судя по косвенным данным, сравнительно небольшой (см. таблицу). Аналогичная картина была отмечена нами у другого представителя рода *Lacerta* — полосатой ящерицы (*L. striata*) [2].

Таблица

Сравнительная картина веса жировых тел после пробуждения и перед спячкой у взрослых кавказских ящериц в мг

Сентябрь		Апрель	
Вес туловища	Вес жировых тел	Вес туловища	Вес жировых тел
4500	198	4500	74
3200	152	3500	94
4600	125	4500	80

Как видно из таблицы, для сопоставления взяты ящерицы сходных размеров и примерно одной весовой категории. В период спячки они расходуют не весь запас, а свыше половины накопленных жировых запасов. В этом, по нашему мнению, заключен глубокий биологический смысл: если бы питательные вещества расходовались полностью, то весной, в случае неблагоприятных погодных условий, когда задерживается выход насекомых и сокращается кормовая база, невозможно было бы построение гонад, развитие которых происходит за счет расходования жировых тел. По этой же причине сеголетки накапливают значительно меньше жира, поскольку у них еще не происходит созревания половых продуктов. В то же время это является причиной высокого процента гибели молодняка в течение зимы. Весной у сеголеток жировые тела, в отличие от взрослых, практически отсутствуют и их рост протекает за счет текущего поступления пищи.

Таким образом, различий в динамике популяции кавказской ящерицы на стационарах в Млета и Казбеги нами не отмечено. Различия имеются в других моментах экологии, которые не являются темой настоящего сообщения.

- Даревский И. С. Скальные ящерицы Кавказа, «Наука», Л., 1967, 1—214.
  - Мусхелишвили Т. А. Сообщения АН ГССР, 50, 2, 223—226, 1968.
  - Мусхелишвили Т. А. Пресмыкающиеся Восточной Грузии, «Мецниереба», Тбилиси, 1970, 58—59.
  - Сергеев А. М. В сб.: Вопросы экологии и биоценологии, 4, 276—280, 1939.
  - Хонякина З. П. Ящерицы Дагестана, Автореф. канд. дисс., Махачкала, 1964.

კავკასიური ხელიგის (LACERTA C. CAUCASICA MÉHELY)

პოპულარის ძინამიკა

ପ୍ରଦୀପ କାମାନ୍ତିର ପାଇଁ

საქართველოს სსრ მეცნიერებათა აკადემიის ზოოლოგიის ინსტიტუტი, თბილისი

ՀԵՂՈՎՐԾԱ

კავეკსიური ხელიყის პოპულაციაში გაზიარებულსა და ზაფხულის დასაწყისში გამოიჩინებან სქესმწიფებისა და ახალგაზრდების ჯგუფები. უკანასკნელნითავის მხრივ იყოფიან გასული წლის ახალგაზრდებად და ორჯერ გამოზამთრებულებად. აგვისტოში მათ ემატება წლევანდელი ნიმატი. პოპულაციაში დელები რიცხობრივად სჭარბობენ მმღლებს და ზომითაც აღემატებიან მათ. სიკვდილიანობამ ზამთრის პერიოდში შეიძლება 90% გადააჭირდოს. ზრდის ტემპი დამოკიდებულია ასაქსა და წელიწადის დროსხე. სამარავლო ნივთიერებათანარჩევის ინტენსივობა ძილებუშის პერიოდში შედარებით უმნიშვნელოა.

## DYNAMICS OF POPULATION OF THE CAUCASIAN LIZARD (*LACERTA G. CAUCASICA* MÉHELY)

T. A. MUSKHELISHVILI, B. A. NEGMEDZYANOV

Institute of Zoology, Georgian Academy of Sciences, Tbilisi, USSR

## Summary

In spring and at the beginning of summer groups of sexually mature and immature ones are distinguished in the populations of the Caucasian lizards. The latter, in their turn, are divided into the youth of the last year and those spent a second winter. In August the youth of the year are added. In the populations females exceed males in number and are larger in size. Death rate in winter is over 90 per cent. The rate of growth depends on the age as well as on the season. Expenditure of the reserved nutrient substances by the lizards is comparatively little during the winter.

УДК 576.851.214.075.37

КРАТКИЕ СООБЩЕНИЯ

**ОПРЕДЕЛЕНИЕ ФАГОЧУВСТВИТЕЛЬНОСТИ  $\beta$ -ГЕМОЛИТИЧЕСКИХ СТРЕПТОКОККОВ ГРУППЫ А, ВЫДЕЛЕННЫХ ОТ БОЛЬНЫХ ДИФФУЗНЫМ ГЛОМЕРУЛОНЕФРИТОМ И ПРАКТИЧЕСКИ «ЗДОРОВЫХ» ШКОЛЬНИКОВ**

Д. П. Чиквидадзе

Грузинский государственный медицинский институт, кафедра микробиологии

Поступила в редакцию 4.1.1977

Определение особенностей гемолитических стрептококков по их чувствительности к вирулентным, а также умеренным фагам проводилось многими авторами [5, 6, 7, 8, 10, 4]. Ими была установлена групповая специфичность фагочувствительности с одной стороны, и отсутствие строгой корреляции серологической и фаголитической специфичности в пределах стрептококков серологической группы А.

Обуславливаемые стрептококками различные формы заболеваний, за исключением нефрита, не связаны с определенным серологическим типом возбудителя, поэтому изыскание способов дополнительной маркировки культур  $\beta$ -гемолитических стрептококков группы А с использованием фагов можно считать оправданным [2].

В литературе имеются данные, которые подтверждают сказанное. Так, Кьюмс [7] при помощи фага дифференцировал некоторые культуры стрептококков 4/24 и 11/12, которые не представлялись возможным разделить серологически. Сходные данные получил Мейнел [9].

Исследованиями Леоновой А. Г., Хатеневер М. Л. и Чистенкова Н. А. [3] было обнаружено, что некоторые штаммы стрептококков чувствительны одновременно к нескольким умеренным фагам. Это привело авторов к предположению, что для дифференциации стрептококков следует использовать группы фагов, вызывающих лизис. Они использовали пять групп умеренных фагов, выделенных из лизогенных культур стрептококка группы А методом ультрафиолетовой индукции [1].

Исходя из всего вышесказанного, мы задались целью провести исследования по определению чувствительности к умеренным фагам  $\beta$ -гемолитических стрептококков группы А, выделенных от больных диффузным гломерулонефритом (109 штаммов) и практически здоровых школьников (236 штаммов), перенесших в недавнем прошлом ангины, катары верхних дыхательных путей и др.\*\*.

Чувствительность стрептококков к умеренным фагам определяли по общепринятой методике [3], которая заключалась в следующем: культуры стрептококка выращивали в течении 16—18 часов в мясо-

\*\* Работа проводилась в лаборатории стрептококковых инфекций под руководством проф. И. М. Лямпера Института эпидемиологии и микробиологии АМН ССР им. Почетного Академика Н. Ф. Гамалеи. Умеренные фаги любезно предоставлены нам старшим научным сотрудником лаборатории А. Г. Леоновой, за что приносим ей большую благодарность.

Таблица

Фагочувствительность культур β-гемолитических стрептококков группы А, выделенных от больных геморрагическим и практическим здоровых школьников

Выделенные культуры	Культуры, чувствительные к фагам различных антических групп												Всего исследованных культур								
	Культуры резистентные к фагу		Культуры чувствительные к фагу		I		1 группа+различные сочетания		сочетания групп за исключением 1		поливиабельные культуры		II		III		IV		V		
	кол-во	%	кол-во	%	кол-во	%	кол-во	%	кол-во	%	кол-во	%	кол-во	%	кол-во	%	кол-во	%	кол-во	%	
У больных геморрагическим и практическим здоровых школьников	20	17,9	89	82,1	47	53,0	17	19,1	7	7,7	5	5,4	7	7,7	2	2,2	2	2,2	2	2,2	169
У практических здоровых школьников	89	37,8	147	62,2	21	16,2	29	19,7	42	28,7	11	7,4	20	13,6	6	4,1	—	—	15	10,2	236



пептонном бульоне с добавлением 0,25%-ной нормальной инактивированной сыворотки крупного рогатого скота и затем пересевая на 36–37° в чашки Петри на плотную питательную среду — 1%-ный мясопептонный агар с добавлением 0,25%-ной нормальной инактивированной сыворотки рогатого скота. Продолжительность инкубации при 36–37° равнялась 18 часам.

В эксперименте было использовано пять групп умеренных фагов: I группа представлена фагами 12/116Н и 12а/27; фаг 12/116Н получен методом ультрафиолетовой индукции из лизогенной культуры стрептококка группы А серологического типа 4 на культуре-индикаторе серологического типа 12. Во II группу вошли фаги 12/старобинцев, 5/108, 5/5715; в III — фаги 14, 15, T29M/I-H; в IV — 23/T29M; K56. В V группу включены фаги 1, 9, 9/67А.

В результате проведенной работы было получено, что из 109 культур  $\beta$ -гемолитических стрептококков группы А, выделенных от больных диффузным гломерулонефритом, чувствительными к фагам оказались 89 культур, т. е. общий процент лизабельности культур составил 82,1%; из них большая часть выделенных штаммов лизировалась только I группой фагов (53%). I группой фагов плюс сочетание других фаговых групп лизировались 19,1% культур. Процент культур, чувствительных ко II, III, IV, V группам фагов, приблизительно одинаков. Как видно из таблицы, процент полилизабельных культур незначителен (5,4%).

Данные, полученные при фагомаркировании культур  $\beta$ -гемолитических стрептококков группы А, выделенных среди практически «здоровых» детей, приведены в таблице, из которой видно, что они ведут себя иначе по отношению к указанным группам фагов. Из 236 культур стрептококков чувствительными к фагам оказались 147 культур, т. е. общий процент лизабельности составил 62,2%. В отличии от культур стрептококков, выделенных от больных, в данном случае I группой фагов, лизировались всего 24 (16,2%) культуры (разница статистически достоверна  $t=5,4$ ).

По данным [3] большинство штаммов, выделенных при гломерулонефрите, оказалось однородными по чувствительности к фагу. Этим они резко отличались от штаммов, выделенных при других инфекциях и при ревматизме. Полученные этими авторами данные свидетельствуют скорее об особенностях «нефритогенных» культур; однородность их нельзя объяснить общим источником выделения, так как в эту группу вошли штаммы, выделенные при заболеваниях, не связанных эпидемиологически.

В наших исследованиях практически исключается вероятность выделения одного и того же штамма от больных — выделение проводилось в разное время и больные не контактировали между собой.

Таким образом, как было отмечено выше, высокий процент лизабельных культур (82,1%), выделенных от больных, преимущественная чувствительность культур стрептококков к I группе фагов, а также незначительное количество полилизабельных культур говорит о целесообразности использования умеренных фагов в качестве маркера для дифференциации  $\beta$ -гемолитических стрептококков группы А.

## ЛИТЕРАТУРА

1. Леонова А. Г., Земель А. Р. ЖМЭИ, 5, 98–102, 1966.
2. Леонова А. Г., Лямперт И. М. ЖМЭИ, 7, 28–32, 1973.
3. Леонова А. Г., Хатеневер М. Л., Чистенков Н. А. ЖМЭИ, 7, 104–107, 1968.



4. Тотолян А. А. В кн.: Ежегодник Ленинградского ин-та экспериментальной микробиологии АМН ССР, Л., 1959, 286—289.
5. Evans A. J. Bact., **43**, 207—213, 1942.
6. Evans A., Cinn A. Ibid., **54**, 495—499, 1947.
7. Kjems E. Acta pathol. microbiol. Scand., **36**, 433—439, 1955.
8. Krause K. J. exp. med., **106**, 365—371, 1957.
9. Meunell E. J. gen. Microbiol., **36**, 461—465, 1964.
10. Wannamaker L. W., Skjold S., Maxted W. R. J. infect. Dis., **121**, 407—418, 1970.

დიფუზური გლომერულონიციტით დაავადიგულებისაგან და  
პრაქტიკულად ჯანმრთელი მოსზავლებისაგან გამოყოფილი A  
ჰემოლიზური ბ-ჰემოლიზური სტრეპტოკოკების მგრძნობელობის  
განსაზღვრა ფაზიზის მიმართ

დ. ჩიქვილაძე

თბილისის სამედიცინო ინსტიტუტი, მიკრობიოლოგის კათედრა

რეზიუმე

შესწავლითა დიფუზური გლომერულონეფრიტით დავადებულებისაგან  
და პრაქტიკულად ჯანმრთელი მოსწავლებისაგან გამოყოფილი A ჰემფის ბ-  
ჰემოლიზური სტრეპტოკოკების მგრძნობელობა ზომიერი ფაგების მიმართ.

გამოყენებულ იქნა გამალეას სახელობის ეპიდემიოლოგიისა და მიკრო-  
ბიოლოგიის ინსტიტუტის სტრეპტოკოკული ინფექციების ლაბორატორიიდან  
მიღებული ზომიერი ფაგების ხუთი ჭგუფი.

მიღებულმა შედეგებმა გვიჩვენა, რომ ფაგის მიმართ მგრძნობიარე კულ-  
ტურების საერთო პროცენტია 82,1. აქედან კულტურათა 53% მგრძნობიარეა  
ფაგების I ჭგუფის მიმართ. ფაგების ხუთივე ჭგუფის მიმართ მგრძნობიარე  
კულტურების საერთო პროცენტი უმნიშვნელოა (5,4%).

ზემოთქმული მიუთიებს, რომ A ჰემფის ბ-ჰემოლიზური სტრეპტოკოკე-  
ბის დიფერენციაციისათვის მიზანშეწონილია ზომიერი ფაგების. მარკერად გა-  
მოყენება.

## LYTIC ACTIVITY OF TEMPERATE BACTERIOPHAGES AGAINST STRAINS OF $\beta$ -HAEMOLYTIC STREPTOCOCCUS OF GROUP A, ISOLATED FROM PATIENTS WITH GLOMERULONEPHRITIS AND FROM PRACTICALLY HEALTHY SCHOOL-CHILDREN

D. P. CHIKVILADZE

Chair of Microbiology, Tbilisi State Medical Institute, USSR

**S u m m a r y**

The lytic activity of temperate bacteriophages against strains of  $\beta$ -haemolytic streptococcus, isolated from patients with glomerulonephritis as well as from «healthy» school-children who had recently suffered from sore throat was studied.



Five groups of temperate phages obtained from the streptococci laboratory of the Gamaleya Institute of Epidemiology and Microbiology have been investigated.

The results showed that 82.1% of strains were lysed by one or two groups of phages, of which 53% were solely lysed by group I. The number of strains susceptible to all five groups of phages was considerably low (5.4%).

The results of investigations suggest that the temperate phage can be successfully used for the determination and differentiation of the particular strains of  $\beta$ -haemolytic streptococcus.

## РЕЦЕНЗИИ

**П. М. САРАДЖИШВИЛИ, В. М. ГАБАШВИЛИ. РЕЦЕНЗИЯ НА КНИГУ  
Г. И. МЧЕДЛИШВИЛИ «СПАЗМ АРТЕРИЙ ГОЛОВНОГО МОЗГА»,  
«МЕДСИНЕРЕБА», ТБИЛИСИ, 1977**

Спазм артерий головного мозга, как причина нарушения кровообращения в головном мозгу, является актуальной, но пока еще мало изученной проблемой современной церебральной ангиологии.

Несмотря на широкое обсуждение данной проблемы в неврологической литературе, до настоящего времени нет обобщающей и надежной, с точки зрения фактического материала, монографии, рассматривающей механизмы спазма артерий головного мозга.

Этот пробел в значительной степени восполняет рецензируемая монография. В книге обобщен большой фактический материал, собираемый на протяжении 15 лет в лаборатории, руководимой Г. И. Мчедлишвили. Этот экспериментальный материал, полученный автором в сотрудничестве с представителями разных специальностей — клиницистами, морфологами, фармакологами, биохимикиами, физиологами и др., позволил выяснить общие закономерности развития и устранения ангиоспазма.

Автором монографии было показано, в каких именно артериях головного мозга наиболее легко возникает спазм и на этом основании разработана весьма перспективная методика его исследований — резистография циркуляторно изолированной внутренней сонной артерии собаки. Для проведения экспериментов понадобилась виртуозная техника, которая была обеспечена в лаборатории. Используя эту методику, удалось получить многочисленные экспериментальные факты, которые пролили свет на сущность и на механизм развития этого патологического состояния мозговых сосудов. Следует подчеркнуть, что спазм мозговых артерий рассматривается именно как патологический феномен, нарушающий кровоснабжение мозговой ткани, в отличии от физиологического сужения мозговых артерий, регулирующего кровообращение в головном мозгу.

Очень ценным является тот факт, что для выяснения механизма спазма были широко использованы такие физиологически активные вещества, как серотонин и простогландини, которые, согласно последним данным, могут иметь большое значение для возникновения спазма артерий.

В монографии прекрасно излагаются данные о мышечном механизме ангиоспазма, причем рассмотрена роль внутриклеточных нарушений в гладких мышцах артерий, в частности расстройства активного транспорта ионов кальция, а также изменения в сократительных белках гладких мышц артерий. Наряду с этим, автор уделяет большое место первому механизму развития спазма мозговых артерий и разъясняет его сущность.

Рассматривая взаимосвязь ангиоспазма и нарушений мозгового кровообращения, автор подчеркивает роль коллатерального кровообращения в компенсации мозговой дисциркуляции. Особо важными, с точки зрения объяснений существа нарушений кровообращения, являются данные изучения его на микроциркуляторном уровне, что является основой ишемизации мозговой ткани.

Весьма оригинально «Заключение» монографии, в котором автор впервые проводит системный анализ проблемы ангиоспазма и на этом основании показывает наиболее перспективные пути дальнейших исследований этой проблемы.

Полученные автором монографии экспериментальные данные и их обобщения являются особенно ценными для неврологической клиники, так как намечают пути

натогенетической терапии нарушения мозгового кровообращения, вызванного спазмом. Следует отметить, что книга Г. И. Мчедлишвили является, пожалуй, первой монографией в мировой научной литературе, специально посвященной исследованием данной проблемы. Эта монография несомненно принесет много пользы как исследователям в области мозгового кровообращения, так и практическим врачам, занимающимися проблемой терапии нарушений кровоснабжения головного мозга. Надо лишь сожалеть, что хорошо изданная монография Г. И. Мчедлишвили выпущена таким небольшим тиражом (2000 экз.) и вскоре окажется недоступной для многих читателей, заинтересованных в ней.

3. სარაჯიშვილი, გ. გამბაზევილი. რეცენზია გ. მეცნიერებელის წიგნზე „თავის ტრიის არტერიების სპაზმი“, „მეცნიერება“, თბილისი, 1977.

P. M. Saradzishvili, V. M. Gabashvili. Review on G. I. Mcchedlishvili's book on the «Cerebral Arterial Spasm», «Metsnjereba», Tbilisi, 1977.



2 ДЕКАБРЯ 1977 Г. НА 71-М ГОДУ ЖИЗНИ ПОСЛЕ ТЯЖЕЛОИ БОЛЕЗНИ СКОНЧАЛСЯ ДЕПУТАТ ВЕРХОВНОГО СОВЕТА СССР, ПРЕЗИДЕНТ АКАДЕМИИ НАУК ГРУЗИНСКОЙ ССР, ЧЛЕН ПРЕЗИДИУМА АКАДЕМИИ НАУК СССР, ГЕРОЙ СОЦИАЛИСТИЧЕСКОГО ТРУДА, ЛАУРЕАТ ЛЕНИНСКОЙ И ГОСУДАРСТВЕННЫХ ПРЕМИИ СССР АКАДЕМИК ИЛЬЯ НЕСТОРОВИЧ ВЕКУА

Ушел из жизни один из крупнейших ученых, выдающийся организатор науки и высшего образования в нашей стране.

И. Н. Векуа родился 23 апреля 1907 года в селе Шешелети Грузинской ССР в семье крестьянина. Первые научные исследования он начал на физико-математическом факультете Тбилисского государственного университета.

В своих фундаментальных работах И. Н. Векуа создал целый ряд новых научных направлений теории уравнений в частных производных, геометрии и теории упругости.

Мировой известностью пользуются его исследования по аналитической теории эллиптических уравнений, сингулярным интегральным уравнениям и обобщенным аналитическим функциям. Построенная им теория тонких упругих оболочек находит важные применения в современной строительной технике.

За выдающиеся научные достижения в области математики и механики И. Н. Векуа был избран членом-корреспондентом, а в 1958 г. — действительным членом Академии наук СССР. Его научные заслуги получили широкое международное признание, он избран членом ряда зарубежных академий и научных обществ.

Огромное значение для развития советской науки имела педагогическая и научно-организаторская деятельность И. Н. Векуа. На протяжении многих лет Илья Несторович отдавал свой талант организатора и ученого развитию научных исследований в Грузии, воспитанию молодых ученых и подготовке высококвалифицированных специалистов во многих областях знаний. В 1943 г. И. Н. Векуа вступил в ряды КПСС.

С середины тридцатых годов он вел преподавательскую деятельность в крупных вузах страны: в Тбилисском государственном университете, Московском государственном университете, Московском физико-техническом институте. Большой вклад внес И. Н. Векуа в создание Сибирского отделения АН СССР и Новосибирского государственного университета, первым ректором которого был в течение шести лет. Затем И. Н. Векуа в 1965 г. был назначен ректором Тбилисского университета. Он был также организатором и научным руководителем Института прикладной математики этого университета.

В 1972 г. И. Н. Векуа был избран президентом АН Грузинской ССР. Многогранную научную, научно-организационную и педагогическую работу он считал с большой государственной и общественной деятельностью, избирался депутатом Верховного Совета СССР 7, 8, и 9 созывов, членом ЦК Компартии Грузии.

Коммунистическая партия и Советское правительство высоко оценили заслуги И. Н. Векуа. Он удостоен высокого звания Героя Социалистического Труда, награжден пятью орденами Ленина, орденом «Знак Почета» и медалями. Обаяние его личности, простота и скромность снискали Илье Несторовичу всеобщую любовь и уважение.

## К СВЕДЕНИЮ АВТОРОВ

1. В журнале печатаются не опубликованные в других изданиях, завершенные, оригинальные работы экспериментального и теоретического характера по утвержденным редколлегией разделам биологии, обзорные статьи, написанные по заказу редакции, а также краткие сообщения и рецензии. Периодически в журнале будет помещаться краткая хроника о проведенных в республике научно-организационных мероприятиях.

2. **Объем рукописи экспериментальных и итоговых работ**, включая таблицы, рисунки, подписи к рисункам, список литературы и резюме на грузинском и английском языках (не более одной страницы машинописи на каждом языке), не должен превышать 12 страниц машинописного текста, напечатанного через 2 интервала и полем 3 см с левой стороны. К рукописи может быть приложено не более 5 рисунков. **Объем обзорной статьи**—24 страницы, **краткого сообщения** со списком литературы и кратким резюме на английском языке (не более 6 строк)—до 4 страниц машинописи. Краткие сообщения можно иллюстрировать 1—2 рисунками.

**Резюме на английском и грузинском языках**, список литературы, таблицы и подписи к рисункам должны быть представлены на отдельных листах.

3. Рукопись (в двух экземплярах) должна быть тщательно проверена, иметь направление учреждения и заключение экспертизы комиссии в двух экземплярах. На первой странице слева приводится индекс статьи (УДК) по таблицам Универсальной десятичной классификации, справа — раздел биологии, затем название статьи, инициалы и фамилии авторов, название учреждения, где выполнена работа, и краткая аннотация (не более 0,5 стр.).

Статья должна быть подписана авторами. В конце статьи необходимо указать полностью имя, отчество и фамилии авторов, домашний и служебный адреса, телефоны.

4. Введение должно содержать краткое изложение сути рассматриваемой проблемы и задачи исследования. Описание методики должно быть кратким, но позволяющим читателю самостоятельно оценить соответствие техники и методических приемов, использованных при выполнении работы. Описание результатов и их обсуждение должны ограничиваться рассмотрением и оценкой важнейших фактов, полученных в экспериментах. В конце статьи выводов печатать не следует.

5. К статье и краткому сообщению следует приложить реферат на русском языке для реферативного журнала СССР (не более 1000 знаков), оформленный следующим образом: УДК, раздел биологии, инициалы и фамилии авторов, заглавие, название журнала. В конце реферата следует указать количество таблиц, рисунков, библиографические сведения. После реферата слева в квадратных скобках нужно указать научное учреждение, в котором выполнена работа. Реферат должен быть подписан автором.

6. **Иллюстрации** — четкие фотографии на глянцевой бумаге и рисованные графики на кальке или белой чертежной бумаге — следует представлять в двух экземплярах (где надписанном конверте). Надписи на иллюстрациях должны быть выполнены карандашом. На обороте иллюстрации следует обозначить карандашом ее номер, фамилию автора и сокращенное название статьи, а в случае необходимости отметить верхний и нижний край.

7. Фамилии цитируемых авторов следует давать в транскрипции, соответствующей тексту статьи и в оригинальной — в списке литературы. Список литературы составляется по алфавиту. В начале списка необходимо приводить литературу грузинским или русским шрифтом, а затем латинским. После порядкового номера (в тексте статьи он ставится в квадратные скобки) следует давать фамилию и инициалы авторов, название издания, затем: для периодических изданий — том, страницы (от и до), год; для непериодических — название издательства, место, год издания и страницы.

8. Рукописи, оформленные без соблюдения указанных правил, а также не соответствующие профилю журнала, возвращаются автору. Все рукописи проходят рецензирование.

9. Публикации статей производятся в порядке очередности их поступления, за исключением работ, заказанных редакцией.

10. Корректуры статей даются авторам для проверки, правки и визирования. Изменения и дополнения в тексте корректуре не допускаются, за исключением исправления ошибок и спечаток. Выправленные корректуры возвращаются в редакцию в трехдневный срок. При задержке корректур редакция публикует статьи по первоначальным текстам.

11. Редакция оставляет за собой право сокращать и исправлять тексты статей.  
12. Авторы получают бесплатно 12 отдельных оттисков.

Утверждено Президиумом Академии наук ГССР 14.II.1974 г.

698/49



Цена 70 коп.

76 204

